



ПУТЕВОДИТЕЛЬ ПОЛЕВОЙ ЭКСКУРСИИ

Геология палеолита Северной Азии:
к столетию со дня рождения С.М. Цейтлина

Красноярск 2020

Фото обложки: *Охранно-спасательные археологические работы в зоне строительства автодороги на территории группы стоянок каменного века Афонтова Гора, 2017 год.*

Фотограф: *Николай Зыков*

ПУТЕВОДИТЕЛЬ ПОЛЕВОЙ ЭКСКУРСИИ

Геология палеолита Северной Азии:
к столетию со дня рождения С.М. Цейтлина

FIELD EXCURSION GUIDE

Geology of the Paleolithic of Northern Asia:
to the centenary of the birth of S.M. Tseitlin

Красноярск 2020

УДК 902
ББК 63.4(2)

Рекомендовано к печати оргкомитетом конференции
Ответственный редактор: М.Н. Мещерин
Редакционная коллегия: Е.С. Рейс, А.А. Богомазова
Рецензенты: д.и.н. М.В. Константинов, д.г.н. Г.Ю. Ямских
Оформление обложки: А.Л. Сенотрусова

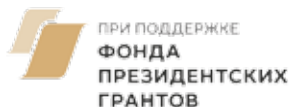
«Геология палеолита Северной Азии: к столетию со дня рождения С.М. Цейтлина».
Путеводитель полевой экскурсии. – Красноярск: Изд. «Ситалл», 2020. – 108 с.

В коллективной монографии публикуются материалы новейших исследований в области изучения стоянок каменного века, проводимых в окрестностях города Красноярск. В числе предложенного приводится общее описание современного состояния группы стоянок Афонтовой горы, а также данные новейших раскопок Афонтовой Горы IV, Афонтовой Горы V, стоянки Крутая, палеолитических стоянок енисейского Правобережья. Публикуемые материалы рассчитаны на археологов, геологов, палеогеографов и других специалистов смежных областей знаний, изучающих археологию каменного века и геологию четвертичного периода.

ISBN 978-5-98708-122-8

Geology of the Paleolithic of Northern Asia: to the centenary of the birth of S.M. Tseitlin.
Field excursion guide. – Krasnoyarsk: Sitall, 2020. – 108 p.

Collective monograph is devoted to materials of the latest research of Stone Age sites carried out in the vicinity of the city of Krasnoyarsk. Proposed the general description of the current state of the group of sites on Afontova Gora, as well as data from the latest excavations of Afontova Gora IV, Afontova Gora V, Krutaya site, Paleolithic sites of the Yenisei Right Bank. The published materials are intended for archaeologists, geologists, paleogeographers and other specialists in related fields of knowledge who study Stone Age archeology and Quaternary geology.



© Авторы, 2020

© АНО «Археологическое исследование Сибири», 2020

© ООО «Красноярская Геоархеология», 2020

СОДЕРЖАНИЕ

Введение.....	4
Топография и геоморфология группы стоянок «Афонтова Гора»	
М.Н. Мещерин	6
Афонтова гора – 4.	
Предварительные итоги по результатам спасательных работ 2020 года	
В.М. Новосельцева, И.В. Стасюк, Е.В. Акимова, Н.С. Муратов, И.А. Орешников, А.А. Румянцев.....	23
Спасательные работы на объекте археологического наследия	
Афонтова Гора V в 2020 году	
М.Н. Мещерин, А.В. Барков, Е.С. Муратов	29
Стоянка Крутая: геология, планиграфия, инвентарь	
И.И. Разгильдеева, Е.В. Артемьев, В.А. Голубцов, М.Ю. Опекунова	43
Афонтова Гора II – склон – новое подразделение	
в афонтовской группе памятников	
М.Н. Мещерин, В.В. Славинский, А.М. Клементьев, М.Ю. Опекунова, В.А. Голубцов, А.В. Барков, Е.А. Филатов.....	58
Разведки палеолитических стоянок на енисейском правобережье	
(вблизи местечка Базаиха, г. Красноярск)	
М.Н. Мещерин, А.М. Клементьев, Л.Л. Галухин	78
Список литературы	100
Список сокращений.....	108

ВВЕДЕНИЕ

Средняя Сибирь, Енисей, Афонтова Гора общепризнано являются одними из ключевых понятий в изучении палеолита Северной Азии. Многолетняя и насыщенная история регионального палеолитоведения широко освещена в современной литературе. Важные открытия, находки, делают Красноярск одним из крупнейших исследовательских центров в Сибири.

Открытия И.Т. Савенкова сделали явью существование палеолита на Енисее и были успешно подхвачены активистами музейного дела и краеведческого движения г. Красноярска в лице археологов Г.Мергарта, Н.К. Ауэрбаха, Г.П. Сосновского, В.И. Громова, В.Г. Карцова, А.Ф. Каткова.

Сформировавшись к 1930-м годам на базе Краевого краеведческого музея, местная «археологическая школа» становится важным центром, определяющим перспективы научного развития в гуманитарной области. Наряду с общественно-просветительской деятельностью активно поддерживаются научно-исследовательские проекты, организуются экспедиции, проводятся научные конференции. Музейная археологическая история в 1950–70-е годы связана с фамилиями Э.Р. Рыгдылона, Р.В. Николаев, И.Б. Николаевой, Г.А. Максименковым, Э.Б. Вадецкой и др..

В середине 1970-х годов в педагогическом институте усилиями Н.И. Дроздова создаётся большой творческий коллектив, который на протяжении длительного времени определяет и решает задачи местной археологии. Многие из нескольких поколений членов археологического кружка пединститута занялись археологией профессионально и оставили в науке существенный след (Сейфулин Н.Х., Макаров Н.П., Привалихин В.И. Степанов С.Г., Ермолаев А.В., Макулов В.И., Авдеенко Н.Д., Заика А.Л., Гревцов Ю.А., Тарасов А.Ю., Буторин В.Г., Викулов А.А., Томилова Е.А., Кукса Е.В. Ключников Т.А., Лысенко Д.Н., Веженко А.В., Галухин Л.Л.). Успешными работами отметилась группа специалистов, сосредоточившихся на изучении палеолита (Буровский А.М., Акимова Е.В., Блейнис Л.Ю., Артемьев Е.В., Бокарев А.А., Стасюк И.В., Харевич В.В.).

1990-е годы формируются Красноярская лаборатория археологии и палеогеографии Средней Сибири. Существенно расширяется география исследований. Фундаментальные поиски и исследования древнейших отделов истории выходят за рамки Минусинской котловины и района г. Красноярска. В сферу интересов попадают территории Северного Приангарья, Хакасии, Тувы. Становится нормой, когда археологические раскопки сопровождаются детальным изучением естественно-научного контекста каждой первобытной стоянки. Формируются принципы комплексности проведения исследований. Геолого-геоморфологические, археозоологические, палеопочвоведческие, палинологические характеристики, данные изотопных анализов становятся обязательным атрибутом любого исследования. На берегах Енисея впервые в Сибири формируется принцип апробации открытий в виде полевых экскурсий. Конференции с полевыми экскурси-

ями, проводимыми в 1984, 1990, 1992, 2007 годах явились образцами эффективных научных коммуникаций.

Славная эстафета подобных мероприятий подхвачена новыми поколениями учёных в XXI веке. Время систематически диктует необходимость появления новых форм организации научно-исследовательской деятельности. Возникают хозяйственные организации, специализирующиеся на охранно-спасательных видах работ. Формируются общественные объединения и творческие коллективы, чьи усилия направлены на сохранение культурного наследия – уникального и невосполнимого ресурса территорий страны.

Осенью 2020 года в Красноярске проводится международный симпозиум, посвящённый столетию со дня рождения С.М. Цейтлина. В рамках полевой экскурсии предполагается продемонстрировать материалы полевых изысканий последних лет. Особое внимание планируется уделить новейшим раскопкам на Афонтовой Горе. Стоянкам Крутая, Афонтова Гора IV и Афонтова Гора V. Данные памятники демонстрируют принципиально новые материалы, новые подходы и методы. Результаты последних исследований корректно согласуются с «золотым фондом» палеолита Афонтовой Горы. Во многом эффективность их поддерживалась за счёт привлечения ведущих специалистов из академических институтов России – ГИН РАН (Москва), ИГ РАН (Москва), ИАЭТ СО РАН (Новосибирск), Географический Институт им. В.Б. Сочавы (Иркутск), Институт Земной Кора СО РАН (Иркутск), Лаборатория Геоморфологических и палеогеографических исследований полярных регионов и Мирового океана, СПбГУ, (С. Петербург), Лаборатория Палеоэкологии, ЗабГУ (Чита).

Основная работа в подготовке и проведении международного симпозиума «Геология палеолита Северной Азии...» осуществлялась силами некоммерческой организации «Археологические Исследования Сибири» «АНО АИС», ООО «Красноярская Геоархеология», ООО «НПО Археологические изыскания и проектирование». Благодаря всемерной поддержке Красноярского Государственного Педагогического Университета и м. В.П. Астафьева, Красноярского краевого краеведческого музея, Сибирского Федерального Университета стало возможным разместить на публичных площадках города Красноярска целый комплекс научно-просветительских мероприятий, центральным из которых, конечно будет являться форум мировой научной общественности. Работы поддержаны Фондом Президента Российской Федерации.

В заключении необходимо персонально отметить сотрудников «АНО АИС», участвовавших в данном издании. Особой благодарности заслуживают художник А.Ю. Халтаева, фотографы и компьютерные дизайнеры П.В. Леонтьев, П.С. Соколов, консерватор М.В. Быкова, архивариус В.А. Данилейко. Первичная обработка коллекций осуществлялась К.С. Кудр . Успешной работе безусловно способствовали сотрудники транспортного подразделения под руководством Н.А. Колесника.

ТОПОГРАФИЯ И ГЕОМОРФОЛОГИЯ ГРУППЫ СТОЯНОК «АФОНТОВА ГОРА»

M.N. Meshcherin

“Archaeological Research of Siberia”, Krasnoyarsk

TOPOGRAPHY AND GEOMORPHOLOGY OF THE GROUP OF SITES “AFONTOVA GORA”

Комплекс археологических памятников Афонтовой горы в Красноярске располагается в зоне плотной городской застройки. Он относительно компактно размещён на склонах южной, юго-западной и юго-восточной экспозиции левобережья р. Енисей. В составе комплекса значится группа стоянок каменного века, местами перекрытых сохранившимися «лоскутами» городского культурного слоя XIX – начала XX вв. Изученность памятников неравномерна. Отдельные объекты афонтовского комплекса, такие как Афонтова Гора II и III раскапывались археологическими раскопами на сравнительно широких площадях, имеют представительные коллекции каменных и костяных артефактов, палеофаунистических материалов, а также уникальные палеоантропологические находки. Большинство площадей Афонтовой Горы I вскрывалась промышленными кирпичными карьерами под наблюдением и с детальными стратиграфическими описаниями И.Т. Савенкова на рубеже XIX–XX вв. Уже в первой половине XX века афонтовские древности приобретают широкую известность и становятся хрестоматийными в проблематике сибирского палеолитоведения. Представительные и многочисленные материалы, добытые более чем за сто лет раскопок – продукты каменного и костяного производства, предметы «неутилитарного назначения», антропологические останки палеоазитского населения вывели комплекс в число наиболее значимых в масштабах Евразии [Громов, 1948; Ефименко, 1953; F. Bordes, 1968; Ларичев, 1969; Ларичев, 1972; Палеолит СССР, 1984; Палеолитоведение..., 1994; Гераси-

мова и др., 2007; Четырехязычный (русско-англо-франко-немецкий)..., 2007]. В ходе длительной истории изучения афонтовского комплекса, которое происходило в несколько этапов [Акимова, 2003; Дроздов, Артемьев, 2007], естественным образом накапливаются проблемы соотнесения «старых» и «новых» представлений о топографии и геоморфологических условиях памятников, упорядочении их наименований. В связи с динамичным развитием города в окрестностях Афонтовой Горы и стремительно обновляющейся базой данных по археологии на его территории обостряется необходимость оперативного картирования и мониторинга давно известных и вновь открываемых объектов историко-культурного наследия.

Введение. Группа стоянок каменного века Афонтова Гора в настоящее время располагается в центральной части сибирского мегаполиса в геоморфологической ситуации с выраженными доминирующими признаками урбаногенного ландшафта (Рис. 1).

В числе выявленных в настоящее время значатся семь памятников, которые достаточно компактно расположены и обособлены с точки зрения геоморфологии и стратиграфии: Афонтова Гора I–V, Афонтова Гора II – склон и Стоянка Крутая.

Первозданный рельеф окрестностей необратимо перепланирован «многослойными» техногенными перестройками (Рис. 2).

Первое письменное упоминание о данной местности, относящееся к современному названию, датировано 1700 г., когда в «Писцовой книге» Красноярского уезда было отмечено, что Афонтова гора была покрыта пашней всего тридцати пяти землевладельцев [РГАДА. Ф. 214]¹. Этимология названия до настоящего времени остаётся не выясненной. Естественно, что распространение пашни повлекло за собой частичное сведение леса, а также, по-видимому активировало овражные эрозионные процессы на склонах. Серьёзного влияния на условия сохранности афонтовских культурных слоёв, залегающих на существенной глубине рыхлых толщ, распашка не повлияла.

В конце XIX века гора Афонтова располагалась «на западе от города» и определялась как «холмистая возвышенность» в составе Чёрной сопки² (Гре-

1 Данные сведения любезно предоставлены сотрудником «АНО АИС», П.Н. Бараховичем, к.и.н.

2 В современной топонимике Красноярских окрестностей встречаются некоторые разночтения. В частности, из разных источников по-разному определяется местоположение «Чёрной сопки». Мы в своей работе привлекаем топонимы, используемые И.Т. Савенковым, Н.К. Ауэрбахом, В.И. Громовым и Г.В. Сосновским.



Рис. 1. Группа стоянок Афонтовой Горы / Fig. 1. Group of sites Afontova Gora.



Рис. 2. Аэрофотоснимок 1965 года с изображением территории вокруг объектов Стоянка Крутая и Афонтова Гора IV, а также прилегающих площадей / Fig. 2. Aerial photograph of 1965 depicting the area around the sites Krutaya and Afontova Gora IV, as well as adjacent areas.

мячей горы) [Савенков, 1896, с. 7]. Южные, юго-восточные и восточные склоны Афонтовой, обращённые, преимущественно в долину Енисея с 1850–х гг. разрабатывались на предмет месторождения глины для кирпичной мануфактуры [Сосновский, 1935, с. 125]. Горные выработки безусловно способствовали И.Т. Савенкову обнаружить первые образцы афонтовской археологии, адекватно атрибутировать каменные орудия и кости животных, а геологические знания позволили квалифицированно разобраться с ситуацией и в дальнейшем методично вводить в научный оборот сенсационные по тем временам находки артефактов первобытного человека, залегающие совместно с костями плейстоценовой фауны [Savenkow, 1894; Савенков, 1892 а, 1892 б, 1916].

Начиная с 20–х годов XX века к описанию местности дополняются существенные обстоятельства: «Собственно Афонтовой горой называется та часть возвышенности, которая теперь застроена городскими посёлками: Алексеевкой, Сахалином и Николаевкой. На том месте, где теперь расположены ж.д. мастерские и вокзал, производил Савенков свои первые сборы» в 1884–1892 годах [Ауэрбах, Сосновский, 1924, с. 202]. В указанное время перечисленные посёлки или слободы начинают «срастаться» в единую городскую территорию с очень плотной частной застройкой. «За сорок лет, прошедших со времени этих находок (первых открытий И.Т. Савенкова – прим. М.М.), местность претерпела большие изменения, вследствие производившейся разработки глины

для кирпичного производства, крупных земляных работ, с проведением полотна железной дороги, постройкой моста через Енисей³ и появлением новых городских посёлков», – писал один из ведущих исследователей Афонтовой Николай Константинович Ауэрбах в первой трети XX века [Ауэрбах, 1930, с. 4].

Следующей серьёзной перепланировке описываемые территории подвергаются уже в начале XXI века, когда начинает реализовываться крупный инвестиционный проект по строительству четвёртого автодорожного моста через р. Енисей и соответствующая реорганизация прилегающей территории [Артемьев и др., 2013, с. 59].

В результате перечисленных циклов техногенных преобразований на территории Афонтовой Горы кардинально изменился ландшафт, что существенно повлияло на возможность идентификации отдельных местонахождений (Рис. 4). Местоположение некоторых пунктов, представляемых в столетней исторической ретроспективе, в настоящее время требует серьёзных уточнений. В связи со сложившейся ситуацией возникает идея экспликации современной карты-схемы на геоподоснову, представляющую исторический, «догородской» рельеф⁴.

Археологическое картирование. Общеизвестно, что одним из наиболее эффективных методов каталогизации источников по объектам археологии (памятникам) является археологическое картирование. В науке о древностях Приенисейской Сибири эта тема поднималась неоднократно. Первая археологическая карта по долине Енисея с притоками от Минусинска до Красноярска, составленная И.Т. Савенковым [Савенков, 1896] имела неопределимое значение для изучения региона. Позднее Геро фон Мергарт [Merhard, 1923, р. 30] обращается к перечню памятников палеолита, обнаруженных в окрестностях Красноярска и наносит на карту все местонахождения, известные на тот период. Несколько позже, в 1927–29 годы, аналогичные работы на памятниках в Красноярском археологическом районе (КАР) были проведены сотрудником Краевого музея, археологом В.Г. Карцевым [Карцов, 1929]. Исследователю удалось сформировать наиболее полную тематическую карту КАР с обстоятельной пояснительной запиской [Макаров, 1989, с. 151; Макаров, Вдовин, 2018, с. 98].

3 Речь идёт о строительстве Транссибирской железнодорожной магистрали и возведении железнодорожного моста через Енисей.

4 Серьёзным толчком к этой работе послужили наставления С.Н. Астахова связать современную карту схему существующих памятников с подобными материалами предшественников в ходе частной беседы в январе 2018 года в ИИМКе.

В числе памятников Афонтовой Горы к тому времени значились 4 объекта (АГ I – IV) и уже в таком виде Афонтова фигурировала в основных обобщающих работах первой половины прошлого столетия [Ауэрбах, 1930; Громов, 1948]. В дальнейшем, во второй половине – конце XX века, карта была несколько откорректирована С.Н. Астаховым. Нужно иметь ввиду, что все исследователи начала XX века оперировали преимущественно «пустынными» территориями окрестностей Афонтовой почти столетней давности, в то время как С.Н. Астахову предстояло разбираться с объектами в условиях довольно плотной городской застройки и наносить внесмасштабными значками пункты находок на карту города середины – конца XX века [Астахов, 1999, с. 30]. Основными ориентирами для подобной работы, помимо архивных материалов, исследователь вероятно использовал сохранившиеся элементы рельефа «догородского» времени и закреплённые устойчивые названия (наименование пунктов культурно-бытового и хозяйственного назначения, фамилии владельцев с принадлежностью к местности и т.п.). Ключевое значение для пространственной ориентации среди прочих, имели местные топонимы «Афонтова Гора» и «Иванихин Лог».

По сведениям Н.К. Ауэрбаха в тридцатые годы XX века название Афонтова Гора выходит из обычного употребления: «Самое название «Афонтова гора» в настоящее время забыто населением и в современных планах города уже отсутствует» [Ауэрбах, 1930, с. 4]. Поэтому исследователем, совместно с В.И. Громовым и Г.П. Сосновским предложено отнести к Афонтовой горе «ту широкую покатошь ближайшего к городу восточного склона Гремячей сопки...» [Ауэрбах, 1930, с. 4]. У современных красноярцев за вершину Афонтовой горы обычно принимается местность с корпусами «Политеха», которые расположены по адресу ул. Академика Киренского д. 26.

В какие времена вышло из обихода использование наименования «Иванихин Лог» документально установить нам пока не удаётся. В монографии В.И. Громова 1948 года – это название уверенно используется для топографических привязок местонахождений красноярских окрестностей [Громов, 1948]. Недавний опрос современных информантов – «старожилов» восьмидесятилетнего возраста, которые с их слов родились и проживают по сей день в Николаевской слободе Красноярска не дал положительных результатов. В современных представлениях Иванихин лог как географический объект физически отсутствует. Складывается парадоксальная ситуация:

границы Афоновой Горы произвольно расширены в 1930–годы, а Иванихин Лог, который, обозначен на всех картах-схемах (Г. Мергарта, Н.К. Ауэрбаха, В.И. Громова, С.Н. Астахова и др.) оказался безвозвратно потерян в современном городском ландшафте и название его утрачено.

В фондах Красноярского Краевого Краеведческого музея сохранилась весьма представительная «Геолого-археологическая карта окрестностей г. Красноярска», датированная 1886 годом. В числе составителей этого уникального топографического труда значится И.Т. Савенков. Предложенная карта инструментальная, цветная, имеет достаточно высокое разрешение (в одном английском дюйме 125 саженей). На представленной подоснове зафиксирован рельеф енисейского левобережья, приустьевой участок реки Качи с расположенным там городским «ядром» Красноярска по состоянию на конец XIX века, «городское займище» с загородными усадьбами местной элиты на склонах Чёрной (Гремячей) сопки, глиняные карьеры и мелкие просёлочные дороги и «с показанием мест нахождения костей вымерших животных и вместе с ними палеолитических орудий» [Геолого-археологическая..., 1886]. Здесь же на листе подписаны общеупотребительные топонимы. В их числе «Афонтова Гора», «Иванихин Лог», «Дача Юдина», «Склоны Чёрной сопки» и т.п.

Современные средства съёмки и геопозиционирования позволили сравнить материалы нескольких карт. Экспликация современных границ археологических объектов на первую Геолого-археологическую карту окрестностей Красноярска, позволила представить примерный абрис общей ситуации взаиморасположения памятников в связи с «материнским» рельефом и историческими – «коренными» топонимами⁵. Идеи привязки к карте реализовывались за счёт отдельных элементов, ныне сохранившихся или предполагаемых с наибольшей долей вероятности в существующих формах рельефа. Отдельные исторически сохранившиеся топографические объекты, а к таковым относятся усадьба купца Юдина (ныне музеефицированная, как купеческое подворье); искусственная земельная выемка на берегу Енисея («взвоз»), изображённая вблизи дачи купца Н.Г. Гадалова, сохранённая опора первого железнодорожного моста. Принималась во внимание общая конфигурация изолиний, отображающих неровности рельефа, которые фрагментарно

⁵ *Геодезические и графические работы в полном объёме были проведены сотрудником НПО «АПИ» В.И. Куницким.*

сохранились на современных топоосновах. Имело значение взаимное соотнесение высотных отметок. Гипсометрические данные принимались с учётом поправок на изменение меженного уровня Енисея после полного ввода в эксплуатацию Красноярской гидроэлектростанции к 1972 году. Совокупность допусков позволяет согласиться с возможной ошибкой в пределах от 10–30 м и до 50 м по горизонтали и первых метров в вертикальном сечении (Рис. 3). Полученные в ходе данной работы результаты позволили представить существенное разнообразие территорий и форм рельефа, охваченные афонтовской группой.

Как уже упоминалось, номенклатура наименований и систематизация местонахождений Афонтовой горы в составе четырёх геоморфологически обособленных объектов устанавливается к 1930 годам. В то же самое время формируется иная точка зрения, согласно которой, стоянки не дифференцируются по геоморфологическому принципу, а напротив, рассматриваются как единый массив, принципиально однотипных объектов в хронологическом и культурно-хозяйственном отношении с единым названием – палеолитическая стоянка Афонтова гора [Сосновский 1935, с. 125]. Данные представления созвучны с позицией, прежде высказанной Г.К. Мергартом о «геологической одномоментности» седиментации культурных отложений в позднеплейстоценовых лёссах. «Каменные орудия всех мест нахождения губернии повторяют типичные формы Афонтовой горы. Рядом с редкими *coup de pointes* и несколькими жалкими шельскими типами можно всюду найти преимущественно скребки, *pointes* с типичной техникой и формой для мустьерской стадии, однако в смысле определения древности более показательна костяная индустрия, по которой эта культура должна быть отнесена к молодому палеолиту, скорее к Ориньяку, чем к Мадлену» [Мергарт, 1923, с. 31–32]. Данное положение Геро фон Мергарта подкреплялось мнением о том, что «типичный палеолит» Афонтовой Горы на Среднем Енисее, приурочен к генетически однородным и геологически одномоментным лёссам, отложившимся на склонах Манского хребта в аридных условиях континентального климата в плейстоцене [Мергарт, 1923, с. 31–33]. В своё время, это утверждение вызвало серьёзные возражения со стороны В.А. Городцова, который предположил, что упомянутые лёссы не являются однородными и одномоментными, а, следовательно, относятся к «двум смежным эпохам: 1) к межледниковой III и ледниковой IV» [Детлова и др., 2014, с. 213].

Таким образом, геолого-геоморфологическая привязка местонахождений Афонтовой возводится в ранг принципиальных и наиболее значительных характеристик, которая способствует адекватному пониманию дифференциации памятников среднесибирского палеолита-мезолита.

Стоянки Афонтовой Горы. Данные о местоположении, хронологии и периодизации большинства стоянок комплекса представлены во множестве научных работ. В данном случае позволим себе привести сведения, незначительные откорректированные временем, из числа опубликованных.

Афонтова Гора I представляет собой совокупность местонахождений, обнаруженных при разработке карьеров, расположенных у подножия восточного – юго-восточного склона, обращённого в долину фрагмента палеограбена («Палеокачи») на площадях от Иванихина Лога до Пороховых погребов на протяжении до 500 м [Астахов, 1999, с. 29–33]. Информация о площадных археологических раскопках на памятнике чрезвычайно отрывочна и не публиковалась в полном объёме [Ауэрбах, 1930, с. 8].

АГ I расположена на наклонной террасовидной поверхности в интервале абсолютных высот 154–180 м. Культурные остатки залегают в лёссовидных отложениях пролювиально-делювиального шлейфа, опирающегося в подошве на вторую надпойменную террасу Енисея высотой 15–18 метров [Громов, 1948, с. 309]. В немногочисленной коллекции представлен каменный и костяной инвентарь. Фаунистическое собрание представлено костями мамонта, бизона, лошади, северного и благородного оленя. Возраст находок коррелируется с материалами Афонтовой Горы II и характеризуется в хронологическом пределе 13–14 тысяч лет назад [Астахов, 1999, с. 35–42].

Афонтова Гора II является титульным памятником группы афонтовских стоянок. Открыт и изучается без малого сто лет несколькими поколениями учёных. Разведанные границы данного памятника простираются вдоль фронтальных бровок низких надпойменных террас Енисея и эрозионных уступов, обрамляющих южные и юго-западные склоны в интервале относительных высот 12–25 м на протяжении 600 метров вдоль енисейского левого бережья [Астахов, 1999, с. 46].

Культурные горизонты залегают в слоях сложного генезиса, объединяющих субазральные, субаквальные, эоловые и оползневые отложения, комплекующие нижний террасовый комплекс (второй и третьей НРТ) Енисея [Громов, 1948, с. 320–311; Цейтлин, 1969, с. 139; Зольников и др., 2017, с. 232–238; Де-

ревянко и др., 2017, с. 178]. В разрезах эпизодически фиксируются палеопедогенные горизонты [Дроздов и др., 2003; Зольников и др., 2017], очевидно, относящиеся к позднесартанским климатическим событиям. На памятнике выделяется от 5 до 10 (по разным источникам) культурных и «культуросодержащих» слоёв в хронологическом интервале 11–16 т.л.н. и до 20 т.л.н. [Ауэрбах, Сосновский, 1932; Цейтлин, 1969; Дроздов, Артемьев, Чеха, Хазертс, 2003; Артемьев 2005; Дроздов, Артемьев, 2007; Астахов, 1999, Славинский и др., 2014; Деревянко и др., 2017]. По культурным напластованиям получены десятки радиоуглеродных дат, в основном укладываемые в обозначенный хронологический интервал.

Находки в слоях распределяются неравномерно. На различных участках вскрытий фиксируются пятна скоплений, которые перемежаются пространственными зонами разрежения находок. Инвентарь характеризуется базовыми категориями афонтовской археологической культуры [Дроздов, Артемьев, 2007; Абрамова, 1979 а; Томилова, Стасюк, 1994; Томилова, 1996; Артемьев, Дроздов, 2001, 2002, 2003, 2004, 2005; Дроздов, Артемьев, 1997, 2007].

Афонтова Гора II – склон – геоморфологически обособленное местонахождение. Открыто в ходе «новостроечных» работ 2016–17 гг., проводимых в нормативно установленных и законодательно закреплённых границах объекта археологического наследия «Стоянка Афонтова Гора II». Выявленный пункт занимает позицию высокого склона южной экспозиции, находящегося в трёхстах метрах севернее левого берега Енисея. Высота над урезом реки составляет 25–50 м при существенной крутизне современной поверхности (25–45°). Склон обрамляет поселение АГ II с севера – северо-запада [Славинский и др., 2016; Мещерин и др., 2018]. Культуросодержащие отложения пролювиально-делювиального генезиса связаны с погребённой палеоложиной, вытянутой вдоль склона. В разрезе выделено 2 культуросодержащих горизонта. Позиция верхнего культурного горизонта соответствует подошве литологического слоя II, который с точки зрения геохронологии близок покровной толще, вмещающей материал классической Афонтовой Горы II. Нижний культурный горизонт залегает в литологическом слое III, который маркируется палеопедоседиментами каргинского термохрона. Культурный горизонт представлен несколькими планиграфически выраженными скоплениями находок, локализованными на небольших (до 7 м) площадках выположенного рельефа. Линзы артефактов тяготеют к подошве литологического слоя III.

Состав находок включает орудия из камня, кости и множество расчленённых фаунистических остатков. В наборе кости бизона, мамонта, носорога, лошади, северного оленя, барана, бурого медведя, пещерного льва, зачастую несущие следы разделки⁶. Совокупность датирующих признаков и радиоуглеродные даты позволяют определить нижний слой пункта Афонтова Гора II – склон в средний-ранний отделы каргинского термохрона.

Афонтова Гора III расположена в устьевой части Иванихина Лога (по левому борту) у подножья склона, опирающегося на вторую надпойменную террасу Енисея [Ауэрбах, 1930, с. 14–15; Астахов, 1999, с. 98]. Первые находки были сделаны при разработках карьеров в конце XIX века. В 1914 и 1925 годах на памятнике проводились площадные раскопки с применением методик послойно-поквадратных вскрытий и фиксации находок. В новейшие времена раскопки на памятнике не производились. В ходе раскопок, охватывающих значительную площадь низовой и срединной части склона [Громов, 1948, с. 326], примыкающего к ложбине было выявлено 3 культурных горизонта. Два верхних приурочены к верхней части толщи покровных отложений. Нижний культурный слой вмещён в пески пойменной фации. По мнению С.Н. Астахова может быть древнее самого нижнего слоя Афонтовой Горы II «классической» [Астахов, 1999, с. 164–165]. Археологическая коллекция многочисленна. Представлена каменными и костяными артефактами.

Афонтова Гора – IV. В первой половине XX века территория памятника «по правой стороне Иванихина Лога» [Громов, 1948, с. 327]. Современные разведочные данные позволяют расширить расположение объекта, включая выделенные участки склона, простирающегося вдоль безымянного лога, расположенного параллельно Иванихину, на 300 – 500 метров восточнее. Низовая часть склона смыкается с 3-ю надпойменной террасой, высотой 25–30 м. Верхняя часть имеет стометровое превышение над Енисеем и с севера – северо-востока оконтуривается нагорным краем отрогов Гремячей гривы. Объект вытянут вдоль безымянного распадка (лощины) (Рис. 3).

На памятнике выявлено 3 культурных горизонта, два нижних из которых относятся к каменному веку. Найдены вовлечены в отложения пролювиально-делювиального шлейфа, имеют пространственные локализации послойно. Возраст слоёв каменного века определяется стратиграфической позицией залегания. Культурный горизонт 2 приурочен к раннеголоценовому слою. Куль-

⁶ Определение А.М. Клементьева, к.г.н.



Рис. 3. Фрагмент Геолого-археологической карты окрестностей Красноярска 1886 года с нанесёнными на неё объектами археологического наследия по состоянию на 2020 год / Fig. 3. Fragment of the geological and archaeological map of the vicinity of Krasnoyarsk in 1886 with the objects of archaeological heritage applied to it as of 2020.

турный слой 3 залегает в отложениях поздесартанской почвы.

Афонтова Гора V расположена на верховых приводораздельных участках склона с относительными отметками 60–80 м. Удалённость от современного побережья Енисея составляет 2 км. Открытие и раскопки памятника стали возможны в ходе ведения хозяйственных договоров в процессе городского строительства [Дроздов, Артемьев, 1997, с. 23]. Находясь в условиях плотной городской застройки, памятник раскапывался на ограниченных площадях. Общая площадь вскрытий (раскопки и разведочные шурфы) составила около 2000 м². Культурные слои залегают в склоновых отложениях пролювиально-делювиального, флювиального генезиса и связаны с палеопедогенными горизонтами. Горизонты почвообразования – неяснослоистые и «расташенные» имеют различный окрас от буровато-охристого («терракотового»), сизовато-серого и до интенсивно чёрного цвета. В настоящее время проходят процедуры дополнительных аналитических исследований⁷. Учитывая отсутствие единого стратиграфического профиля для данного объекта на сегодняшний день, Афонтова Гора V может насчитывать несколько культурных горизонтов, которые совпадают по времени с каргинским термохроном или в солифлюкционных отложениях раннего сартанского криохрона, а также с горизонтом почвообразования голоценового периода. По самому нижнему культурному горизонту, приуроченному к чернозёмной почве, имеется радиоуглеродная дата 27890±690 (СОАН–3781) [Дроздов, Артемьев, 2007. с. 40].

Стоянка Крутая выявлена в ходе новостроечных работ, разведывалась и изучалась в 2014–17 гг. Объект расположен севернее Афонтовой Горы II примерно на 300 м. С северо-востока ближайшим памятником является АГ 4. Крутая вытянута с северо-востока на юго-запад. Связана с верховыми средними участками склона юго-восточной экспозиции, обрамлённого в тыльной части уступом торгашинской террасы. Стоянка удалена от современного берега Енисея 600 м., относительные высоты составляют 50–60 метров [Артемьев и др., 2019].

Культурные слои залегают в склоновых отложениях в пределах лощины субширотной ориентации, имеющей длину до 500 м и ширину до 300 м. Выделено 3 культурных слоя. КС 1 характеризует городскую культуру конца

⁷ Работы ведутся специалистами Института экологии и географии Сибирского Федерального Университета (г. Красноярск), под руководством Г.Ю. Ямских и сотрудниками Института Географии им. В.Б. Сочавы СОРАН (г. Иркутск) В.А. Голубицовой и М.Ю. Опекуновой.



Рис. 4. Фрагмент картины-панорамы П. Пясецкого «Великий Сибирский путь. Транссибирская железнодорожная магистраль. 1894–1897 гг.». Вид с Гремячей Гривы на город. На переднем плане дача купцы Юдина, несколько правее железнодорожная насыпь и опоры строящегося моста через Енисей / Fig. 4. Fragment of the panoramic picture by P. Pyasetsky "The Great Siberian Route. Trans-Siberian Railway. 1894–1897". View of the city from Gremyachaya Mane. In the foreground is the dacha of the merchants of Yudin, a little to the right is the railway embankment and the supports of the bridge under construction across the Yenisei. <https://tesoteka.livejournal.com/12421.html>

XIX – начала XX веков и в данной работе не рассматривается. КС 2 покоится в палеопедогенном горизонте, отнесённом к периоду раннего голоцена. Археологический материал залегает в виде пятен скоплений типологически схожего инвентаря. КС 3 залегает в склоновых отложениях на контакте неоплейстоцена и раннего голоцена и может относиться к поздней стадии – фаналу верхнего палеолита.

Геолого-геоморфологическая характеристика комплекса. Рассмотренные циклы радикальной техногенной перестройки рельефа в условиях современного города, их масштабность может иллюстрироваться образцами произведений изобразительного искусства конца XIX века (Рис. 4) или современными фотографиями (Рис. 5, 6, 7).

В силу высокой степени фрагментарности исторического рельефа, современные геоморфологические представления о расположении стоянок большей частью формируются за счёт реконструкций, опирающихся на понимание стратиграфии погребённых «коренных» форм, и отложений, не перепланированных искусственно.

В качестве геолого-геоморфологической подосновы афонтовской группы стоянок каменного века традиционно рассматриваются первая, вторая и третья надпойменные террасы левого борта долины Енисея и сопряжённые с ними склоны, «нивелирующие» сплошным чехлом более высокие эрози-



Рис. 5. Верховые участки лощины по склону выше Стоянки Крутая. Август 2020 года. / Fig. 5. Upper sections of the hollow on the slope above the Krutaya Site. August 2020.



Рис. 6. Срединные участки распада у стоянки Афонтова Гора IV и фрагмент сохранившегося ландшафта «частного сектора». / Fig. 6. Middle sections of the ravine near Afontova Gora IV and a fragment of the preserved landscape of the "private sector".



Рис. 7. Вид с юго-запада на улицу Овражная, к месту расположения Афонтовой Горы IV в августе 2020 года. В центральной части кадра верховой участок лощины, к которой приурочен раскапываемый памятник. / Fig. 7. View from the south-west to Ovrzhnaya Street, to the location of Afontova Gora IV in August 2020.

онно-аккумулятивные уровни с относительными превышениями над рекой от 25–30 и до 50–60 м [Цейтлин, 1969]. Следует иметь ввиду, что гипсометрические отметки над урезом Енисея в настоящее время «зарегулированы» Красноярским водохранилищем, которое располагается в 40 км выше по течению⁸. Склоновые перегибы и складки рельефа послужили базисами для развития овражно-балочной сети (эрозионных форм рельефа) в системе разнонаправленных местных водосборных площадей, а также локальному развитию оползневых процессов [Зольников и др., 2017, Рис. 1Б, с. 232]. К эрозионным формам рельефа в настоящее время тяготеют все местонахождения, располо-

⁸ Здесь приводятся относительные высоты над современным уровнем р. Енисей, которые не соответствуют гипсометрическим отметкам до ввода плотины Красноярской ГЭС в 1956 году. Современный урез в среднем превышает исторический на 3 и более метров.

женные в условия склона – Афонтова Гора II – склон, Стоянка Крутая, Афонтова Гора IV (Афонтова Гора V – предположительно, вершина Иванихина лога).

Чехол четвертичных отложений составлен преимущественно аллювиальными, пролювиально-делювиальными, эоловыми генетическими типами в составе аккумулятивно-эрозионных форм рельефа. Механический состав слагающих пород – это валунно-галечные отложения, разномерные пески и супеси, лёссовидные и алевроитистые пески. Коренным цоколем служат плиты девонского песчаника и элювиальные красноцветные глины.

В составе геологических разрезов отмечаются несколько горизонтов палеопедогенных отложений, которые рассматриваются нами в ранге маркирующих. Раннеголоценовый горизонт почвообразования обнаруживается на относительно «спокойных» участках высоких склонов в виде растащенных гумусовых пятен (стоянка Крутая – КС2) и, местами, на плакоре (АГ V – КС1). Предположительно, данный горизонт может относиться к пребореальному-бореальному периоду голоцена.

Позднесартанские горизонты почвообразования в разной степени выразительности фиксируются в покровной толще второй и третьей надпойменных террас (Афонтова Гора II) [Дроздов и др., 2003, с. 119; Зольников и др., 2017, с. 234].

На верхних участках склонов, с относительными высотами 30–60 метров фиксируется позиция каргинского педокомплекса, который представлен прослоями чёрно-бурых, красноватых, «терракотовых», или сизовато-серых горизонтов палеопочвы, местами оглеенных, окарбоначенных в верхней части профиля. В разрезах гумусовые прослои чаще всего наблюдаются серийно от 2 до 4 (Афонтова Гора V, Афонтова Гора II – склон, Крутая). Педогенные горизонты большинства разрезов, расположенных на слабопокатых поверхностях, сопровождаются солифлюкцией. В целом же, данная группа отложений предположительно характеризуются относительно тёплыми климатическими условиями, мегаинтерстадиальным фаунистическим комплексом и корректно согласуются с сопредельной стратиграфической схемой Южного Прибайкалья [Седименты каргинских почв..., 2011]. Во множестве случаев, а именно, в разрезах стоянок Крутая, Афонтова Гора II, Афонтова Гора V, выражены два стратиграфически дифференцированных горизонта деформаций в виде криогенного растрескивания. Они могут соответствовать двум стадиям сартанского криохрона [Цейтлин, 1979].

Закключение. В 1884 г. в карьерах и вскрышах кирпичных предприятий,

а затем и при строительстве железной дороги на Афонтовой Горе были выявлены первые археологические материалы. Большинство из числа перечисленных памятников Афонтовой в настоящее время изучены в результате хозяйственного освоения территорий. Охранно-спасательная специфика археологических работ продолжает присутствовать благодаря активной работе Государственного Органа охраны памятников истории и культуры Красноярского края и приобрела более планомерный и наиболее результативный характер. Беспрецедентно масштабные работы на Афонтовой были связаны со строительством Николаевского моста и автомобильного полотна Николаевского проспекта с подъездами и развязками, а также в связи с ростом жилищного гражданского строительства. Комплексный подход к рациональному использованию территорий позволил сохранить бесценные и невозполнимые образцы наследия доисторического человека на Афонтовой Горе, пополнить современные знания о ландшафтах, климатах, природном окружении территории.

Раскрытия и изучение памятников на больших площадях существенно расширило исследовательские возможности. За последние двадцатилетие получен несравненно бóльший объём информации о первобытности, нежели это было сделано за весь почти полуторовековой период археологических изысканий. В полевой археологии Афонтовой происходит выход на принципиально новый уровень освоения материалов, когда широкие площадные раскрытия позволяют оценивать порядок пространственного соотношения местонахождений, различать их, а значит во многом, позволяет детализировать геолого-хронологические связи фактов и событий. Установление физических границ и признание существующей номенклатуры обозначений памятников – это важнейший вектор в деле понимания многообразия культурного наследия Афонтовой Горы.

Открытия широко известные по материалам «классической» Афонтовой Горы II дополняются, новыми находками. Существенно расширен состав коллекций, пополняющий Государственный музейный фонд Российской Федерации. Вводятся в оборот новые данные о хронологии освоения данной территории. Сохраняется глубинная преемственность в областях культурно-просветительской и педагогической деятельности.

Материалы группы стоянок Афонтовой Горы сто с лишним лет продолжают служить в качестве опорных территорий для изучения первобытной археологии Средней Сибири на карте евроазиатского пространства.

**В.М. Новосельцева¹, И.В. Стасюк², Е.В. Акимова¹, Н.С. Муратов³,
И.А. Орешников², А.А. Румянцев⁴**

¹ИАЭТ СО РАН, Новосибирск

²Красноярский государственный педагогический университет
им. В.П. Астафьева

³АНО «Археологические исследования Сибири», Красноярск

⁴ООО «Красноярская геoarхеология», Красноярск

АФОНТОВА ГОРА – 4. ПРЕДВАРИТЕЛЬНЫЕ ИТОГИ ПО РЕЗУЛЬТАТАМ СПАСАТЕЛЬНЫХ РАБОТ 2020 ГОДА

**V.M. Novoseltsceva¹, I.V. Stasiuk², E.V. Akimova¹, N.S. Muratov³,
I.A. Oreshnikov², A. A. Rumyantsev⁴**

¹Institute of Archaeology and Ethnography SB RAS, Novosibirsk

²Krasnoyarsk State Pedagogical University
named after V.P. Astafiev, Krasnoyarsk

³“Archaeological Research of Siberia”, Krasnoyarsk

⁴“Krasnoyarsk Geoarchaeology” Ltd, Krasnoyarsk

AFONTOVA GORA – 4. PRELIMINARY RESULTS OF ARCHAEOLOGICAL WORK IN 2020

Осенью 2020 года проводились археологические работы на объекте ОАН «Афонтова гора – 4» в составе «Комплекса памятников Афонтова гора» в границах земельного участка, отведенного под проектирование и строительство объекта «Строительство автодороги» в г. Красноярске на общей площади 2896 кв. м (Рис. 1, 2).

В 1884 г. директор Красноярской учительской семинарии, выдающийся общественный деятель, И.Т. Савенков открыл палеолитические стоянки Афонтова гора, обнаружив изделия из камня и кости ископаемых плейстоценовых животных.

В 2011–2012 гг. сотрудниками КГПУ и ООО «Красноярская Геoarхеология», под руководством к. и. н. Е.В. Артемьева, были проведены работы по предварительному археологическому обследованию территории объекта культурного

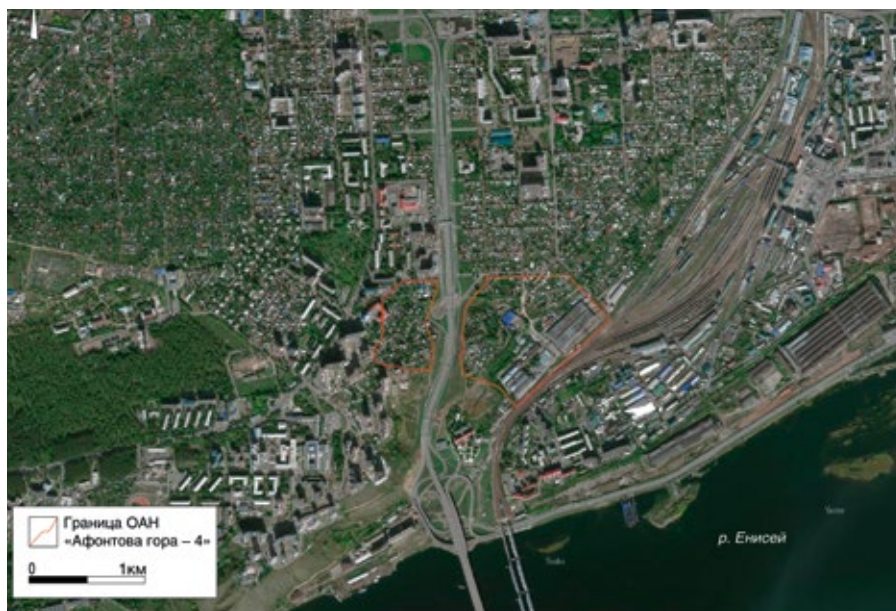


Рис. 1. Расположение ОАН «Красноярск. Стоянка Афонтова Гора – IV»

наследия федерального значения «Комплекс памятников: стоянка «Афонтова гора – I», «Афонтова гора – II», стоянка «Афонтова гора – III», стоянка «Афонтова гора – IV» в границах отвода земельного участка под строительство 4-го автодорожного мостового перехода через р. Енисей в г. Красноярске на участке от ул. Дубровинского до ул. Свердловской.

Также в полевой сезон 2012 г. сотрудниками ЛАЭ ГИ СФУ, ООО «Красноярская Геоархеология», КГПУ им. В.П. Астафьева, по заказу Министерства культуры Красноярского края были проведены работы по уточнению границ объектов археологического наследия в пределах г. Красноярска. Границы ОАН «Красноярск. Стоянка Афонтова Гора – IV» были установлены в 2015 году приказом № 246 от 27.11.2015 г. службы по государственной охране объектов культурного наследия Красноярского края. В 2019 году, в результате проведенных археологических исследований были расширены ранее установленные границы ОАН «Красноярск. Стоянка Афонтова Гора – IV» (Рис. 2) [Муратов, 2019].

Объект приурочен к левому борту долины р. Енисей, в черте г. Красноярска. Основная часть города Красноярска располагается на террасах Енисея, покрытых чехлом четвертичных лёссовых суглинков и супесей. Енисей в рай-



Рис. 2. Расположение раскопов 2020 года в границах ОАН «Красноярск. Стоянка Афонтова Гора – IV»

оне г. Красноярска протекает по довольно широкой долине 4–5,5 км и имеет направление течения с юго-запада на северо-восток. Долина реки асимметричной формы, террасирована. Склоны крутые, высотой 150–200 м. Участок исследования расположен на платообразной привершинной поверхности Афонтовой горы, на гипсометрических позициях 236 м БСВ (100–103 м над уровнем р. Енисей), по правому борту безымянного лога, в самом его изголовье. Лог разрезает юго-восточный склон Афонтовой горы, по сути, являющейся приустьевым мысом правого борта долины р. Кача (Рис. 1).

Вскрытая по площади толща рыхлых отложений представлена субэаральными: делювиального генезиса супесями. Покрывное вскрытие позволяет судить о бугристо-западинном криогенном палеорельефе.

Сводная вскрытая стратиграфия представлена в следующем виде (описание сверху вниз) (Рис. 3).

В результате вскрытия площади 3 раскопов зафиксировано 2 культуросодержащих горизонта, в различной палеоландшафтной и геологической ситуации.

Культуросодержащий горизонт № 1 представлен фрагментами керамики, фаунистическими фрагментами и единичными артефактами из камня, в пла-

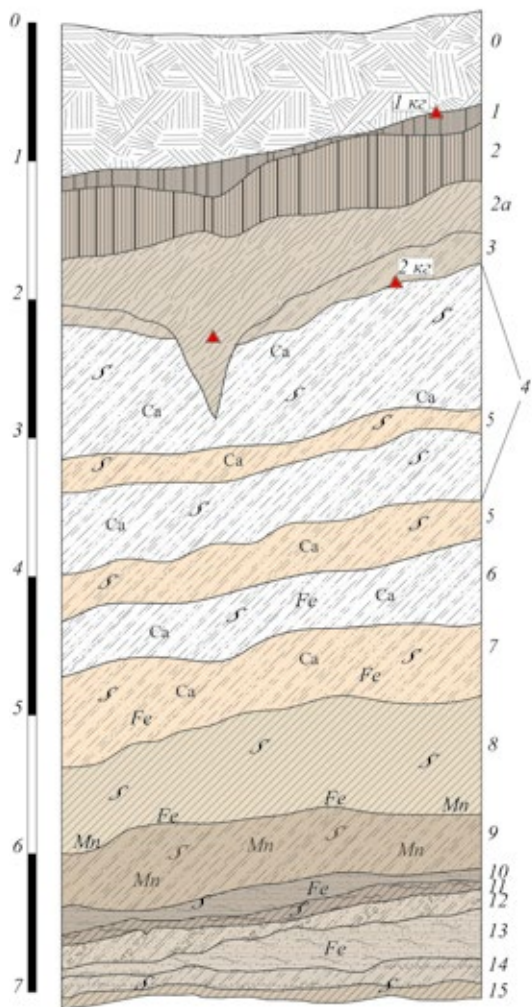


Рис. 3. Сводная стратиграфия верхнеплейстоценовых отложений раскопов 2020 года ОАН «Красноярск. Стоянка Афонтова Гора – IV».

ниграфии выделены два небольших пятна в северной и в юго-западной частях раскопов. Керамика представлена фрагментами гладкостенного сосуда с пальцевыми вдавлениями по внешнему краю венчика (всего 21 фрагмент). Предварительно датирован эпохой бронзового века.

№ ЛС	Описание	Мощность м
0	Техноген	0,20–1,90
0.1	Перепашка. Культуросодержащий горизонт 0.	0,20–0,30
1	Супеси пылеватые гумусированные, темно-серые, почти черные. Нижняя граница мелкотрещиноватая, нечеткая, размытая	0,20–0,60
2	Супеси слабогумусированные красновато-буроватые с гумусированными инклюдиями. Границы мелкотрещиноватые, размытые. Горизонт В. Культуросодержащий горизонт 1.	0,25–0,35
2а-3а	Супеси слабогумусированные, пятнистые, светло-буроватые, размытые. Заполнение криогенных трещин	0–0,90
3	Супеси слабогумусированные палево-буроватые. Границы нечеткие, размытые. В подошве прослеживается горизонт эмбриональной почвы мощностью до 5 см. Культуросодержащий горизонт 2.	0,20–0,60
4	Супеси лессовидные карбонатизированные, палевые, белесовато-палевые, верхняя граница волнистая, нечеткая	0,70–1,0
5	Суглинки легкие, лессовидные, карбонатизированные слабогумусированные, красновато-бурые, криотурбированные. Прослой от 0,15–0,30	0,15–0,30
6	Супеси лессовидные, карбонатизированные, белесоватые, белесовато-палевые, границы нечеткие	0,45–0,50
7	Супеси лессовидные, слабогумусированные, с включением железа, карбонатизированные, рыжеватые. Эмбриональные палеопочвы (Sr2?)	0,40–0,60
8	Супеси лессовидные, опесчаненные, неслоистые, палевые, сизоватые, в подошве включения железа и Mn	0,75–0,85
9	Супеси лессовидные, однородные, опесчаненные, рыжеватые, с включением Mn	0,15–0,20
10	Супеси, легкие суглинки, слоистые, лессовидные, оглеенные, сизоватые, рыжеватые, с включением Fe	0,25–0,30
11	Суглинки лессовидные, гумусированные, слоистые с прослойками до 1 см железненые, солифлюцированные, гумусированные (Kг2?)	0,07–0,10
12	Супеси, пески, сизоватые, рыжеватые, палевые, с включением мелкообломочного материала	0,15–0,18
13	Супеси слойчатые с прослойками песка до 1 см, оглеенные местами, с включением железа	0,45–0,50
14	Супеси лессовидные, сизоватые с включением мелкообломочного материала	0–0,10
15	Супеси лессовидные, сизоватые	Видимая мощность до 0,10

Культуросодержащий горизонт № 2 зафиксирован в нескольких палеоландшафтных ситуациях: на выровненных поверхностях в относительно спокойно, горизонтальном залегании на контакте 3 и 4 литологических слоев, местами артефакты и фаунистические остатки залежали в палеопочве мощностью до 5 см.

На склоновых позициях археологический и палеонтологический материал оказался вовлечен в гравитационные процессы чехла рыхлых отложений и зафиксирован в стратиграфии перемещенным в вертикали в границах 3 и кровле 4 литологических слоев, в планиграфии отмечен несколькими комплексами, представляющими 3 вектора сноса и переотложения.

Первый комплекс, зафиксированный на площади раскопа № 1 на контакте 3 и 4 литологических слоев, в подошве литологического слоя 3. В планиграфии фиксируется вектор сноса комплекса на северо-запад.

Второй комплекс зафиксирован на площади раскопа № 2 в южной части, на контакте литологических слоев 3 и 4, представлен пятном с вектором сноса с юго-запада на северо-восток. Перепад высот залегания культуросодержащего слоя составляет порядка 2 м.

Третий комплекс зафиксирован в северной части раскопа № 2 в заполнении криогенной трещины. В данном комплексе зафиксированы остаточные проявления кострища, (представленные угольными примазками), смещенного по направлению сноса рыхлых отложений к тальвегу трещины. Коллекция представлена изделиями из камня и множественными фрагментами костей.

Всего на площади раскопов №№ 1, 2, 3 зафиксировано более четырех тысяч единиц находок, в их числе: изделия из камня, множественные фрагменты костей, фрагменты керамики.

Каменные артефакты, в количестве порядка 800 единиц, представлены отщепами, пластинами, сколами декортикации, нуклеусами и орудиями. Орудийный комплекс демонстрирует преобладание скребков различных форм и модификаций, скребел, в основной массе, поперечных, на крупных сколах, в т.ч. на первичных. Единичными орудиями в коллекции представлены струг, долотовидные изделия, отщепы и пластины с ретушью утилизации.

Фаунистические остатки (ок. 1000 единиц находок) в основной массе, представлены северным оленем (*Rangifer tarandus*), единичны находки костей лошади (*Equus caballus*), марала (*Cervus elaphus*), куропатки (*Perdix*).

М.Н. Мещерин¹, А.В. Барков², Е.С. Муратов³

¹АНО «Археологические исследования Сибири», Красноярск

²ООО НПО «Археологическое проектирование и изыскания», Красноярск

³ООО «Красноярская Геоархеология», Красноярск

СПАСАТЕЛЬНЫЕ РАБОТЫ НА ОБЪЕКТЕ АРХЕОЛОГИЧЕСКОГО НАСЛЕДИЯ АФОНТОВА ГОРА V В 2020 ГОДУ

M.N. Meshcherin¹, A.V. Barkov², Ye.S. Muratov³

¹*“Archaeological Research of Siberia”, Krasnoyarsk*

²*“Archeological Engineering and Research”, Krasnoyarsk*

³*“Krasnoyarsk Geoarchaeology” Ltd, Krasnoyarsk*

ARCHAEOLOGICAL WORK AT AN ARCHAEOLOGICAL HERITAGE SITE AFONTOVA GORA V IN 2020

Территория исследований находится в центральной части Красноярской лесостепи, расположенной на стыке Западно-Сибирской и предгорной равнины Восточного Саяна. Красноярская котловина занимает восточную окраину Западно-Сибирской равнины, расположенную к юго-западу от Средне-Сибирского плоскогорья. Рельеф холмисто-грядовой, грядово-увалистый с уклоном к долине р. Енисей. Абсолютные высоты здесь обычно не превышают 400 м, а относительные – максимум 150 м. Лесостепная котловина характеризуется сложным геологическим строением, сильным эрозионным расчленением. Кроме долин современных рек, здесь развита густая сеть сухих долин и логов, много отдельных сухих и озерных котловин; широко развиты формы микро-рельефа, происхождение которых связано с мерзлотными процессами.

Открытие памятника состоялось в 1996 году. Археологический материал залегал на глубине до 5 м в палеопедогенных лёссовидных делювиальных толщах склоновых отложений. В.П. Чеха в разрезе Афонтонской Горы V выделил ископаемый почвенный комплекс, который объединил в «три литоло-



Рис.1. Местоположение объекта культурного наследия Афонтова Гора V / Fig. 1. Location of the cultural heritage site Afontova Gora V.

гические пачки, представляющие собой отдельные почвенные горизонты» [Дроздов, Артемьев, 2007, с. 39–41]. Общая максимальная мощность палеопедогенного слоя не превышает 0,8 м. Первые находки отличались сравнительно архаичным обликом, в сравнении с известными образцами типичной афонтовской индустрии, что позволило поначалу исследователям синхронизировать Афонтову Гору V с «мальтинским временем» или с каргинским межледниковьем [Дроздов, Артемьев, 1997, с. 22–24; Астахов, 1999, с. 168]. Сопровождающие фаунистические остатки, по определению Н.Д. Оводова, характеризовались в основном присутствием костей «теплолюбивой фауны» [Артемьев, Дроздов, 1998, с. 312]. На сегодняшний день объект признаётся одним из древнейших на территории «красноярского археологического района», обоснованного в 1920-е годы в ранге специфического таксона региональной систематики [Акимова, 2003, с. 11]. Морфологический облик инвентаря сравнивается с индустриями, обнаруженными на сопредельных тер-



Рис. 2. Аэрофотоснимок, октябрь 2020 года. Вид на строительную площадку с объектом Афонтова Гора V с юго-запада / Fig. 2. Aerial view, October 2020. View of the construction site with the object Afontova Gora V from the southwest.

риториях, которые датированы каргинским – реннесартанским временем [Дроздов, Артемьев, 2007, с. 39–41].

В августе – октябре 2020 года производились археологические раскопки участка, отводимого под строительство жилого комплекса на площади 1321, 5 м² (Рис. 1). Ранее общая вскрытая площадь на объекте составляла 924 м².

Геоморфология и стратиграфия. Памятник связан с террасовувалом или широкой плоской гривой местного водораздела, которая имеет незначительный уклон (до 5°) в долину левобережного притока Енисея – р. Кача (в северо-западном направлении). В этом же направлении устанавливался фрагмент палеограбена, который обозначался в литературе как долина «Пра-Качи». По версии В.И. Громова, данный водоток действовал, когда днище левобережного притока Енисея было на 14–18 м выше современного меженного уровня [Сукачѳв, Громов, Бадер, 1966, с. 107–108]. Вторая надпойменная терраса тогда функционировала ещё в режиме поймы, а время накопления её пой-

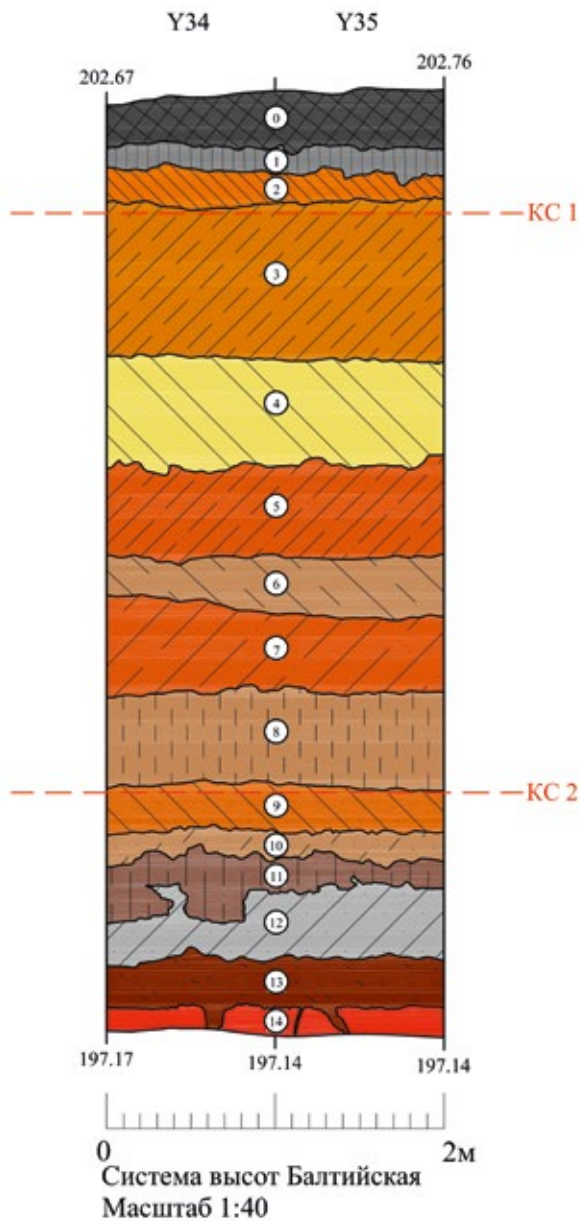


Рис. 3. Генеральная стратиграфическая колонка западного профиля / Fig. 3. General stratigraphic column of the western profile.

менного аллювия и субаэрального чехла должно определяться интервалом примерно 27–10 т.л.н. (поздняя дата каргинского века – конец сартанского). Окончание формирования данного уступа, должно синхронизироваться с седиментацией основных культурных толщ Афонтонтовой Горы II «классической».

В настоящее время местность имеет плотную городскую застройку, и первоначальный рельеф в современном урбаногенном ландшафте практически не просматривается. При этом отмечается, что юго-западный скат описываемой поверхности имеет сравнительно крутой и протяжённый уступ, оформляющий левый борт енисейской долины. Относительные высотные отметки превышают уровень Енисея на 70–60 метров. Ниже лежат 25–30 и 12–18 метровые уступы нижнего террасового комплекса. Удалённость от берега около 1,8 км (строго по оси юг-север). Склон обращённый к Енисею продольно расчленён логом, слабо угадываемым в современном рельефе.

В ходе работ было заложено 2 раскопа, где в едином профиле зафиксированы 2 культурных слоя (далее – КС), которые представлены зонами хозяйственной активности с каменными артефактами и костными остатками, связанным несистематичными золисто-углистыми заполнениями, пятнами охры и гумусированными линзами.

Поверхности на площадях заложения раскопов ровные, субгоризонтальные. Координаты пункта стратиграфического наблюдения: N56°00'38,38» E92°49'01,54», абсолютная высота – 203 м над уровнем моря.

Стратиграфическое описание (сверху вниз) (Рис. 3):

ЛС	Описание	Мощность (М)
I	Слой современной почвы, перекрытый техногенными напластованиями. Почва чернозёмного типа сформирована на лёссовидных отложениях. Нижняя граница диффузная. Реакции на раствор HCl отложение не имеет.	0,25–0,30
II	Слой лёссовидных пористых супесей бурого, каштанового цвета. Подошва подчёркнута слабовыраженным гумусированным прослоем тёмно серого цвета мощностью до 0,07 м.	0,15
III	Слой лёссовидных пористых супесей, неслоистых светло-серого цвета. Слой имеет сплошную карбонатную пропитку и бурно вскипает на HCl. Повсеместно расклинен тонкими (до 1 см) вертикальными трещинами, длиной до 50–70 см, образующими в плане полигональную сетку неправильных многоугольников с шагом в 30–50 см. Заполнение трещин представлено двумя видами: гумус (самый верхний горизонт заложения) и карбонатные псевдомицелии. Нижняя граница ровная, субгоризонтальная, подчёркнута опесчанной прослойкой мощностью до 2–3 см.	1,0

IV	Слой лессовидной макропористой супеси без текстур сизоватого цвета. В отличие от вышележащего слоя, более увлажнён и оглеен. Структура массивная.	0,35–0,40
V	Слой легких суглинков охристого цвета (красноватого) цвета с неясной мелкой слоистостью. Маркируется карбонатными включениями в виде белоглазки.	0,48
VI	Слой лессовидных супесей серовато-желтоватого цвета. Такая же неясная горизонтальная слоистость. Мощность прослоек по 1,5–5 см. От вышележащего слоя отличается содержанием и насыщенностью рыжеватых суглинистой фракции.	0,35
VII	Слой лёгких суглинков, с мелкой, неясной слоистостью и включением точечных конкреций окисла железа. Внешне очень похож на слой V, но существенно отличается отсутствием карбонатов в виде белоглазки.	0,40
VIII	Слой лессовидного суглинка, слегка опесчаненный, серого-жёлтого цвета. Структура похожа на слой VI. В подошве слоистость более выражена. Подчёркнута горизонтальными жилками ожелезнений.	0,52–0,58
IX	Слой суглинков с неясной горизонтальной слоистостью красноватого цвета. С поверхностью слоя связан горизонт полигональных мерзлотных клиньев до 0,03 см в толщину, проникающих в подстилающие отложения.	0,25
X	Слой супесей суглинков серого цвета	0,20
XI	Слой супесей суглинков, с чёрными примазками гумусового материала с текстурами лёгкого склонового течения. Нижняя граница горизонтальная резкая.	0,50–0,15
XII	Слой супесей серого цвета в верхней части наиболее обесцвеченный	0,40
XIII	Слой серых суглинков с вкраплениями ожелезнений	0,28
XIV	Зона дезинтеграции – щебнисто-дресвянистый слой с заполнением интенсивно малинового цвета. Рсклинен морозобойными клиньями, проникающими с вышележащих уровней.	0,20 (видимая)

Рассматривается северный профиль разреза, фронтальный, относительно левого борта долины Енисея. Все слои располагаются параллельно, залегают в субгоризонтально. Генезис литологического слоя III возможно определять, как некую эрозионную (дефляционную) поверхность, сформированную эолово-флювиально – делювиальными процессами. Перекрывающий неясно выраженный горизонт почвообразования, может соответствовать раннеголоценовому пребореальному периоду или дриасу. Важно заметить, что с кровли литологического слоя III заложен криогенный горизонт, представленный разновеликими трещинными структурами двух генераций, протяжённостью от 0,5 и до 1,5 м. Предполагается, что культурный слой 1, выделенный на контакте с вышележащим слоем, некоторое время существовал в условиях интенсивного механического выветривания горных пород, видимо, скованных многолетней мерзлотой криолитозоны. Соответственно, в этой зоне должна



Рис. 4 а. Фрагмент плана раскопа. Красными флажками отмечены обнаруженные находки каменных артефактов / Fig. 4 а. Fragment of the excavation plan. The discovered finds of stone artifacts are marked with red flags.

лежать стратиграфическая граница финала неоплейстоцена – голоцена. Аналогичная ситуация отмечалась в пределах «красноярского археологического района» на стоянке Лиственка на уровне литологических слоёв ½ и 3 [Палеолит Енисея. Лиственка..., 2005, с. 37–40].

Литологические слои VIII–XI, очевидно выпадают на отдел палеопедокомплекса, разделённого В.П. Чехой на «три пачки» [Дроздов, Артемьев, 2007, с. 39–41]. Является ли данный педокомплекс единым, относящимся к финалу каргинского термохрона, остаётся насущным вопросом и требует дополнительного анализа. Наиболее вероятно, что в пределах литологических слоёв IX–XI пролегает нижняя граница сартанского криохрона, сопровождающегося солифлюкцией, которая текстурно выражена в литологических слоях X–XI.

Археология. КС 1 залегал на контакте литологических слоев II и III. Он имеет многочисленные локальные новейшие повреждения от современной хозяйственной деятельности в виде столбовых ям и канавок. В плане слой представляет собой скопление подовальной формы с размерами 15 x 6–10 м, вытянутое по оси северо-запад – юго-восток (Рис. 4 а, 4 б). В генеральном плане ось пятна вытянута вдоль бровки уступа, обращённого к долине Енисея, с незначительным отклонением к северу.



Рис. 4 б. Планиграфия находок КС 1. Вид с север-запада / Fig. 4 b. Planigraphy of finds cultural layer 1. View from the north-west.

Полученная коллекция представлена каменными артефактами и костными остатками (всего 1849 экз.) (Рис. 5, 6, 7, 8). Артефакты из камня насчитывают 911 единиц, которые представлены преимущественно отходами каменного производства: отщепами, обломками и осколками. Зафиксированные нуклеусы единичны. Один из образцов – клиновидный микронуклеус (Рис. 6–1) (высота фронта 2,4 см). Второй нуклеус монофронтальный двухплощадочный с противоположными ударными площадками (высота 4,3 см). Поверхность снятия сохраняет негативы пластинчатых пропорций (Рис. 5–1). Также в единичном варианте зафиксирован бифронтальный трехплощадочный нуклеус (Рис. 5–2).

В составе орудий:

- долотовидные инструменты выполнены из мелких угловатых отщепов неправильной формы, уплощённых осколков, переоформленного нуклеуса. Все долотовидные преимущественно мелкие (размерами до 3,5 см), клиновидные в профиле, как правило, имеющие выраженный обушок и асимметричное прямое или остроконечное лезвие с мелкой чешуйчатой ретушью (выкрошенностями);

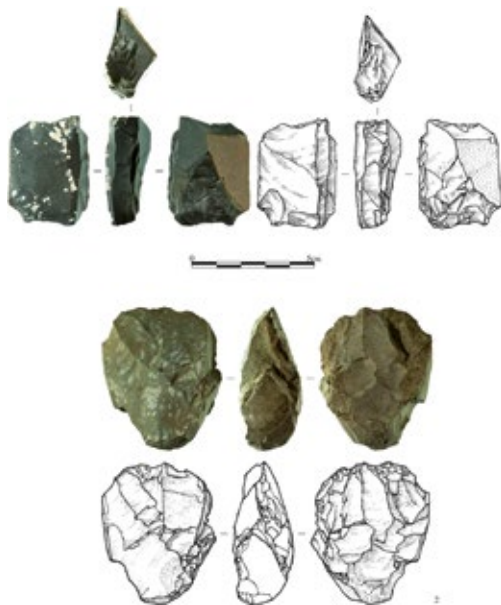


Рис. 5. Культурный слой 1.1 – нуклеус; 2 – нуклеус / Fig. 5. Cultural layer 1.1 – core; 2 – core.

- остря на крупных отщепах;
 - скребки (на фрагменте крупной пластины и отщепе или оба на отщепах),
 - резец плоский (?), на пластинчатой основе;
 - ножи обушковые со слабо выпуклыми или дугообразными лезвиями, оформленными захватывающей уплощающей ретушью (4–5 см);
 - боковая проколка.
- Каменный инструментарий дополняется отщепами с ретушью утилизации. Также в коллекции представлены крупные фрагменты расколотых уплощенных галек со следами пикетажа, которые следует отнести к категории «наковальня».

Фаунистические остатки насчитывают 938 единиц. В основной массе они представлены мелкими неопределимыми осколками трубчатых костей. Видовое определение оставшейся части коллекции на данный момент не произведено.

В слое присутствуют образцы микропластинчатого расщепления. Все пластинки/фрагменты характеризуются узкими и удлинёнными пропорциями, непараллельными продольными краями, нерегулярной огранкой спинок

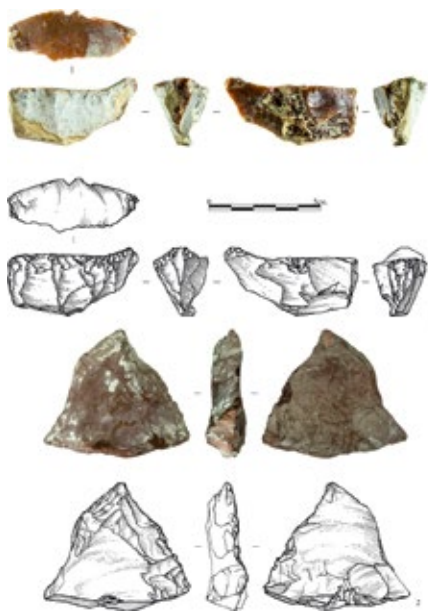


Рис. 6. Культурный слой 1. 1 – нуклеус; 2 – острие / Fig. 6. Cultural layer 1. 1 – core; 2 – point.



Рис. 7. Культурный слой 1. 1 – долотовидное орудие; 2 – долотовидное орудие; 3 – 1, №124, долотовидное орудие; 4 – скребок боковой; 5 – скребок; 6 – скребок / Fig. 7. Cultural layer 1. 1 – “chisel tool”; 2 – “chisel tool”; 3 – 1, №124, “chisel tool”; 4 – side scraper; 5 – scraper; 6 – scraper.

и сильно изогнутыми профилями (1,7–2.5 см). Устойчивых метрических серий микропластинчатые заготовки не образуют.

Имеется серия отщепов полученных из халцедона. Они плоские, асимметричные, с лёгким винтообразным скручиванием скалывающей, гладкими прямыми и вогнутыми ударными площадками. Средние размеры не крупнее 2 см.

Сырьевой состав каменной коллекции КС 1 Афонтовой Горы V своим многообразием совпадает с материалами Лиственки (слои ½ и 3). Отмечается использование разнозернистых пород – кварцитовых (сливных) песчаников, халцедонов, высококачественного жёлтого и коричневого кремня [Палеолит Енисея. Лиственка..., 2005, с. 145]. Так же как в указанных слоях Лиственки, в КС 1 Афонтовой Горы V отмечено представительное использование «неспециализированного» мелкого отщепа в качестве наиболее распространённой заготовки. В технике вторичной обработки отмечено использование частичного бифасиального оформления и захватывающей мелкоамеллярная ретуши. Мелкое пластинчатое расщепление в коллекциях не отражено и в обеих индустриях они прослеживаются спорадически. В хозяйственном отношении памятник может интерпретироваться как специализированная кратковременная охотничья стоянка.

На основании стратиграфической позиции, технико-типологических аналогий КС 1 Афонтовой Горы V предварительно датируется рубежом плейстоцена – голоцена¹.

КС 2 залегает в кровле литологического слоя IX (почти на 2 метра глубже вышележащего КС 1. Он представляет собой единую структуру – округлое скопление диаметром около 10 м. Максимальный интервал разноса находок в профиле не превышает 20 см по всей площади. Коллекция состоит из каменных артефактов (868 наименований) и обломков костей животных в количестве 110 экз.

В качестве руководящих заготовок для орудий отмечаются фрагменты пластин (3–4 см) отщепы (размеры) и сколы, полученные в ходе ситуационного расщепления. Среди дебетажа – отщепы, чешуйки, обломки и осколками (преимущественно с галечной поверхностью).

Наиболее многочисленна в орудийном наборе группа скребков, пред-

¹ Данные радиоуглеродного анализа для слоёв ½ – 5 Лиственки не приводятся.



Рис. 8. Культурный слой 1.1 – нож; 2 – обломок лезвийной части орудия (наконечника?); 3 – боковая проколка; 4 – нож / Fig. 8. Cultural layer 1. 1 – knife; 2 – fragment of the blade part of the tool (tip?); 3 – graver; 4 – knife.

ставленная несколькими вариантами (Рис. 9). Концевые скребки выполнены на пластинах (в этом случае также имеют обработанные ретушью маргиналы) или удлиненном обломке с высоким профилем. В единичных вариантах зафиксированы также боковой скребок на осколке с выступом-шипом и округлый на обломке.

Также была выделена группа орудий с оформленными ретушью выемками,

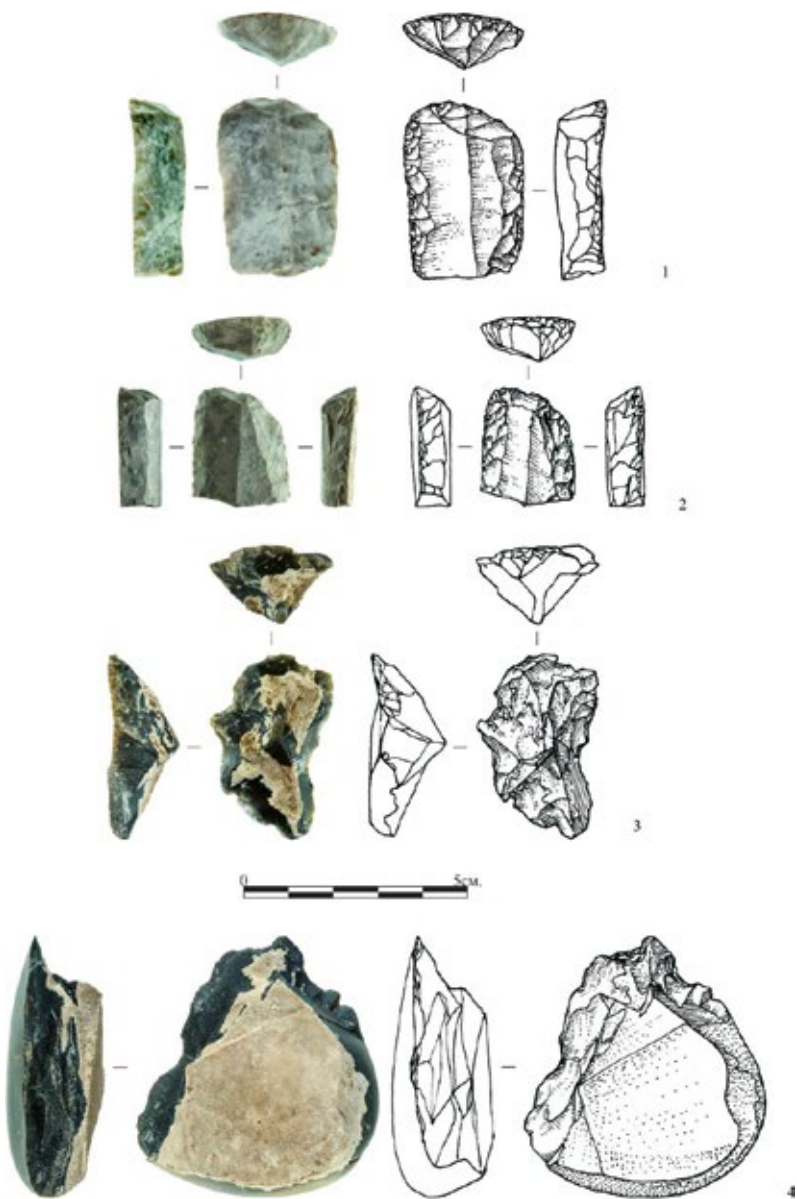


Рис. 9. Культурный слой 2.1 – концевой скребок; 2 – концевой скребок; 3 – боковой скребок с шипом; 4 – выемчатое орудие / Fig. 9. Cultural layer 2.1 – end scraper; 2 – end scraper; 3 – side scraper with a thorn; 4 – notch tool.

выполненных на обломках или фрагменте гальки.

В единичном экземпляре зафиксировано долотовидное орудие на небольшом осколке.

К категории галечных орудий отнесены крупные фрагменты галек со следами пикетажа торцах (в единично случае на плоскости), предварительно интерпретируемые в качестве отбойников. Также галечные орудия представлены группой т.н. «стругов», представленных целым орудием на гальке с грубо оформленным крутой ретушью рабочим краем и фрагментом рабочего края похожего изделия.

Остеологическая коллекция (110 экз.) представлена представлена преимущественно мелкими неопределимыми осколками костей млекопитающих. Среди определимых – метаподия носорога, позвонок лошади. Технологическо-морфологические показатели индустрии не образуют выразительных и диагностических групп. Можно констатировать полное отсутствие образцов микропластинчатого расщепления.

Стратиграфическая позиция КС 2, вероятно всего, относится к средней или даже верхней пачке «почвенного комплекса», выделенного ранее В.П. Чехой. Более точное геохронологическое определение данного слоя остаётся делом будущего.

Особенное геоморфологическое положение Афонтовой Горы V позволяет сравнивать её с объектами Куртакского археологического района, удалённого от Красноярска на полторы сотни километров к юго-западу. Схожие географические условия севера Минусинской котловины и сравнительно высокие (60–80 метровые) гипсометрические отметки высоких приводораздельных террасовидных поверхностей служат тому серьёзным основанием [Дроздов и др., 2005, с. 10–12]. Стратиграфия КС 2 Афонтовой Горы может соответствовать образцово изученным и тщательно датированным отложениям Куртака. На наш взгляд, ситуацию КС 2 резонно коррелировать с верхней частью куртакского педокомплекса или низами «трифононских лёссов» [Zandera et al., 2003, p. 1001; Дроздов и др., 2005, с. 96; Naesaerts et al., 2005, p. 19]. Состав археологической коллекции КС 2 Афонтовой Горы V связан с особым видом хозяйственной специализации данного места обитания и предварительно может квалифицироваться как кратковременная охотничья стоянка с далеко неполным производственным циклом.

И.И. Разгильдеева¹, Е.В. Артемьев², В.А. Голубцов³, М.Ю. Опекунова³

¹Забайкальский Государственный университет, Чита

²ООО «Красноярская Геоархеология», Красноярск

³Институт географии им. В.Б. Сочавы СО РАН, Иркутск

СТОЯНКА КРУТАЯ: ГЕОЛОГИЯ, ПЛАНИГРАФИЯ, ИНВЕНТАРЬ

I.I. Razgildeeva¹, E.V. Artemev², V.A. Golubcov³, M.YU. Opekunova³

¹Transbaikal State University, Chita

²“Krasnoyarsk Geoarchaeology” Ltd, Krasnoyarsk

³Sochava Institute of Geography SB RAS, Irkutsk

KRUTAYA SITE: GEOLOGY, PLANIGRAPHY, INVENTORY

Стоянка Крутая – объект археологического наследия, относящийся к группе памятников Афонтовой горы. Открыт в 2014 г. в ходе археологической разведки проводимой Е.В. Артемьевым и А.В. Веженко [Артемьев, 2015]. Памятник расположен в удалении от левого берега р. Енисей в пределах юго-восточного склона, расчлененного овражно-балочной сетью¹. Стоянка Крутая связана с одной из изолированных ложбин данного склона, южнее которой и значительно ниже, в отложениях нижнего террасового комплекса Енисея прежде была обнаружена знаменитая Афонтова Гора II. Севернее – северо-восточнее Крутой, в одной из соседствующих ложбин, размещённых выше по склону расположена Афонтова Гора IV (Рис. 1).

Название памятник получил по названию одной из улиц Николаевской слободы на территории которой был обнаружен материал. В 2014 г. в шурфе на площади 4м² были зафиксированы два уровня залегания археологических материалов, представленных скоплениями каменных артефактов и фаунистических остатков. По оценке стратиграфической ситуации и облику изделий, время формирования культурных отложений предварительно соотносилось

1 На момент открытия, памятник располагался в городской черте, активно застроенной усадьбами «частного сектора» с совершенно перестроенными, техногенными ландшафтами. В геоморфологических описаниях приводятся реконструкции исторического рельефа.

типы рельефа. Структурно-денудационный тип рельефа, развит в левобережной части долины, выполняя водораздельные поверхности и верхние части склонов; денудационный тип характерен для склонов правобережной части долины; аккумулятивный тип получил развитие в пределах террасированного днища долины.

Участок стоянки Крутая расположен в пределах распространения денудационного морфогенетического типа рельефа, представленного выположенным уступом торгашинской террасы (Рис. 2). Уступ осложнён эрозионной формой субширотной ориентировки длиной до 500 м, шириной до 300 м, глубиной до 6 м (лощиной, по классификации И. И. Рысина [1999]) к которой с юга, юго-запада в районе улицы Дачная примыкает меньший по размеру овраг (Рис. 2, 3).

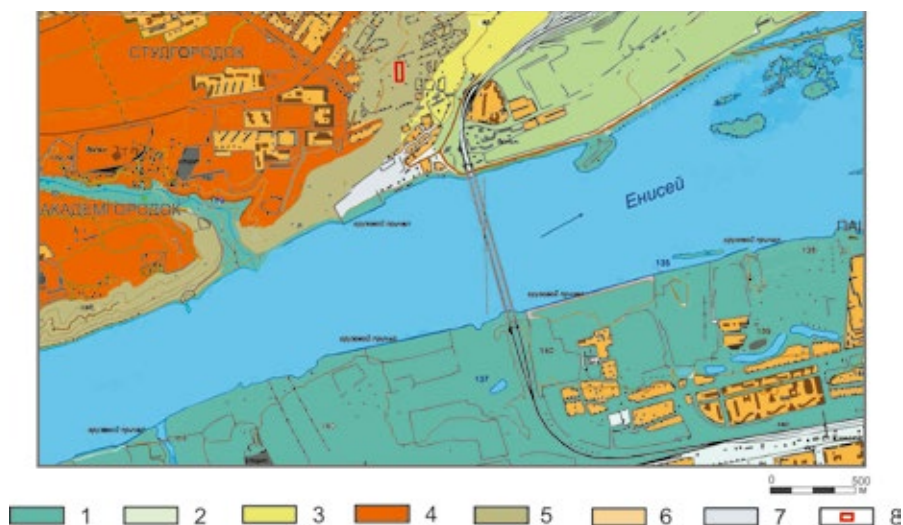


Рис. 2. Геоморфологическая схема района исследования. Аккумулятивный тип рельефа: 1 – пойма высотой до 8 м голоценового возраста; 2 – первая терраса высотой до 11 м голоцен-верхнеоплейстоценового возраста; 3 – третья терраса высотой до 30 м верхнеоплейстоценового возраста; 4 – террасы высотой до 100 м и до 140 м эоплейстоценового возраста. Денудационный тип рельефа: 5 – эрозионные склоны речных долин уступы террас, значительно переработанные склоновыми процессами. 6 – объекты застройки; 7 – поверхности, значительно преобразованные техногенными процессами; 8 – границы объекта исследования. Схема составлена с использованием данных [Геоморфологическая..., Мокринцев, 2011, 2012]. / Fig. 2. Geomorphological map of the study area. Accumulative relief type: 1 – floodplain up to 8 m high of Holocene Upper Pleistocene age; 2 – the first terrace up to 11 m high of Holocene Upper Pleistocene age; 3 – the third terrace up to 30 m high of Upper Pleistocene age; 4 – terraces up to 100 m high and up to 140 m high of Eopleistocene age. Denudation type of relief: 5 – erosion slopes of river valleys terrace ledges, significantly processed by slope processes. 6 – development objects; 7 – surfaces significantly transformed by technogenic processes; 8 – boundaries of the study object. The scheme was compiled using data [Geomorphological...Mokrinets, 2011, 2012].

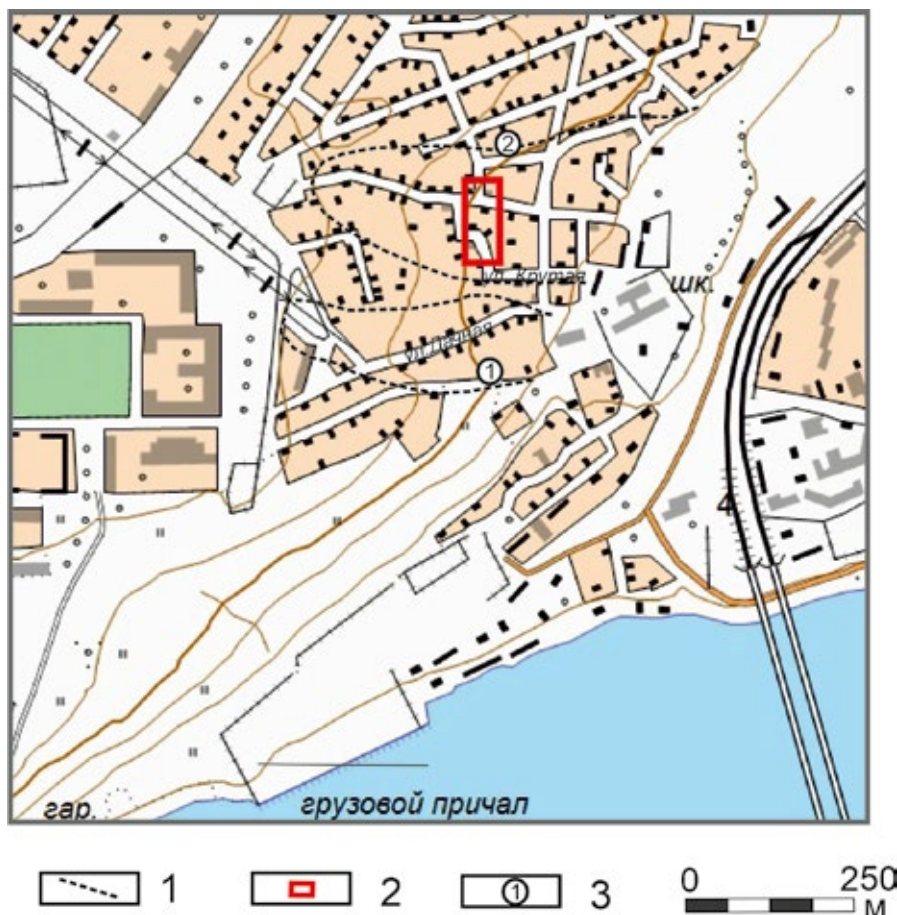


Рис. 3. Схема расположения Стоянки Крутая относительно элементов рельефа. 1 – овраги; 2 – границы объекта исследования; 3 – точки наблюдений. / Fig. 3. The scheme of Krutaya site relative to the relief elements. 1 – gulleys; 2 – boundaries of the study object; 3 – points of observation.

О хорошо развитой овражно-балочной системе, заложенной в пределах элементов пойменно-террасового комплекса долины р. Енисей и его левобережного притока (долина р. Кача), свидетельствовало и информация, полученная при анализе отчетов первых исследователей и разновременных геоизображений (топокарт, аэрофотоснимков) участков территории Афонтовой горы (Рис. 4). Выделенные в стратиграфических разрезах памятника литологические слои в вертикальном профиле по резким контактам сменяли друг друга, что также свидетельствовало о многочисленных эрозионных эпизодах во время

формирования исследуемой толщи отложений. При этом интенсивная антропогенная нагрузка по настоящее время оказывала влияние на стадийность этапов активизации процессов эрозии с последующим их затуханием и полной или частичной нивелировкой выработанных форм [Голубцов, Опекунова, 2017].

Полученная в ходе раскопок 2014–2017 гг. серия геологических разрезов, позволила составить общий стратиграфический профиль, отражающий этапы формирования толщ и установить, что заполнение формы происходило в условиях направленной аккумуляции комплекса процессов: пролювиальных, гравитационно-склоновых, овражных и аккумулятивно аллювиальных, но в меньшей степени эоловых. Слои, вмещающие археологическую культуру, надёжно зафиксированы лишь в верхней трети геологического профиля, когда описываемая эрозионная форма (лощина) находилась уже в фазе стабилизации заполнения. Аллювиальные отложения в разрезах представлены фрагментарно, что существенно затрудняет их корреляцию с тем или иным эрозионно-аккумулятивным циклом.

При формировании отложений помимо ведущего склонового процесса водно-эрозионного класса – плоскостного смыва, определённо развитыми представляются флювиальные процессы, выраженные в деятельности временных водотоков, благодаря которым выработаны эрозионные формы, которые впоследствии были нивелированы склоновыми и смоделированы криогенными и эоловыми процессами [Голубцов, Опекунова, 2017].



Рис. 4. Аэрофотоснимок территории стоянки Крутая и прилегающей области 1965 г. / Fig. 4. Aerial photo of the territory of the Krutaya site and the surrounding area in 1965.

Наиболее полный геологический разрез, включая толщу рыхлых отложений четвертичного возраста мощностью до 5,6 м, представлен в раскопе 13.

Таблица 1. Характеристика отложений Стоянки Крутая, вскрытых раскопом 13. Описание и анализ произведены В.А. Голубцовым и М.В. Опекуновой:

Глубина, см	Лит. слой	Описание (нумерация литологических слоев снизу-вверх)
0–100	10	палево-коричневый (10 YR 6/3), супесчаный, структура умеренная крупнопризматическая, уплотнен, карбонатные выцветы и инкрустации по ходам корней, умеренное вскипание от HCl, граница волнистая, переход резкий по цвету и сложению;
100–150	9	палево-коричневый (10 YR 6/3), легкосуглинистый, структура прочная крупнопризматическая, плотный, включения корней, карбонатные выцветы и инкрустации по их ходам, обильные макропоры, карбонатные выцветы на гранях структурных отдельных, сильное вскипание от HCl;
150–177		светлый палево-коричневый (10 YR 7/3), легкосуглинистый, структура прочная крупнопризматическая, плотный, карбонатные выцветы и жилки, сильное вскипание от HCl, граница волнистая, переход резкий по цвету;
177–200	8	светло-серый (10 YR 7/2), легкосуглинистый, структура прочная призматическая, плотный, редкие карбонатные выцветы на гранях структурных отдельных, умеренное вскипание от HCl, граница волнистая, переход резкий по сложению;
200–210	7	светло-серый (10 YR 7/2), среднесуглинистый, структура прочная ореховато-призматическая, плотный, включения корней, карбонатные выцветы, выраженные охристые железистые пропитки, сильное вскипание от HCl;
210–230		палево-коричневый (10 YR 6/3), супесчаный, структура прочная призматическая, плотный, карбонатные выцветы на гранях структурных отдельных, слабое вскипание от HCl, граница ровная, переход резкий по сложению;
230–250	6	палево-коричневый (10 YR 6/3), супесчаный, структура прочная мелкопризматическая, плотный, карбонатные пропитки во внутрипедной массе, охристые налеты, умеренное вскипание от HCl;
250–270		светлый коричневато-серый (10 YR 6/2), среднесуглинистый, структура прочная ореховато-призматическая, плотный, карбонатные инкрустации, обильные охристые железистые пропитки и налеты, очень сильное вскипание от HCl, граница волнистая, переход резкий по цвету и сложению;
270–300	5	коричневый (10 YR 5/3), окраска неоднородна, на основном коричневом фоне отмечаются многочисленные сизые и охристые пятна, тягелосуглинистый, структура прочная призматически-мелкоореховатая, плотный, хорошо выраженные карбонатные гипокутаны, железистые налеты на гранях педов, слабое вскипание от HCl;
300–330		желтовато-коричневый (10 YR 5/4), окраска неоднородна, отмечаются многочисленные темно-серые пятна гумусированного материала, тягелосуглинистый, структура прочная призматически-мелкоореховатая, плотный, количество железистых новообразований значительно ниже, карбонатные гипокутаны многочисленны и хорошо выражены, слабое вскипание от HCl, граница волнистая, переход резкий по цвету и сложению;

330–350	4	светлый желтовато-коричневый (10 YR 6/4), легкосуглинистый, структура прочная призматическая, плотный, охристые железистые выцветы на структурных отдельностях, очень слабое вскипание от HCl;
350–370		очень светлый палево-коричневый (10 YR 7/3), легкосуглинистый, структура прочная призматическая, плотный, сильное вскипание от HCl;
370–384		светлый желтовато-коричневый (10 YR 6/4), среднесуглинистый, структура умеренная призматическая, уплотнен, редкие карбонатные жилки и выцветы, очень слабое вскипание от HCl, граница слабоволнистая, переход резкий по цвету и сложению;
384–397	3	желтовато-коричневый (10 YR 5/4), легкосуглинистый, структура прочная мелкопризматическая, плотный, не вскипает от HCl, граница слабоволнистая, переход резкий по сложению;
397–410	2	желтовато-коричневый (10 YR 5/4), легкосуглинистый, структура прочная мелкопризматическая, плотный, сильное вскипание от HCl;
410–425		светлый желтовато-коричневый (10 YR 6/4), легкосуглинистый, структура прочная призматическая, плотный, редкие включения раковин моллюсков, карбонатные выцветы, умеренное вскипание от HCl;
425–440		светлый желтовато-коричневый (10 YR 6/4), легкосуглинистый, структура прочная ореховато-мелкопризматическая, плотный, единичные включения гравия, умеренное вскипание от HCl;
440–455		светлый желтовато-коричневый (10 YR 6/4), среднесуглинистый, структура прочная блоково-призматическая, плотный, карбонатные выцветы на гранях структурных отдельностей, слабое вскипание от HCl;
455–470		палево-коричневый (10 YR 6/3), супесчаный, структура прочная призматическая, уплотнен, хорошо выраженные мелкие (до 3–4 мм) охристые железистые конкреции, обильные карбонатные пропитки во внутриагрегатной массе, умеренное вскипание от HCl;
470–485		светлый желтовато-коричневый (10 YR 6/4), супесчаный, структура умеренная мелкопризматическая, уплотнен, охристые железистые выцветы на гранях структурных отдельностей, сильное вскипание от HCl;
485–500		светлый желтовато-коричневый (10 YR 6/4), легкосуглинистый, структура прочная ореховато-мелкопризматическая, плотный, охристые железистые выцветы на гранях структурных отдельностей, умеренное вскипание от HCl;
500–515		светлый желтовато-коричневый (10 YR 6/4), легкосуглинистый, структура прочная мелкопризматическая, плотный, охристые железистые выцветы на гранях структурных отдельностей, умеренное вскипание от HCl;
515–530		палево-коричневый (10 YR 6/3), легкосуглинистый, структура прочная ореховатая, плотный, хорошо выраженные мелкие (до 3–4 мм) охристые железистые конкреции, обильные карбонатные пропитки во внутриагрегатной массе, умеренное вскипание от HCl;
530–545		палево-коричневый (10 YR 6/3), легкосуглинистый, структура прочная ореховато-мелкопризматическая, плотный, частые охристые железистые выцветы на гранях структурных отдельностей, умеренное вскипание от HCl, граница волнистая, переход резкий по сложению;
545–560	1	палево-коричневый (10 YR 6/3), песок мелкозернистый, структура слабая мелкопризматическая, несколько уплотнен, новообразований и включений нет, сильное вскипание от HCl.

Вскрытая толща отложений имела следующее строение: 1) верхняя субаэральная пачка, выполненная эоловыми лессовидными супесями (окарбоначенными, макропористыми) мощностью до 1,5 м; 2) пачка дессерпция (медленного течения) выполненная супесями (окарбоначенными, макропористыми) мощностью до 1 м; 3) диагонально-крупнослоистая толща, выполненная супесчаными, суглинистыми отложениями с линзами песка, прослоями щебня и дресвы мощностью до 3–3,5 м. Для толщи характерно присутствие текстур криогенного течения. На глубине 2,5–3,3 м (слой 5) выделяется пачка слабо-развитых гумусированных прослоев, на глубине 5,45–5,6 м (слой 10) прослой аллювиального песка. Ряд диагностических признаков (положение в современном рельефе, текстура и строение толщи, гранулометрический состав отложений) позволяют определить отложения пачки 3, как пролювиальные (овражный аллювий), а отложения мощностью 0,2 м в подошве – как аллювиальные.

Археологические материалы. В пространстве стоянки археологические материалы финальноплейстоценового – раннеголоценового возраста, вмещающие культурные слои два и три (КС 2, КС 3), были выявлены на широкой площади. Они представляли собой разновременные и синхронные комплексы, характеризующие отдельные эпизоды освоения территории или компактные участки формирования склона в пределах третьего и четвёртого сверху литологических слоев (ЛС III, IV²).

Таблица 2. Стратиграфический разрез отложений раскопа 3.1 (при общей вскрытой мощности в 2,3 м).

ЛС	КС	Описание по линии П, кв. 94–108	Мощность (м)
I		Техногенная толща – почвенно-растительный горизонт современной почвы, деформированный пашней, с включениями гравийной отсыпки, строительного мусора.	0,2–0,25
II	1	Почвенный слой – гумусовый горизонт насыщенно чёрного цвета. Подошва слоя слабо волнистая, резкая. С нижней частью связаны находки КС 1.	0,4–0,45
III	2	Слой буро-коричневой супеси (почвенный горизонт В) со слабо выраженными черными гумусированными пятнами, пронизан корневой системой. В подошве слоя линзы черной пылеватой супеси.	0,5–1,0

² Согласно номенклатуре археологической стратиграфии памятника, срединная – приподошвенная часть литологического слоя 10, описанного В.А. Голубцовым и М.Ю. Опекуновой, разбита на два стратиграфических подразделения: ЛС III, который характеризуется наличием эпизодически встречающихся гумусовых линз и пропластков субгоризонтального простирания и ЛС IV, представленный неяснослоистыми супесчанными отложениями, которые перекрывают интенсивно окарбоначенные пористые супеси подстилающего литологического слоя 9 (по Голубцову, Опекуновой).

IV	3	Слой пылеватой светло-коричневой, местами палево-серого цвета супеси, с отдельными включениями карбонатов в виде псевдомицелий. В подошве слой имеет неясно выраженную несистематичную слоистость. Граница с нижележащими отложениями смазанная, волнистая, с выклинивающимися языками.	0,3–0,4
V		Слой интенсивно карбонатизированной пористой супеси с неясной, слабоволнистой слоистостью осветленного серого цвета. В верхней части пачка имеет светло-серый, местами белесый цвет. В нижней части с признаками ожелезнения приобретает светло-желтый оттенок. Слой вертикально расклинен мелкими трещинами до 1 см толщиной и средней протяжённостью до 0,75 м, выполненных карбонатным заполнением. Пронизан многочисленными кротовинами. 0,25 м, в северной – 0,5 м. Примерно в 0,2 м от кровли отмечен уровень заложения криогенных трещин. Трещинами длиной до 1,4 м и шириной в устье до 0,2 м выполняются разрывы с «отгибанием» прилегающих слоек и вертикальным сдвигом полигональных блоков.	1,0–1,2
VI		Слой интенсивно карбонатизированной супеси с суглинком, с неясной слабоволнистой слоистостью. За счет ожелезнения пачка имеет светло-желтый с рыжеватым оттенком цвет, есть признаки оглеенности слоя.	0,4–0,5

Представленный разрез может интерпретироваться следующим образом. Отложения ЛС I–II и отчасти ЛС III, оказались вовлечёнными в зону огородной деятельности. Генетически они связаны с элювиально-делювиальным чехлом «покровных отложений». Палеопедогенные образования, несистематично фиксируемые на данном уровне, с наибольшей долей вероятности следует относить к событиям голоцена. Текстуры ЛС IV указывают на локальную особенность плавного текучего смещения породы вниз по склону. Сильно окарбонированный с мелкотрещинными вертикальными структурами ЛС V, маркирует кровлю неоплейстоценовых многолетнемёрзлых грунтов. В качестве дополнительной аргументации можно привести две 14С – датировки. Одна получена по лучевой кости ювенальной особи носорога, обнаруженной в кровле ЛС IV в раскопе №17 – 14350±170 (ГИН–15843). Вторая дата получена по гумусу, отобранному из ЛС III в раскопе №15.6 – 8810±120 (ЛУ–9726). В обоих случаях приводятся не калиброванные показания.

Связанные с современным почвенно-растительным слоем артефакты были отнесены к *культурному слою 1* – времени раннегородского освоения (КС 1). Коллекция содержала кованые железные гвозди и обломки металлических изделий, куски абразивных камней, стеклянные аптекарские бутылки, фрагменты фарфоровой посуды и гончарных глазурованных керамических сосудов, кости крупного рогатого скота и продукты разложения костных остатков.

Находки **культурного слоя 2** (КС 2) были выявлены на контакте погребенной почвы голоценового возраста и кровли буро-коричневой супеси. Следует отметить, что хозяйственные скопления на территории памятника обнаруживались локально. Между пятнами с высокой концентрацией находок следовали зоны разрежения материалов и полное его отсутствие. Расстояние между такими скоплениями составляет от 10 до 70 м. Наиболее представительные локации материалов отмечены в раскопах №№ 17; 15.6; 3.2.

Хозяйственные структуры принципиально однотипны и их можно проиллюстрировать на примере ситуации раскопа 3.2. Обнаруженное скопление имело вытянутую форму и маркировало поверхность пологого склона. Состав коллекции артефактов (143 экз.) характерен для стоянок каменного века: сколы и отщепы (43 экз.); чешуйки (31 экз.); фрагменты пластин (7 экз.); микропластины (2 экз.); целые и битые гальки (4 экз.). В числе орудий два скола с ретушью и обломок скребка. Остатки фауны включали фрагменты колотых костей северного оленя.

По оценке стратиграфической позиции и облику материалов КС 2 предвательно отнесен к раннеголоценовому времени (11–9 тыс. л. до н. э.).

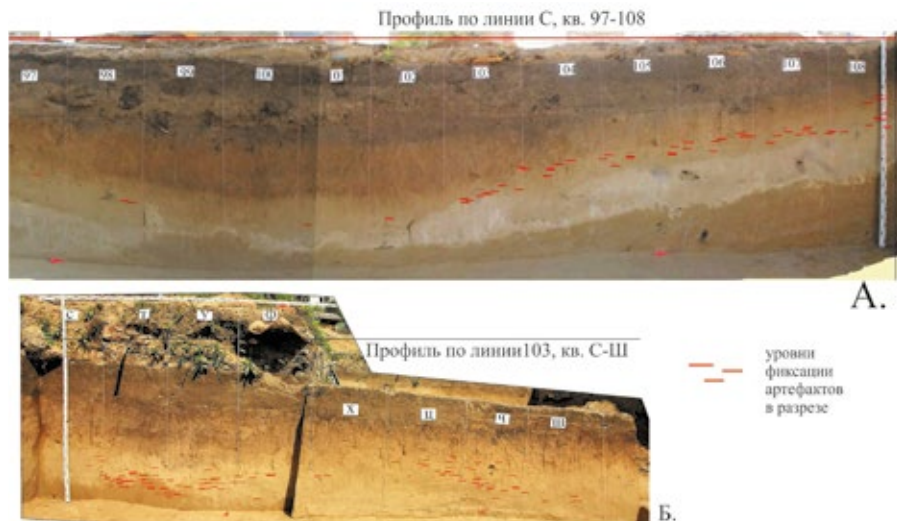


Рис. 5. Стоянка Крутая. Уровень находок культурного слоя 3: А. Профиль западной стенки; Б. Профиль промежуточного разреза вид с юга / Fig. 5. Krutaya site. Level of finds of the cultural layer 3: A. Profile of the western wall; B. Profile of the intermediate section view from the south.

Комплекс артефактов финала плейстоцен-голоцена, получивший обозначение основного *культурного слоя 3* (КС 3) стоянки Крутая, был выявлен на площади порядка 200 м² в пространстве трех раскопов №№ 3, 3.1, 3.2 (Рис.5). Наибольшая концентрация находок отмечается на низовых отметках микро-рельефа и были вытянуты вдоль тальвега лощины. Уровень залегания материалов находится на контакте ЛС III и ЛС IV. Глубина залегания культурных остатков от современной поверхности существенно варьировалась и зависела от особенностей палеорельефа. Наиболее показательный разрез отложений был получен по западной стенке раскопа (Табл.2, Рис. 4).

Скопление находок КС 3 образовывали вытянутый контур, сориентированный вкрест лощины с разрежением у верховых участков бортов и возрастанием концентрации материалов ближе к тальвегу. Изменения рельефа отслеживались по уровню залегания находок. Блоки ремонта каменных артефактов демонстрируют разброс артефактов в пределах от одного до 20 м с тенденцией смещения вниз по склону.

Коллекция изделий из камня КС 3 (2017 г.) насчитывает 1985 ед. Технику первичного расщепления характеризуют нуклеусы (16 экз.) и нуклевидные изделия (4 экз.), продукты дебитаж: чешуйки – 975 экз., отщепы – 398 экз. (первичные 86 экз.); сколы – 290 экз. (в т. ч., обушковые – 139 экз., первичные – 4 экз.). Пластинчатые снятия (159 экз.), в т.ч.: целые пластины 14 экз. (3 первичных); пластинчатые отщепы (7 экз.) и сколы (18 экз.); фрагменты пластин (120). Микропластинчатые снятия 48 экз., в т. ч.: 12 экз. целых и 29 фрагментов; 7 микропластинчатых сколов, в т. ч., переоформления нуклеусов.

Орудийный набор – 90 предметов. Основами для орудий служили: пластины (39); отщепы (18); сколы (21); уплощенной формы речные гальки. В числе орудий отщепы (10) и сколы (3) с ретушью.

Группа галечных орудий КС 3, за одним исключением (Рис. 6–4), типологически не выходит за рамки известных для палеолита р. Енисей типов изделий. Отбойники представлены как целыми гальками со следами забитости поверхности и негативами снятий, так и их фрагментами. В качестве отбойников выступали гальки уплощенной округлой формы среднего размера (до 10–12 см), а также, довольно крупные (длиной до 24 см) продолговатой формы, подтреугольные или трапециевидные в сечении. Серия обушковых сколов в массе представляет фрагменты отбойников.

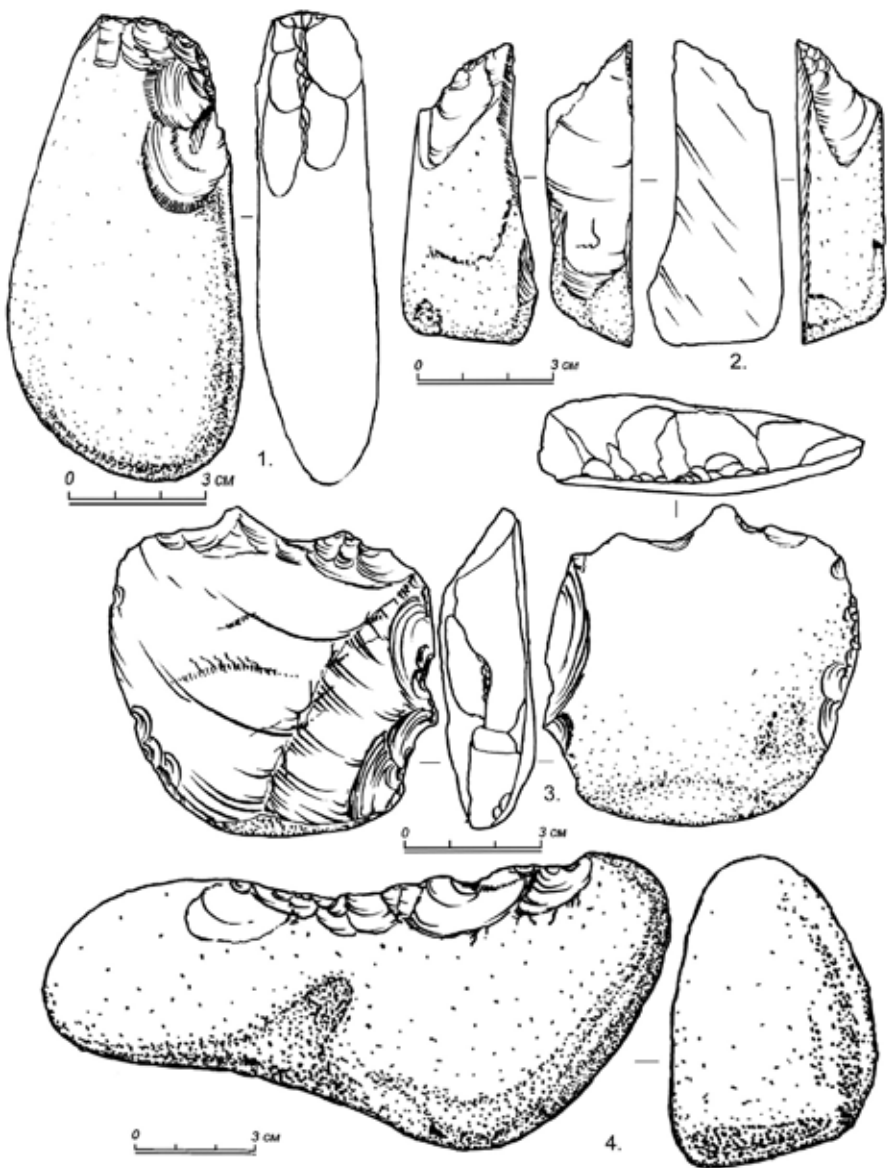


Рис. 6. Стоянка Крутая. Каменный инвентарь: 1–4 – галечные орудия; 2 – резцевидное орудие; 3 – комбинированное выемчатое орудие / Fig. 6. Krutaya site. Stone tools: 1–4 – pebble tools; 2 – incisor tool; 3 – combined notched tool.

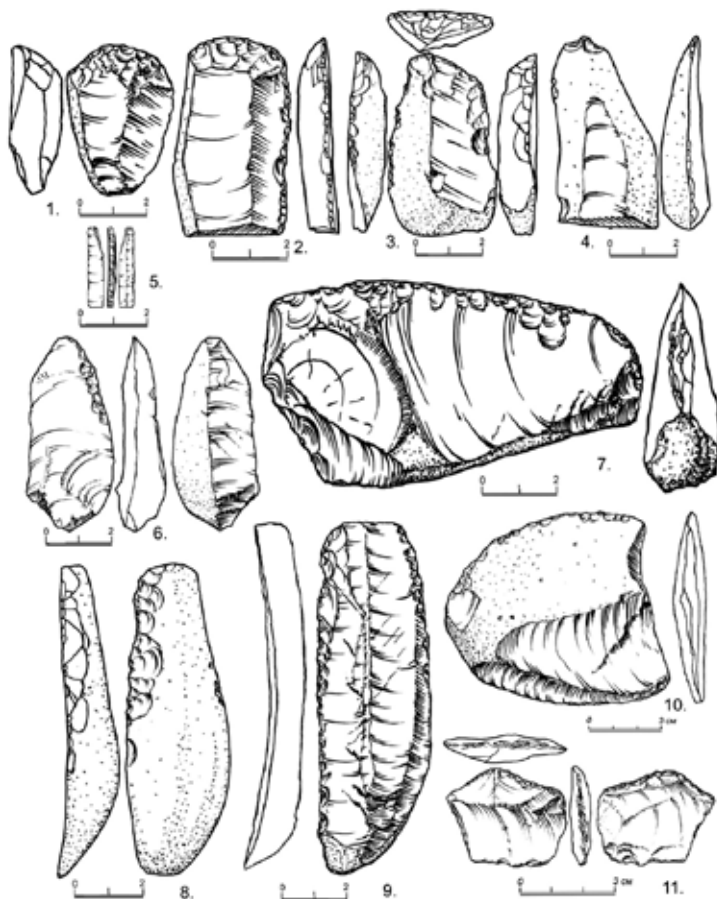


Рис. 7. Стоянка Крутая. Каменный инвентарь: 1-3 – скребки; 4 – проколка; 5 – микропластина с ретушью; 6 – отщеп с ретушью; 7, 10 – скребла; 8, 9 – пластины с ретушью; 11 – долотовидное орудие / Fig. 7. Krutaya Site. Stone tools: 1-3 – scrapers; 4 – piercing; 5 – retouched microplate; 6 – retouched flake; 7, 10 – scrapers; 8, 9 – retouched plates; 11 – chisel tool.

Предметы со вторичной обработкой. Скребки – 18 экз.: концевые (12), высокой формы (1), микроскребки (2), в фрагментах (3). Скребковые кромки оформлялись дорсальной ретушью: на отщепках (4), на сколах (5), на пластинах (6) (Рис. 7– 1–3). Скребла и скребловидные – 5 экз.: концевое (1) и продольные (2) (Рис. 7–10) оформлены на первичных сколах; продольное на пластинчатом сколе (Рис. 7–7); скребловидное орудие на первичном сколе (вишневый кремль). Три орудия представлены в обломках. Отдельно выделяется ком-

бинированное двойное выемчатое орудие на массивном первичном сколе (Рис. 7–3). На первичных сколах оформлены орудия по типу бокового резца (Рис. 6–2). Пластины и пластинчатые сколы с ретушью представлены целыми предметами (12) и фрагменты (20) (Рис. 7 – 8, 9) отличаются крупными размерами, в ряде случаев фиксируется утилитарное использование первичных пластинчатых снятий без предварительной обработки. Рабочие кромки с разнофасеточной нерегулярной ретушью. У трех изделий ретушью оформлены шиповидные острия.

Долотовидные орудия представлены 4-х и 5-угольными формами с противоположащими рабочими краями.

Пять предметов с тонкими кромками со следами утилитарного износа и мелкой эпизодической ретушью по маргиналам, были отнесены к категории ножевидных орудий (Рис. 7–6). Неправильной геометрической формы скол с ретушью и апплицированное из двух фрагментов первичное пластинчатое снятие с нерегулярной дорсальной ретушью по кромкам, противоположащим рабочим, также имели оформленные выемки (*encoches*).

Фаунистическая коллекция КС 3 из раскопов №№ 3.1, 3, 3.2 насчитывает 2553 экз., в т.ч. 182 экз. костей мелких грызунов из заполнения кротовин. Основная масса (88%) костного материала мелкие неопределимые осколки колотых трубчатых костей и костная труха (46%). 127 экз. (5%) – определимые кости. Предварительный анализ коллекции фауны, показал, доминирование в остатках костей северного оленя (около 90% определимых фрагментов).

На основе анализа ростовых слоев в цементе и дентине коренных зубов северного оленя был установлен сезон гибели: для двух особей – осенне-зимний, для шести – весенне-летний период [Артемьев, Разгильдеева, Прилепская, 2019].

Планиграфия. Планиграфический анализ КС 3 позволил выявить зоны хозяйственной активности и участки с рассеянными и единичными находками. Одна из зон концентрации артефактов и скопление фаунистических остатков (в том числе кости конечностей парнокопытных в анатомическом порядке) на памятнике занимала площадь около 12 м². Состав инвентаря свидетельствует о ситуационной обработке камня, направленной на восполнение орудийного набора с утилизацией как принесенных готовых форм нуклеусов, так и местного галечного сырья (реки Енисей, Кача).

В целом облик индустрии КС 3 имеет пластинчатый характер – процесс первичного расщепления был направлен на получение потенциальных орудийных

основ – крупных пластин и сколов. При возможной принадлежности памятника к кокоревской культурной традиции [Абрамова, 1979 б] отметим, что своеобразие каменной индустрии стоянки Крутая определяется сравнительно крупными размерами скальваемых пластин, наличием представительной коллекции галечных орудий, значительной долей использования технологии микропластин.

Анализ материалов КС 3 Стоянки Крутая показал неоднократность посещения древними людьми данной территории в различные периоды сезонной охоты с организацией кратковременных охотничьих лагерей. При доминировании в числе объектов добычи северного оленя, отдельные экземпляры костей песка, марала, первобытного бизона и парнокопытных дополняют картину о промысловом составе фауны (определение видового состава выполнено И.А. Орешниковым, А.М. Клементьевым).

Отмеченные в ходе расчистки культурных напластований углистые пятна и вкрапления углей косвенно указывали на использование огня, но зафиксировать достоверные остатки очагов или кострищ в процессе раскопок не удалось.

Вопросы хронологических определений КС 2 и КС 3 на Стоянке Крутая являются делом ближайшей перспективы. Полученные к настоящему времени $14C$ – даты ($14\ 350 \pm 170$ л. н. и 8810 ± 180 л. н.) условно охватывают хронологический интервал финал неоплейстоцена – начало голоцена. Это не противоречит общим геохронологическим построениям. Так же, представляется весьма перспективным дальнейший технолого-геоморфологический анализ представленных индустриальных комплексов.

В заключении авторы статьи считают необходимым выразить благодарности за умелую организацию и ведение полевых работ сотрудниками многочисленной Волочаевской археологической экспедиции (начальник Д.Н. Лысенко, заместитель Е.А. Филатов), всем, обеспечившим методически квалифицированную съёмку полевых материалов (руководители отрядов Ю.А. Гревцов, А.В. Барков, Е.А. Филатов, геодезистам В.И. Куницкому, А.С. Ефимову, Б.А. Сечину, М.В. Марунину), а также специалистам, оперативно выполнившим первичную камеральную обработку коллекций (под руководством И.В. Стасюка, Е.Н. Кукса). Рисунки каменных артефактов выполнены Е.В. Артемьевым. Радиоуглеродные даты были получены Н.Е. Зарецкой (Лаборатория геохимии изотопов и геохронологии, ГИН РАН), Ф.Е. Максимовым и А.Ю. Петровым (Лаборатории Геоморфологические и палеогеографические исследования полярных регионов и Мирового океана, СПбГУ).

**М.Н. Мещерин¹, В.В. Славинский², А.М. Клементьев³,
М.Ю. Опекунова⁴, В.А. Голубцов⁴, А.В. Барков⁵, Е.А. Филатов⁵**

¹АНО «Археологические исследования Сибири», Красноярск

²ИАЭТ СО РАН, Новосибирск

³Институт Земной коры СО РАН, Иркутск

⁴Институт географии им. В.Б. Сочавы СО РАН, Иркутск

⁵ООО НПО «Археологическое проектирование и изыскания», Красноярск

АФОНТОВА ГОРА II – СКЛОН – НОВОЕ ПОДРАЗДЕЛЕНИЕ В АФОНТОВСКОЙ ГРУППЕ ПАМЯТНИКОВ

**M.N. Meshcherin¹, V.V. Slavinskij², A.M. Klementev³,
M.YU. Opekunova⁴, V.A. Golubcov⁴, A.V. Barkov⁵, E.A. Filatov⁵**

¹“Archaeological Research of Siberia”, Krasnoyarsk

²Institute of Archaeology and Ethnography SB RAS, Novosibirsk

³Institute of the Earth’s Crust SB RAS, Irkutsk

⁴V.B. Sochava Institute of Geography SB RAS, Irkutsk

⁵“Archeological Engineering and Research”, Krasnoyarsk

AFONTOVA GORA II – HILLSIDE – NEW ARCHAEOLOGICAL SITE IN AFONTOVO’S GROUP OF SITES

В августе-октябре 2016 г. в рамках государственного контракта по обеспечению сохранности объекта археологического наследия Афонтова Гора II при строительстве автодороги и примыкающих развязок к новому мосту через Енисей производилось изучение склона, оконтуривающего стоянку с севера – северо-востока, расположенного на явной периферии стоянки. Изначально участок воспринимался как минимально перспективный для археологического поиска. Результаты предварительной разведки и необходимость проведения наблюдений за земляными работами в ходе строительства позволили переоценить существующую ситуацию.

Общие сведения. Афонтова Гора II – наиболее известный памятник в группе Афонтовских стоянок. Он же имеет наиболее обширную разведанную площадь. Из работ предшественников следует, что памятник насчитывает несколько культурных слоёв, которые залегают в отложениях низких надпой-

Горы II следует признать работы, проводимые Е.В. Артемьевым и Н.И. Дроздовым в 1997–2011 гг. Восточный сектор стоянки, разведывался и раскапывался в 2011 – 2014 годах совместно археологическими отрядами ИАЭТ СО РАН и ООО «Красноярская Геоархеология», в связи со строительством моста через Енисей и перепланированием прилегающей территории города.

В современном понимании Афонтова Гора II представляет собой серию не единовременных, но, очевидно, близких по хозяйственному укладу и хронологии стоянок позднепалеолитических охотников, которые осваивали данную территорию. Всего на памятнике выделялось от 5 до 10 уровней залегающих культурных слоёв в хронологическом интервале 11–16 т.л.н. и до 20 т.л.н. [Ауэрбах, Сосновский, 1932; Цейтлин, 1969; Дроздов и др., 2003; Артемьев 2005; Дроздов, Артемьев, 2007; Астахов, 1999, Славинский и др., 2014; Деревянко и др., 2017]. На различных участках памятника археологический материал фиксируется пятнами. Инвентарь характеризуется базовыми категориями афонтовской археологической культуры [Дроздов, Артемьев, 1997, 2007; Абрамова, 1979 а; Томилова, Стасюк, 1994; Томилова, 1996; Артемьев, Дроздов, 2001, 2002, 2003, 2004, 2005;].

Геологические основания. Участок, названный *Афонтова Гора II–склон*, открытый в ходе «новостроечных» работ 2014–16 гг., занимает территорию склона значительной крутизны, обрамляющего нижний террасовый комплекс енисейского левобережья с севера – северо-запада [Славинский и др., 2016; Мещерин и др., 2018]. Разведочными шурфами в периферийной зоне «классической» Афонтовой Горы II, у тыловых швов террасового комплекса были затронуты склоновые отложения, содержащие артефакты. Данные работы открыли перспективы поиска и исследования культурного слоя на относительно крутых в современном состоянии участках склона, казалось бы, не предназначенного для обитания сильно наклонных поверхностей. Раскопы 2016 года расположились на склоне, на уровне третьей надпойменной террасы р. Енисей и несколько выше её в интервалах высот 25–50 м над уровнем реки.

Исследованная зона памятника связана с эрозионно-денудационной формой рельефа на северном склоне. Раскопы занимают позицию на поверхности (Рис. 2), круто наклонной в долину (угол падения от 200 до 40–450), с погребёнными мелкими (до 1 м) несистематично расположенными террасовидными нишами/ступенями выполаживания. Современная поверхность преимущественно задернована, местами покрыта кустарниковой раститель-



Рис. 2. Афонтова Гора II – склон. Расположение раскопов. / Fig. 2 a. Afontova Gora II – Hillside. The location of the excavations.



Рис. 3. Склон, представляющий северо-восточную периферию стоянки Афонтова Гора II. / Fig. 2 b. Hillside, representing the north-eastern periphery of the Afontova Gora II site.

ностью. Представляется, что существующий нагорный край местами искусственно сформирован за счёт многократных попыток эскарпирования склона в низовой и срединной частях в связи с городским освоением территории. Раскапываемая площадка приходится на верховой участок пролювиально-де-

лювиального шлейфа, «зачехляющего» южный склон горы. Выше по склону пятнами обнажаются коренные выходы красноватых девонских песчаников (Рис. 3).

Культуровмещающие отложения связаны с погребённой палеоложбиной, вытянутой вдоль склона (перпендикулярно енисейской долине) на 120 метров. В поперечнике ложбина максимально достигает 60 метров. Относительное превышение склона над Енисеем составило 25–50 метров. Его подошва совпадает с высотными отметками третьей надпойменной террасы, что может свидетельствовать о сравнительно общем базисе эрозии данных сопряжённых форм рельефа. Толща рыхлых отложений, заполняющих палеоложбину, в ходе раскопок местами была пройдена полностью до подстилаемых красноватых девонских песчаников на глубину до 8 м. По тальвегу ложбины в центральной части прослеживается русло зарастающего оврага вертикального развития. В этой части толща имеет наибольшую мощность и залегает в ситуации относительного равновесия склоновых процессов. Как следствие, именно на данном участке регистрируется максимальное присутствие археологического материала.

Наиболее показательным явился стратиграфический разрез на участке 3.2 (Рис. 4, 5). Описание дано по субфронтальному, западному профилю стенки высотой 3,5 м (Таблица 1). Следует подчеркнуть, что при значительной крутизне склона мощность слоёв по падению сильно различается.

Таблица 1.

ЛС	КС	Описание
		Отложения современной чернозёмной почвы, расслоенные веерами местных выносов осветлённого супесчано-суглинистого осадка.
	1	Слой лёссовидных палево-серых супесей неясно слоистых со сплошной карбонатной пропиткой. Верхняя граница постепенная с гумусовыми затёками, пронизана средними и мелкими землероями. Подошва более или менее выражена по резкой смене наклона слоистых текстур тех же супесей на контакте с подстилающим слоем. Из подошвы этого слоя прослеживаются вертикальные трещины по 50–70 см длиной при ширине 2–3 см.
III а	2	Слой лёссовидных наклонно слоистых супесей буровато-коричневого цвета. Слоистость параллельная, несистематичная. Слойки включают параллельно залегающие линзы мощностью 1–6 см, сложенные гравием, дресвой и разнозернистыми песками. Слойки подчёркиваются включениями мелкозернистых железистых конкреций (до 0,5 см) и тонкими прослойками ортзандов.
III б		Слой тех же мелкослойчатых серых супесей с песчанно-гравийными включениями преимущественно серовато-жёлтого цвета.
IV		Зона дезинтеграции скалы, сложенная плитчатым угловатым неокатанным материалом песчаников.



Рис. 4. Афонтова гора II – склон. 2016 г., участок 3.2, стратиграфический разрез северной стенки. / Fig. 4. Afontova Gora II – Hillside. 2016, section 3.2, stratigraphic profile of the northern wall.

Выполненный разрез характеризует отложения преимущественно пролювиально-делювиального генезиса. Слои I–II представляют собой нерасчленённый парагенез элювиально-делювиально-эоловых образований, стабилизированных процессами почвообразования, скорее всего, в голоцене. Литологические слои III а и III б – пролювиально-делювиальные наносы, характеризующиеся местными веерами плоскостного и мелкоструйного смыва. Вертикальные трещинные текстуры, прослеживающиеся на контакте ЛС II и III, частично могут относиться к малоамплитудным тектоническим деформациям сбросовой кинематики, в самой верхней части оползневой пластины [Зольников и др., 2017], в фазе стабилизации нормальных склоновых процессов. Но среди прочих имеются трещины явно криогенной природы. Их протяжённость составляет 0,7–1,40 м. Ширина в устье может достигать до 3–5 см. Они имеют пяти-шестигранную полигональную сетку с шагом до 1 м. Клинья параллельно наклонены в сторону направления склона. Расклиненные ледяными жилами участки имеют отличительные диагностические признаки в виде «разогнутых» слойков и «смятостей» на периферии клина. По аналогии со стратиграфическими ситуациями, фиксируемыми на Афонтовой Горе II, горизонт данных текстур возможно соотнести с позднесартанскими событиями. Соответственно, гумусовые включения литологического слоя III логично коррелировать с событиями каргинского термохрона или ранних сартанских интерстадий.

Материалы культурных горизонтов. Культурные остатки залегают в отложениях пролювиально-делювиальных генетических фаций локальными эпизодами. Позиция верхнего культурного слоя определена в подошве литологического слоя II и соотносится по совокупному набору признаков со слоями Афонтовой Горы II «классической».

Основная масса артефактов обнаружена в литологическом слое III а. Скопления находок локализовано небольшими площадками выположенного рельефа. Наличие данных локаций связывается со временными фазами стабилизации эрозионно-аккумулятивных процессов. Неожиданным обстоятельством представилось наличие целостных хозяйственно-бытовых структур в слое в условиях столь крутого склона залегания (Рис. 6, 7, 9, 10). Обнаружены зоны активности, включающие в себя расчленённые фаунистические остатки промысловой фауны, ломанную и обожженную кость. Подобные скопления могут определяться как места разделки животных. Наблюдаются определённые структурные особенности орудийного набора. В качестве сырья для каменного производства использовался преимущественно однородный материал – кремьень серо-коричневых оттенков.

Рассмотрим одну из ситуаций – объект №1, расположенный в северо-западном углу раскопа 1.4 в слое III а (Рис. 9 а). Глубина от современной поверхности составляет около 2,5 м. Выявленное скопление группируется на субгоризонтальной поверхности (угол падения 5–70 согласно склону) и занимает площадь до 2 м². Скопление маркируются линзами костно-углистой крошки, крупными фрагментами колотой кости и каменными артефактами (Рис. 9 б). Среди артефактов выделяются серия скрёбел («стругов») однотипных по оформлению (Рис. 11–1; 12–6), сработанный нуклеус, острие на отщепе (Рис. 11–2) и отщепы. Интересен к специальному рассмотрению фрагмент однолезвийного пазового орудия из рога (Рис. 14). Паз шириной до 3–4 мм имеет незначительное углубление до 2–3 мм в виде полукруглого жёлоба. Выполнен на одном из конвергентно расположенных краёв удлинённой (около 110 мм) роговой основы. Стрельчатая в целом форма изделия завершается поперечным закруглённо-зауженным концом.

Вертикальные углы залегания находок укладываются в интервале от 5 до 30 градусов, что свидетельствует об относительно спокойных условиях залегания артефактов в слое.

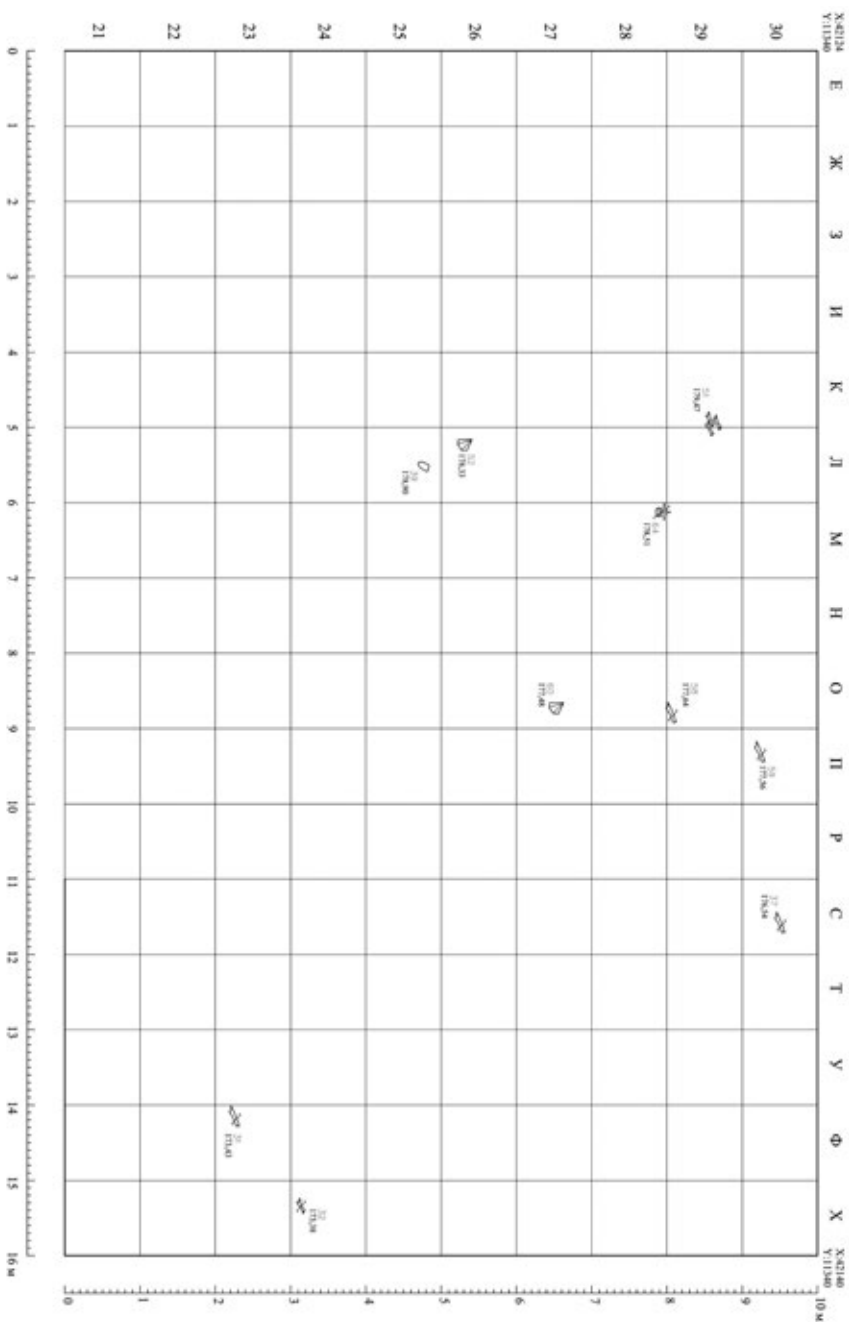


Рис. 6. Афонтова Гора II – склон. ЛС III а. Планиграфия находок / Fig. 6. Afontova Gora II – Hillside. Lithological Layer IIIa. Planigraphy of artefacts.

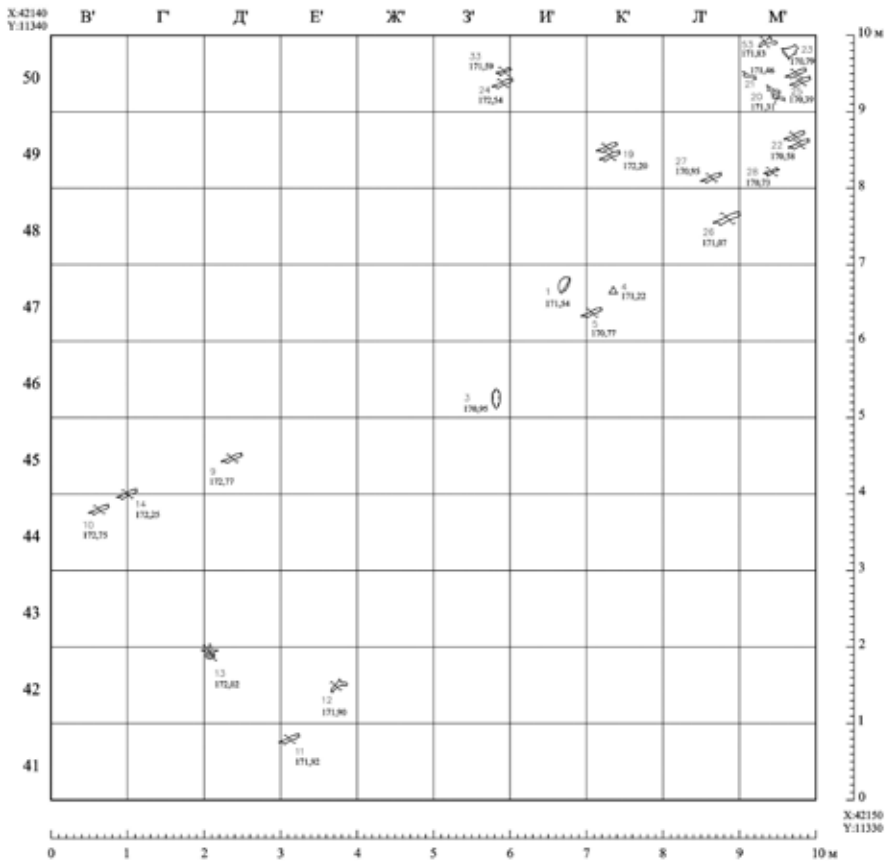


Рис. 7. Афонтова Гора II – склон. ЛС IIIa. Планиграфия находок. / Fig. 7. Afontova Gora II – Hillside. Litological Layer IIIa. Planigraphy of artefacts.

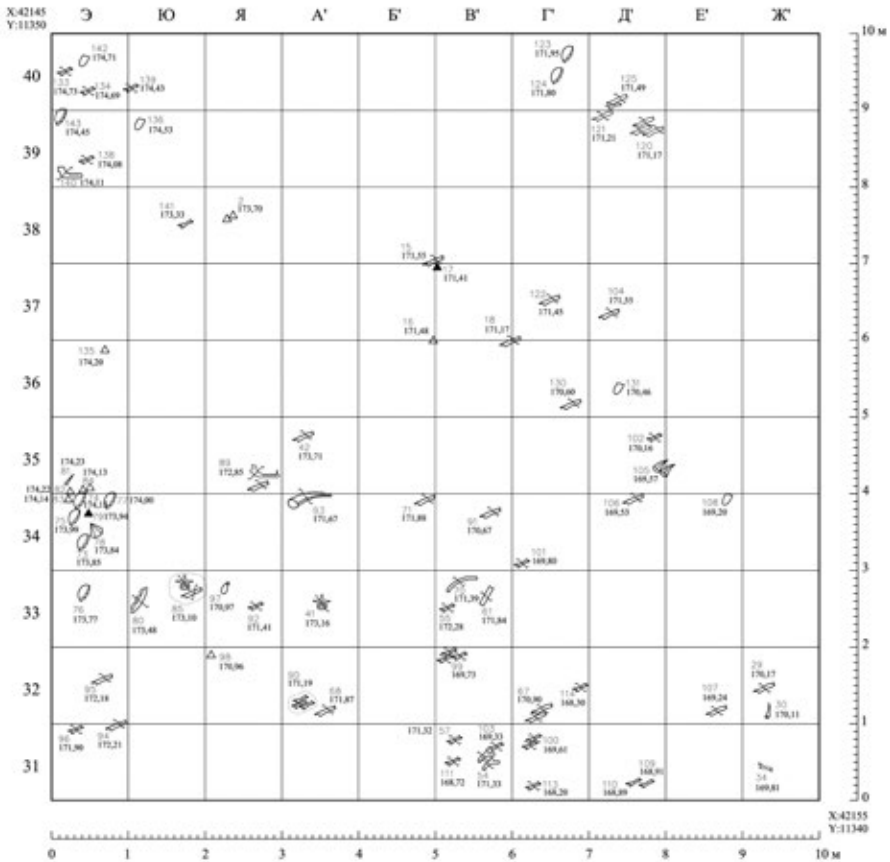


Рис. 9 а. Афонтова Гора II – склон. ЛС III а. Планиграфия находок. / Fig. 9 а. Afontova Gora II – Hillside. Litological Layer III a. Planigraphy of artifacts.



Рис. 9 б. Афонтова Гора II – склон. Фрагмент слоя. / Fig. 9 b. Afontova Gora II – Hillside. The fragment of the cultural layer.



Рис. 10. Афонтова Гора II – склон. Фрагмент слоя. Ископаемые кости первобытного бизона в анатомическом сочленении. / Fig. 10. Afontova Gora II – Hillside. The fragment of the cultural layer. Fossil bones of *Bison priscus* in anatomical articulation.

Таблица 2. Радиоуглеродное датирование.

Лаб. номер	Описание	Радиоуглеродный возраст, лет	Калиброванный возраст (календарный), лет*	Кол-во измеряемого образца
ЛУ-8519	Раскоп 3.1.2. Подошва слоя III а. Фрагмент верхнего суставного отдела ребра мамонта	≥ 36 950	≥ 41 550	Очень мало образца
ЛУ-8520	Раскоп 3.1.1. Подошва слоя III а. Фрагмент большой берцовой кости бизона	37 920± 2300	42 980± 2400	–
ЛУ-8521	Раскоп 3.1.1. Подошва слоя III а. Фрагмент большой берцовой кости мамонта	≥ 48 740	≥ 52 730**	–
ЛУ-8522	Раскоп 3.1.2. Подошва слоя III а. Плечевая кость мамонта	≥ 32 490	≥ 36 360	Очень мало образца
ЛУ-8523	Раскоп 3.1.1. Подошва слоя III а. Левая пяточная кость шерстистого носорога	≥ 39 330	≥ 43 050	–
ЛУ-8524	Раскоп 3.1.1. Подошва слоя III а. Кость копытного животного	≥ 34 820	≥ 39 340	Очень мало образца

ЛУ–8533	Раскоп 3.1.3. Слой III, средняя каргинская прослойка. Глубина 7,1–7,2 м.	27 860±1040	32 210±1050	–
---------	--	-------------	-------------	---

*значения календарного возраста приведены на основании калибровочной программы «OxCal 4.2» (калибровочная кривая «IntCal 13») (<https://c14.arch.ox.ac.uk>).

**значения календарного возраста проведены на основании калибровочной программы «CalPal2007_HULU» (<http://www.calpal.de>).

Фаунистическая коллекция. Распределение палеонтологического материала по уровням залегания крайне неравномерно. Наибольшее количество остатков найдено в ЛС III а, в слоях II, III и IV кости очень малочисленны и плохо определимы. В ЛС II наибольшую долю занимают остатки северного оленя, кости пещца, лошади, кулана, благородного оленя. Отдельные характеристики костей позволяют дать частные характеристики локусов. Например, летний сезон добычи можно установить по остаткам конечности молодой особи марала. В III слое определены мамонт, лошадь, кулан, шерстистый носорог, марал, северный олень и сайга. Остатки северного оленя доминируют в сборах. Присутствие мамонта, кулана, сайги сближает этот уровень с уровнем 3.1 (третьим слоем) Афонтовой Горы–2 в пределах II террасы Енисея [Клементьев, Орешников, 2017]. В ЛС IV единично представлен северный олень.

Наиболее насыщен материалом литологический слой III а. Кости копытных (носорога, лошади, северного оленя, барана) несут следы разделки. Анализ обнаруженных фаунистических останков показал, что ископаемый остеологический материал, в большинстве случаев, имеет высокую степень идентификации. Состав видов позволяет говорить о высоком разнообразии фаунистического сообщества (табл. 3). На костях имеются немногочисленные погрызы хищников и грызунов. Искусственно сформированные «костища» являются важным тафономическим признаком для определения локальных комплексов.

Первой особенностью остеологической коллекции является присутствие крупных и мелких видов мясной добычи из разных экологических ниш. Заячьи остатки имеют сохранившиеся элементы тушек, что не характерно для логовищ крупных хищников, так или иначе уничтожающих остатки в голодный период. Имеющиеся наблюдения за подобной сохранностью тушек зайцев на Янской стоянке интерпретируются как добыча зайцев ради шкурок [Питулько и др., 2012].

Второй особенностью является избирательность сохранности элементов посткраниального скелета. Основную массу остатков тяжеловесных видов составляют посткраниальные элементы скелета. Очень много также анатомических сочленений, интерпретируемых, как правило, в качестве костных отбросов первичной разделки туш охотниками. От сайги и дзерена сохранились в основном черепные остатки с роговыми стержнями и, в меньшей мере, дистальные части ног. Наличие полных костей (баран, козел, заяц) свидетельствует о хорошей обеспеченности пищей.

Третья характеристика – это наличие полных эпифизов костей, свидетельствует о разбивании диафизарных частей. В условиях постоянного присутствия хищников страдают от погрызов в первую очередь эпифизы костей в суставах, которые хищники предпочитают в первую очередь. Это сразу отражается на составе определимых остатков.

Избирательная локализация в отдельных пунктах также является искусственным фактором. Немаловажным моментом является наличие остатков молодых особей промысловых видов – двух мамонтов, двух детёнышей носорога, телят марала, северного оленя и бизона. В целом встречены остатки 21 вида, среди которых хищники, заяц, марал, бык, кулан, козел и дзерен представлены единичными остатками. Доминирующим видом является мамонт. Из копытных типичными видами являются лошадь, шерстистый носорог, северный олень, бизон и сайга. Большинство этих видов отмечены как промысловые в позднем плейстоцене долины реки Енисея [Палеолит Енисея, 1991]. Среди немногочисленных находок других копытных, наиболее интересными являются кулан, первобытный бык и дзерен. От зайцев сохранились передние и задние лапки, тазо-бедренные отделы (раскоп 4.1), которые принадлежали взрослым особям, что характерно для холодного периода года. Отмечен случай анатомической последовательности (запястье мамонта) когда кости были погрызены грызунами еще в состоянии целостности сустава, при наличии связочного аппарата. Находки каменного инвентаря, наличие свидетельств промыслового набора, признаки искусственного препарирования животных – всё это в совокупности свидетельствует о наличии определённой поведенческой стратегии обитателей данных производственных участков.

Таблица 3. Сводная таблица палеонтологического материала Афонтовой Горы – 2 Склон (2016–2017 гг.)

Таксон	Слои				Всего
	II	III	III A	IV	
Mammuthus primigenius (мамонт)		1	56		57
Lepus tanaiticus (заяц)			15		15
Spermophilus sp. (суслик)	1		1		2
Canis lupus (волк)			2		2
Canis sp. (псовое)			2		2
Vulpes vulpes (лисица)			1		1
Alopex lagopus (песец)	1		1		2
Panthera spelaea (пещерный лев)			2		2
Ursus arctos (бурый медведь)			3		3
Equus ferus (ископаемая лошадь)	1	1	18		20
Equus hemionus (кулан)	2	1	1		4
Coelodonta antiquitatis (шерстистый носорог)		1	28		29
Cervus elaphus (благородный олень)	4	1	3		8
Rangifer tarandus (северный олень)	13	8	53	1	75
Cervidae gen. (олени неясного вида)	1	1	1		3
Bison priscus (первобытный бизон)			26		26
Bos primigenius (бык)			1		1
Ovis ammon (горный баран)			7		7
Capra sibirica (сибирский горный козел)			1		1
Procapra gutturosa (дзерен)			2		2
Saiga borealis (сайга)		1	4		5
Caprinae (козлообразные)		1		1	2
Крупное копытное	13	1	111		125
Неопределимые	6	2	46	1	55
Всего	41	19	405	3	468

Артефакты. Состав коллекции артефактов пока выглядит недостаточно представительным. Общая численность каменных изделий – 42 экземпляра. Двенадцать предметов было обнаружено в ЛС II и в позднейших отложениях заполнения оврага. В ЛС III обнаружено 30 изделий. В силу низкой серийности, однозначная культурно- хронологическая атрибуция обнаруженного материала затруднительна. Позиция верхнего культурного слоя определяется подошвой литологического слоя II и в принципе, может соотносится со стратиграфической позицией Афонтовой Горы II «классической». Среди находок отмечено остриё (Рис. 15–2) и серия орудий из галек (чопперы, заготовки и опробованные желваки, отбойники и их обломки) – всего 9 экземпляров.

Инвентарь культуровмещающего литологического слоя IIIa имеет ряд выразительных особенностей. Обращает на себя внимание сравнительно гомогенное сырьё, используемое в каменном производстве. Присутствие заготовок в форме гальки окремнелых пород в условиях коллювиального свала девонских песчаников на склоне не естественно и с большой долей вероятности указывает на некие событийные обстоятельства, связанные с первобытными обитателями данной территории.

Орудийный набор коллекции представлен инструментами из галек – «стругами» (Рис. 12–2; 13–3). В качестве заготовок для скрёбел использовались крупные плоские отщепы и плоские сколы пластинчатых пропорций – заготовки для производства орудий. В числе готовых орудий – скрёбла (Рис. 11–1, 3, 13–1,2; 12–1, 3, 5, 6), ножи (?), остоконечник (Рис. 11–2). Диагностичных форм среди нуклевидных изделий (3 экз.) не выявлено. Косвенно о них можно судить по крупным плоским асимметричным отщепам с широкими гладкими и фасетированными ударными площадками, которые применялись в качестве заготовок скрёбел и ножей (?). Инвентарный набор изделий свидетельствует о раскрытии в пределах раскопа функционально специализированных площадок палеолитического населения.

Технико-типологический облик индустрии, обнаруженной в ЛС III, существенно отличается от типичного набора признаков памятников афонтовской культуры [Абрамова, 1979 а], датируемой в интервале 16–12 тыс. лет назад. В совокупности со стратиграфической позицией и данными радиоуглеродного датирования, комплекс Афонтовой Горы II – склон следует выделять в ранге самостоятельного пункта, существенно отличающегося от основательно изученных памятников конца верхнего (сартанского) палеолита региона.



Рис. 11. Афонтова Гора II – склон, 2016 г. Фото артефактов. 1 – скребло (сл. 3 а); 2 – острие (сл. 3 а); 3 – скребло (слой 3а). / Fig. 11. Afontova Gora II – Hillside, 2016. Photo of artefacts. 1 – scraper (layer 3 a); 2 – point (layer 3a); 3 – scraper (layer 3 a).

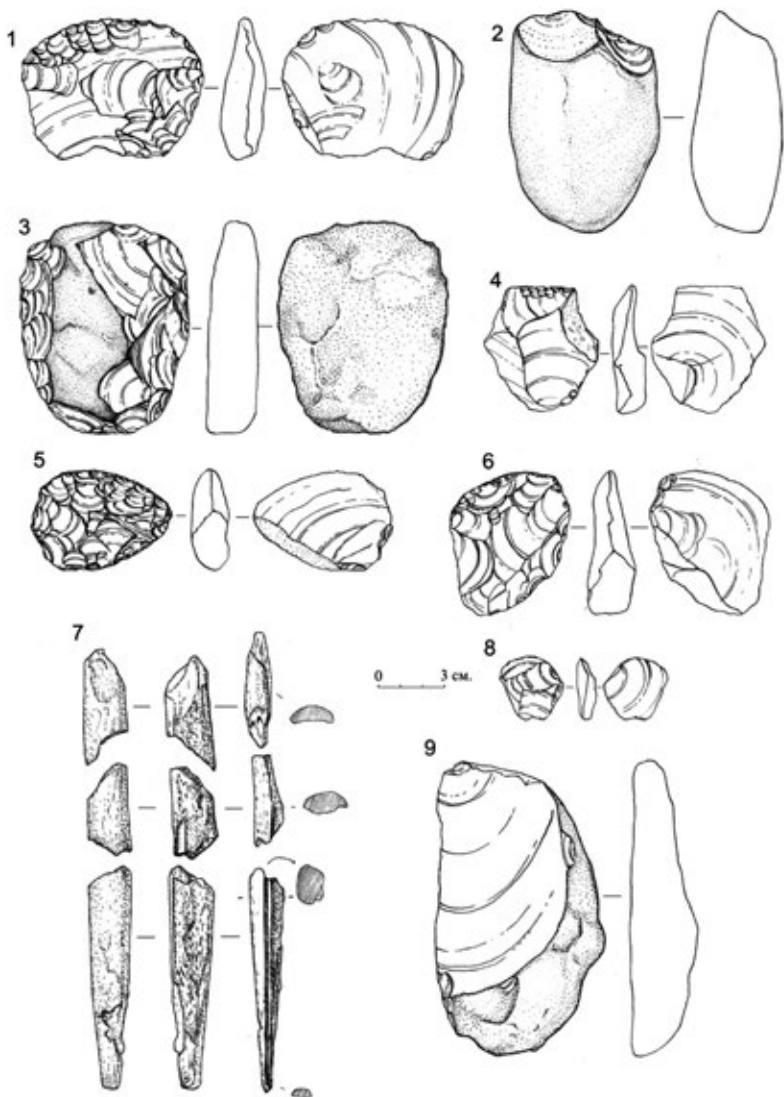


Рис. 12. Афонтова Гора II – склон, 2016 г. Рисунки артефактов. 1 – скребло (79, сл. 3 а); 2 – галечное орудие (струг) (№3, сл. 3 а); 3 – скребло (№76, сл. 3 а); 4 – отщеп с ретушью (№78, сл. 3 а); 5 – скребло (№124, сл. 3 а); 6 – скребло (№74, сл. 3 а); 7 – фрагменты пазового орудия (№80, сл. 3 а); 8 – отщеп (№82, сл. 3 а); 9 – скребло (№75, сл. 3 а). / Fig. 12. Afontova Gora II – Hillside, 2016. Drawings of artifacts. 1 – a scraper (№79, 3 a); 2 – a pebble tool (pebbles) (№3, sl. 3a); 3 – a scraper (№76, sl. 3a); 4 – scraper with retouching (No. 78, sl. 3 a); 5 – scraper (No. 124, sl. 3 a); 6 – scraper (No. 74, sl. 3 a); 7 – fragments of slot gun (No. 80, sl. 3 a); 8 – scraper (No. 82, sl. 3 a); 9 – scraper (No. 75, sl. 3 a).

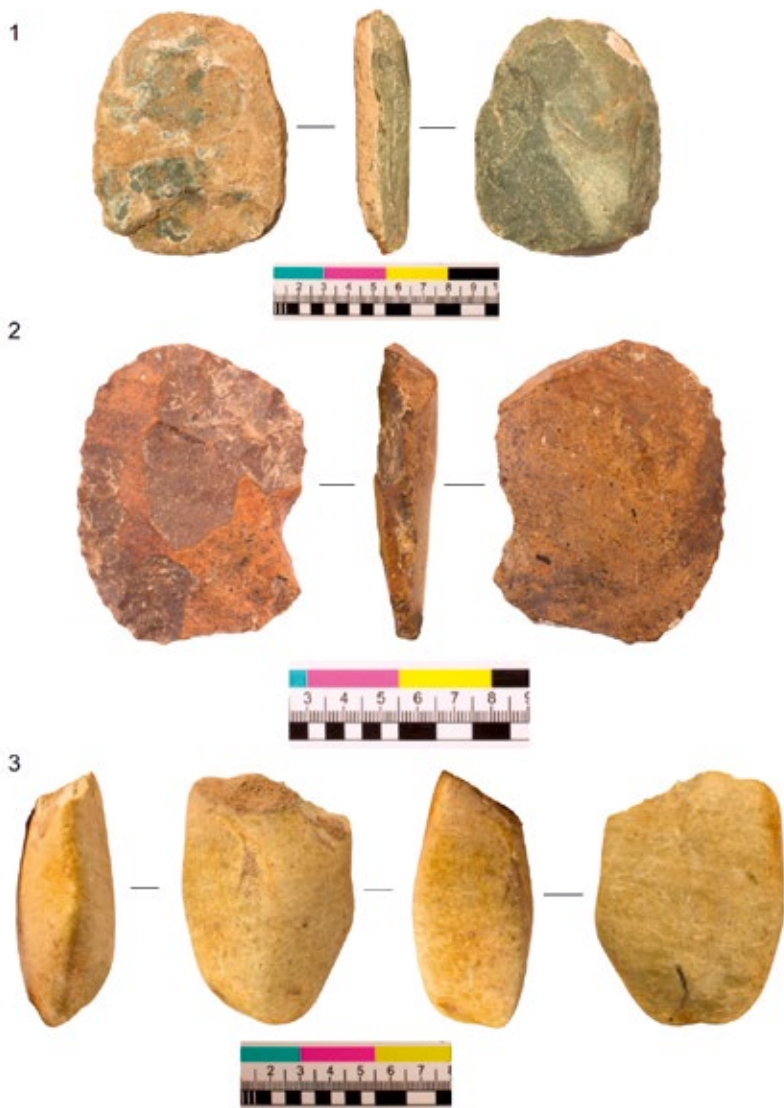


Рис. 13. Афонтова гора II – склон, 2016 г. Фото артефактов. 1 – скребло (№76, сл. 3 а); 2 – скребло (№79, сл. 3 а); 3 – галечное орудие (струг) (№3, сл. 3). / Fig. 13. Afontova Gora II – Hillside, 2016. Photo of artifacts. 1 – a scraper (№76, 3a); 2 – a scraper (№79, 3a); 3 – a pebble tool (chips) (№3, 3).



Рис. 14. Афонтова гора II – склон, 2016 г. Фрагмент пазового орудия (сл. 3 а) / Fig. 14. Afontova Gora II – Hillside, 2016. Fragment of slot gun (layer III a).

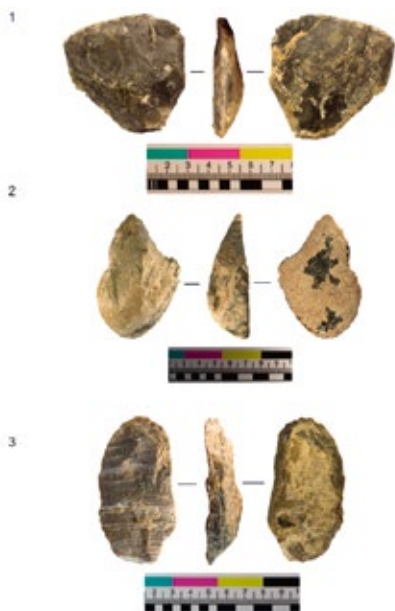


Рис. 15. Афонтова Гора II – склон 2016 г. Фото артефактов: 1 – скребло (сл. 3 а); 2 – острие (сл. 2); 3 – скребло (слой 3 а). Fig. 15. Afontova Gora II – Hillside 2016. Photo of artifacts. 1 – a scraper (layer III a); 2 – spearhead (layer 2); 3 – a scraper (layer III a).

Авторы выражают благодарность Ф.Е. Максиму и А.Ю. Петрову (Лаборатория Геоморфологические и палеогеографические исследования полярных регионов и Мирового океана, СПбГУ) за проведённые радиоуглеродные анализы.

М.Н. Мещерин¹, А.М. Клементьев², Л.Л. Галухин³

¹АНО «Археологические исследования Сибири», Красноярск

²Институт Земной коры СО РАН, Иркутск

³ООО «Красноярская Геoархеология», Красноярск

РАЗВЕДКИ ПАЛЕОЛИТИЧЕСКИХ СТОЯНОК НА ЕНИСЕЙСКОМ ПРАВОБЕРЕЖЬЕ (вблизи местечка Базаиха, г. Красноярск)

M.N. Meshcherin¹, A.M. Klementev², L.L. Galukhin³

¹“Archaeological Research of Siberia”, Krasnoyarsk

²Institute of the Earth’s Crust SB RAS, Irkutsk

³“Krasnoyarsk Geoarchaeology” Ltd, Krasnoyarsk

EXPLORATION OF PALEOLITHIC SITES ON THE RIGHT BANK OF YENISEI RIEVER (near Bazaikha, Krasnoyarsk)

В окрестностях Красноярска фиксируется большое количество археологических памятников, которые различаются по значимости и степени информативности. Особое авторитетное место среди прочих, безусловно, занимает Афонтова гора, с локальными участками проявления палеолитических стоянок [Астахов, 1999]. В итоге многолетних плодотворных работ афонтовские памятники основательно занимают место в анналах евроазиатского палеолитоведения где представляют объёмную информацию о материальной и духовной культуре древнего населения, сопровождаемую палеoантропологическими останками, палеонтологическими данными и сопутствующими результатами целого комплекса естественно-научных изысканий. Систематически разрабатывается морфолого-технологическая атрибуция всех имеющихся археологических коллекций [Громов, 1948; F. Bordes, 1968; Палеолит СССР, 1984; Палеолитоведение..., 1994; Четырехязычный (русско-англо-франко-немецкий)..., 2007].

Среди афонтовских памятников исследовательские приоритеты распределялись не равномерно. На ряде объектов, таких как, Афонтова Гора III (1914 г., 1925–26 гг.), Афонтова Гора II (1914 г.; 1923–25 гг.); Афонтова Гора V (1992–2020 гг.) и вновь открытая стоянка Крутая (2014–2017) велись систе-

матические площадные работы [Ауэрбах, 1930, Артемьев, 2005, с. 32–44; Деревянко и др., 2017, Артемьев и др., 2019, с. 34–54]. Остальные пункты рассматривались «факультативно», на них производились поверхностные сборы, расчистки, наблюдения в техногенных выемках.

Правобережье Енисея в городской черте до недавнего времени оставалось практически «немым» в отношении обнаружения палеолита. Отдельные участки на правом берегу, в частности, в устье р. Базаиха, подвергались неоднократным обследованиям, начиная с 1884 года и сборам археологических материалов поздних эпох на выдувах [Savenkov, 1894, p. 11–14]. Лишь Переселенческий пункт, раскопанный Г.П. Сосновским в 1923–25 гг. в некотором роде претендовал на позднплейстоценовую-раннеголоценовую хронологию [Громов, 1948, с. 328]. Ситуация меняется, начиная с 2011 года, когда новостроечными работами выявляются археологические материалы, залегающие в отложениях низких надпойменных террас и примыкающих к ним склонов по правому борту долины Енисея (Научные и технические отчёты Р.В. Павлова, Д.Н. Лысенко, Л.Л. Галухина). В результате проведённых работ в списках государственного учёта археологического наследия добавлены памятники эпохи палеолита на участке от места впадения р. Базаихи и до устья Роева Ручья (выход к заповеднику «Красноярские столбы») стоянки Усть Базаиха 2, Бобровый лог и Усть-Лалетина 3.



Рис. 1. Местоположение археологических объектов на правобережье Енисея по результатам работы 2011–2014 годов. / Fig. 1. Location of archaeological sites on the right bank of the Yenisei River according to the results of the 2011–2014 years.



Рис. 2. Вид с юго-запада на устье реки Базаиха и правобережье Енисея вдоль ул. Свердловская. / Fig. 2. View from the south-west to the mouth of the river Bazaiikha and the right bank of the Yenisei along Sverdlovskaya St.

Проектируемая реконструкция улицы Свердловская, вытянувшейся вдоль правого берега Енисея на восточной окраине города, повлекло за собой объёмные охранно-спасательные археологические работы. Данный район города начал активно застраиваться в 1950-е гг. прошлого века, и к настоящему времени окружающая территория оказалась существенно урбанизированной (Рис. 1, 2). Очевидные техногенные изменения окружающего ландшафта, связаны со строительством дорог, зданий и с развитием приусадебного огородно-земледельческого хозяйства. И всё же, район считается окраинным в границах города. К югу, юго-западу простираются обширные рекреационные загородные зоны и земли Государственного заповедника «Красноярские Столбы». На периферии жилого сектора прослеживаются берёзово-осиновые леса с кустарниковым подлеском, которые ближе к местным водоразделам замещаются светлохвойным лесом.

Исследуемый участок между устьями притоков – р. Базаихи (на западе) и р. Лалетина (на востоке) относится к расширенному равнинному отрезку долины Енисея заметно остепнённому, а местами заболоченному или покры-

тому лугами. Вдоль берега вытянута цепь слаборасчленённых террасовидных площадок с относительными высотами в интервале от 6–7 м до 20–40 м, которые обращены к Енисею выраженным эрозионным уступом. Наблюдаются несколько террасовых уровней. Фронтальная бровка удалена от береговой линии Енисея на 200–700 м. Тыловыми швами террасы смыкаются с довольно крутым нагорным краем отрогов Восточного Саяна, который изолирует исследуемую зону от сквозных боковых долин. Водораздельные гряды, простираются на данном участке вдоль основной долины и имеют господствующие вершины 350–500 м над Балтикой (относительные отметки 185–300 м).

Натурные обследования проводились в полосе земельного отвода шириной 30–40 м, вытянутой на 3 км (по оси Запад-Восток). Полусотней шурфов был прослежен продольный профиль правобережного террасового комплекса долины Енисея (Рис. 8). Вскрывалась рыхлая толща аллювиальных, склоновых, овражных и эоловых осадков плейстоцен – голоценового времени, сложенная супесями, суглинками, песками, гравием, галечниками, щебнем. Выделено несколько палеопедогенных горизонтов. В большинстве случаев отложения прокапывались до коренного цоколя, представленного здесь известняками, мергелями, сиенитами. В двадцати девяти шурфах из числа всех археологических раскрытий обнаружены один или несколько культурных горизонтов (КГ) с артефактами и остеологическим материалом.

Усть-Базаиха 2. Вновь выявленный объект культурного наследия расположен на слабо выраженном в современном рельефе всхолмлении, выдвинутом к фронтальной бровке. Памятник оказался вытянутым вдоль Енисея на сто метров. Культурные горизонты прослежены тремя шурфами. Чередование шурфов с находками и безрезультатных раскрытий устанавливают, что обнаруженные культурные горизонты не имеют сплошного простираения, а напротив, представляют собой отдельные пятна с зонами концентрации и разрежения археологического материала. В существующих границах объекта культурного наследия удалось обособить два локальных пункта, которые дифференцируются по геоморфологическому и стратиграфическому принципам. Потенциально, обнаруженные пункты могут характеризоваться как разновременные многослойные стоянки, которые хронологически укладываются в подразделения верхнего палеолита – мезолита (?), местами, перекрытые ранее известными слоями палеометалла [Карцов, 1929, с. 6; Макаров, 1989, с. 133] и, возможно, неолита [Савенков, 1896, с. 11].

Первый локус – Усть-Базаихи 2 пункт 1, связан с 25–28 метровой террасой¹. Наиболее представительный геологический разрезом (шурф №14; N55°58'15,09» E92°46'30,10») имеет следующее описание (сверху вниз):

ЛС	КГ	Описание	Мощность (м)
0		Техногенный современный городской слой.	1,19
I		Слой современной почвы чёрного цвета, сложенный гумусированным супесчаным мелкозёмом. Верхняя граница деформирована с вышележащего уровня, нижняя – изрезана затёками гумуса по корнеходам и землероям.	0,20
II		Слой лёссовидной супеси тёмно-коричневой (бурого) цвета, насыщенный растительной органикой. Границы неясные.	До 0,18
III		Слой несортированной лёссовидной супеси, с редкими включениями зёрен гравия и дресвы, жёлто-коричневого цвета, местами окрашен гумусом. В подошве наблюдаются горизонтальные гумусовые линзы со слабым разрывом поверхности. Из нижней части слоя происходит уровень заложения тонких криогенных трещин, внедрённых в подстилающую толщу. Нижняя граница постепенная.	0,24
IV	1	Слой тонких (алеuritистых) супесей серо-сизоватого цвета, со слабовыраженной субгоризонтальной слоистостью. Верхняя граница маркируется гумусовыми примазками.	0,06–0,23
V	2	Слой тяжёлых супесей чёрно-коричневого цвета (палеопедогенный), зернисто-комковатый в кровле (горизонт А, мощностью до 28 см) и обесцвеченный, опесчаненный к подошве (горизонт Б мощностью до 36 см). Подвержен солифлюкции. Границы резкие, субгоризонтальные, сильно изломанные, с завихрениями.	0,37–0,43
VI		Слой лёссовидных супесей серо-сизоватого цвета, карбонатизированных, со слабовыраженной несистематичной слоистостью. В кровле слоя отмечаются некоторые потемнения, менее выраженные, чем вышележащий горизонт почвообразования.	0,32–0,50
VII		Серия переслаивающихся супесей и мелкого песка серого цвета с включением двух горизонтальных прослоев оглеения розовато-оранжевого цвета (VIIа мощностью 3–28 см и VIIб мощностью 1–18 см). Верхняя граница плавноволнистая, нижняя – мелко изломанная.	0,40–0,54
VIII	3	Слой лёссовидных карбонатизированных супесей серо-сизоватого цвета. По текстурным признакам и механическому составу аналогичен Л.С. VI. Нижняя граница чёткая, горизонтальная.	0,70–0,80
IX		Слой горизонтальных разноцветных супесей (серые, жёлтые, рыжеватые) с включением двух горизонтальных суглинистых прослоев охристого цвета (IXа мощностью 3–16 см и IXб мощностью 12–25 см). Границы резкие, горизонтальные.	0,88–0,88
X		Гравийно-галечный слой.	До 0,05 (видимая)

¹ Гипсометрические уровни террасовидных поверхностей в 2014 году измерялись по существующим современным поверхностям, без учёта техногенных изменений рельефа в условиях города. В ряде случаев, при подобном подходе, обнаруживались серьёзные расхождения с реальностью за счёт вертикальной планировки городских площадей.

Латеральный профиль показывает, что границы слоёв I–IV залегают субгоризонтально. Подошва литологического слоя (ЛС) V имеет уклон 5° в долину Енисея, а подошва ЛС VII – 8° в противоположную сторону – к тыловому шву. Общие литолого-морфологические характеристики дают основания предполагать, что неслоистые супеси (ЛС I–III, и VII) вероятнее всего следует относить к нерасчленённым отложениям эолово-элювиального и делювиального парагенеза. Слои VIII и XI могут относиться к пойменным и русловым группам фаций аллювия террасы сложного строения. Сравнительно маломощный ЛС VI предположительно может быть отнесён к фациям перегляциального аллювия. Ссылаясь на гипсометрические отметки вполне вероятно, что нижняя часть профиля сложена пойменными осадками третьей террасы, перекрытой более поздними аллювиальными накоплениями с активной субэрозивной фазой на уровне ЛС VII.

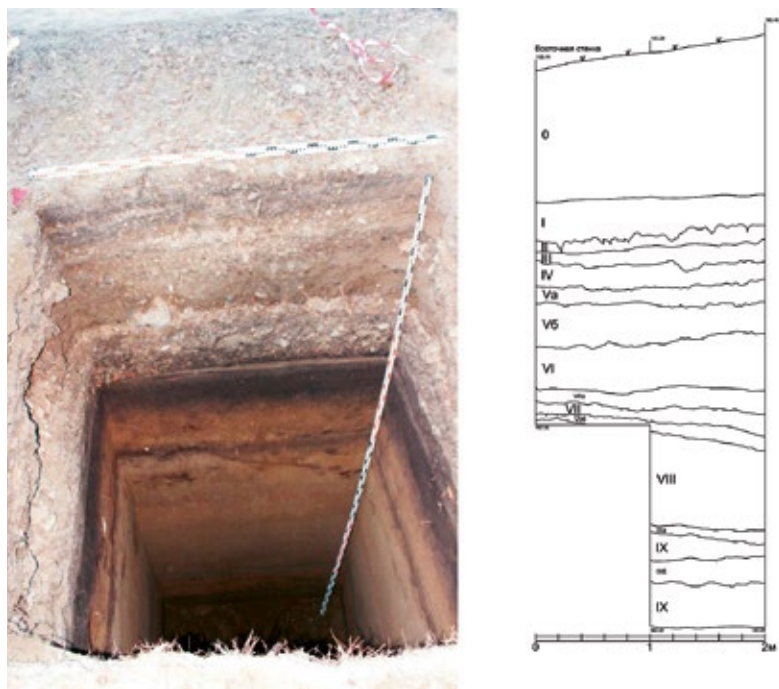


Рис. 3. Усть-Базаиха 2. Стратиграфический разрез (южной А) и чертёж (восточной Б) стенок шурфа №14. / Fig. 3. Ust-Bazaikha 2. Stratigraphic section (South A) and drawing (East B) of the walls of Schurf №14.

Археологический материал зафиксирован в нескольких позициях. В средней части покровной толщи (ЛС III) залегает КГ 1 в котором обнаружена единственная усечённая пластина (3,1x1,7x0,4 см) с трёхгранной правильной параллельной огранкой спинки, выполненная из среднезернистого однородного кварцита. Ударная площадка мелкофасетированная, точечная, бугорок плоский с «венчиком» в зоне расщепления с брюшка.

КГ 2 залегает в горизонте почвообразования, деформированном солифлюкцией, и, очевидно, может быть отнесён к позднесартанскому времени. Археологический материал – единичные маловыразительные находки каменных артефактов и костные остатки фауны последнего ледникового.

Находки КГ 3, в связи с необычными условиями их залегания в отложениях высокого (более 20 м над современной поймой) пойменного аллювия вызвали наибольший интерес. В коллекции представлены артефакты, изготовленные из сравнительно однородных средне-мелкозернистых пород, происходящих из галечника (аргиллиты, алевролиты, долериты, кремьень). Сколы представлены крупными (более 8 см), средними и мелкими (менее 4 см) размерами, в основном, плоскими и краевыми формами, сохраняющими галечную корку. Некоторые отщепы имеют ретушь утилизации. Ударные площадки в большинстве гладкие (корочные), бугорки массивные. Огранка спинки чаще непараллельная (радиальная). Среди предметов в слое также обнаруживались мельчайшие – чешуйки (до 0,6 см). К технологически значимым отнесён боковой скол (2,1x1,2x0,5 см) переоформления ударной площадки мелкого призматического нуклеуса для пластинок. Несовершенная параллельная дорсальная огранка фиксируется на сравнительно плоских пластинчатых отщепках (2 экз.) средних и мелких размеров. Ещё один отщеп широкий и относительно тонкий (9,5x9,3x1,4 см) получен в результате уплощающего скалывания. Профиль прямой, края «рваные», ударная площадка гладкая, корочная. Огранка спинки радиальная (Рис. 4/4).

Аналогичная заготовка использовалась для скребла (11,5x10,2x2,3 см), изготовленного из двусторонне обработанного плоского (леваллуазского) отщепка прямоугольной формы (Рис. 4/1). Дистальная часть – петлеобразное окончание скалывающей, сохранившее на дистальной части скола негативы тыльной поверхности плоского нуклеуса. В зоне ударного бугорка – брюшковое утончение основы. Инструмент имеет высокую степень модификации в виде захватывающей крупной ретуши и фасиально уплощающих подтёсок.

Локализуется несколько лезвийных участков: 1. – овалный в плане, захватывающий проксимальную часть скола, оформленного краевой двусторонней приостряющей ретушью крупная со спинки и мелкой, ступенчатой с брюшка; 2. – череда выступающих и вогнутых участков лезвия в дистальной части скола. Ретушь средняя и мелкая со спинки и частично совмещённая мелкая с брюшка. Углы заострения рабочих кромок в пределах 30–40°.

К выразительным инструментам следует отнести скребок концевой, двойной (4,0x2,5x0,4 см), выполненный на сильно модифицированном плоском отщепе. Противолежащие рабочие участки оформлены дорсальной параллельной (типа «канелюр») и мелкой чешуйчатой ретушью (Рис. 4/3).

Остеологические материалы в большинстве случаев представлены фрагментами костей животных. В промысловом наборе присутствуют крупный заяц *Lepus sp.* (3), крупный бык или бизон *Bison/Bos sp.* (2), архар *Ovis ammon* (2), северный олень *Rangifer tarandus* (1). Состав фауны позднепалеолитический, типичный по составу для второй половины позднего плейстоцена. На юге Сибири эти виды встречены на многочисленных стоянках Енисея и Ангары [Ермолова, 1978, Оводов и др., 2007].

Геологическая позиция КГ 3 в основании толщи пойменного аллювия третьей (четвёртой?) надпойменной террасы Енисея допускает досартанский возраст находок. Набор технологических признаков в первоначальном представлении индустрии явно недостаточен. На наш взгляд, отчасти диссоциирует с типичным афонтовско-кокоревским палеолитом присутствие плоских сколов с радиальной или перекрёстной огранкой дорсальных поверхностей и наличие концевого кареноидного скребка. Следует обратить внимание на то, что собранная коллекция КГ 3 отличается относительно узким подбором сравнительно однородного сырья, отсутствием устойчивых технологических проявлений микрорасщепления.

Усть-Базаиха 2, пункт 2 расположен в глубине притеррасной площадки у тылового шва, примыкающего к подошве склона. Относительное превышение над енисейской меженью 25–28 м. В качестве опорного геологического разреза рассматривается профиль шурфа № 19 (N55°58'13,54» E92°46'09,22»). Разрезом вскрыты следующие отложения (описание фронтального профиля, сверху вниз):

ЛС	КГ	Описание	Мощность (м)
0		Техногенный городской слой.	0,72–0,80
I		Слой современной почвы (пахотно-техногенный) чёрного цвета, гумусированный супесчаный. Верхняя граница ровная, нижняя – не ясная: слой постепенно обесцвечивается, на контакте с подстилающим.	0,10–0,20
II		Слой лёссовидной суглинисто-песчаной (красно-коричневого) цвета. Насыщен растительной органикой. Нижняя граница постепенная.	0,15–0,23
III		Слой несортированной суглинисто-песчаной жёлто-коричневого цвета с разрозненными редкими включениями зёрен гравия и дровины. Насыщен гумусовыми примазками. Нижняя граница отмечена размывом, местами выполнена тонким гумусовым слоем 1–2 см. Генерализованный угол наклона подошвы – 10–120 по оси запад-восток (в долину Базаихи).	0,26–0,59
IV	1	Слой лёссовидной карбонатизированной суглинисто-песчаной светло-серого цвета, с невыраженной слоистостью. Нижняя граница постепенная, горизонтальная.	0,70–1,10
V	2, 3	Слой горизонтально слоистых суглинисто-песчаных серо-оранжевого цвета с выраженными двумя прослоями розовато-оранжевого суглинка (горизонты Va и Vб). Горизонт Va имеет мощность 8–10 см. Мощность Vб – до 25 см. Расслаивающиеся суглинисто-песчаные прослои имеют выраженную горизонтальную слоистость, а ближе к подошве, насыщаются горизонтальными линзами серого тонкого песка. В подошве горизонта Vб найден фрагмент кости млекопитающего.	1,30

Ниже отметки 3,80 м (от поверхности) отложения не прокапывались. Обнаруженное в нижней части видимой толщи ЛС V золисто-сажистое пятно (КГ 2) после снятия выявленных артефактов, законсервировано.

Слои I–IV следует отнести к субаэральным, сформировавшимся за счёт преимущественно эолово-элювиальных процессов. Слой V отнесён к группам фаций пойменного аллювия. По кости из культурного горизонта 3, залегающего в нижнем розовато-оранжевом прослое суглинка получена радиоуглеродная дата. Широкий доверительный интервал объясняется недостаточным количеством датированного материала. По мнению специалистов, дата предполагает очень грубую оценку возраста.

Таблица 1. Радиоуглеродная дата Усть-Базаихи 2, пункт 2, культурный горизонт 2.

Индекс лаборатории	Паспорт объекта	Радиоуглеродный возраст	Календарный возраст
ЛУ-8296	Свердловская. 2014, шурф 19, №3, кость. Очень малое количество	15620±2520	20840±4940

Примечание: значения календарного возраста приведены на основании калибровочной программы «OxCal 4.2» (калибровочная кривая «IntCal 13»). Christopher Bronk Ramsey (<https://c14.arch.ox.ac.uk>).

Археологический материал залегал в трёх уровнях. Первый, верхний культурный горизонт занимает позицию в основании покровного чехла, сформированного за счёт парагенезиса нерасчленённых элювиально-делювиально-эоловых осадков. Культурные горизонты 2 и 3 фиксируются в отложениях пойменных групп аллювия. Находки связаны с розовато-рыжеватыми, сильно оглееными, сравнительно мощными прослоями, которые интерпретируются нами как аккумулятивные отложения «вторичных водоёмов» (по Шанцер, 1966. С. 182).

Фаунистическая коллекция второго горизонта находок представлена сильно фрагментированными остатками промысловых видов, доля неопределимых составляет 80 %. Определимые остатки принадлежат *Lepus sp.* (2), *Bison/Bos sp.* (1), *R. tarandus* (3). Как уже указано виды эти обычные для позднепалеолитического времени.

Фиксируемое в КГ 3 пятно – скопление, представляет собой линзу горизонтального простираения, которая имеет мощность до 2 см и диаметр до 120 см преимущественно сероватого, неравномерно окрашенного цвета, насыщенного углисто-сажистой массой, артефактами и палеофаунистическим материалом, залегающими в спокойном, уравновешенном состоянии на плоских поверхностях. Структура занимает ограниченный участок слоя, тяготеющий к северо-западному углу шурфа. После фиксации пятно было законсервировано для возможности дальнейшего детального изучения при возможном расширении площади раскрытия в будущем.

Археологический инструментарий (25 экз.) в слое определён группировка в связи с упомянутым пятном на площади 2,5 м². В коллекции фиксируются отщепы, чешуйки, пластины и микропластины, пластинчатые и краевые сколы, отдельные выраженные морфотипы. Сырьё для каменного производства включает в себя как грубозернистые минералы – базальты и долериты,

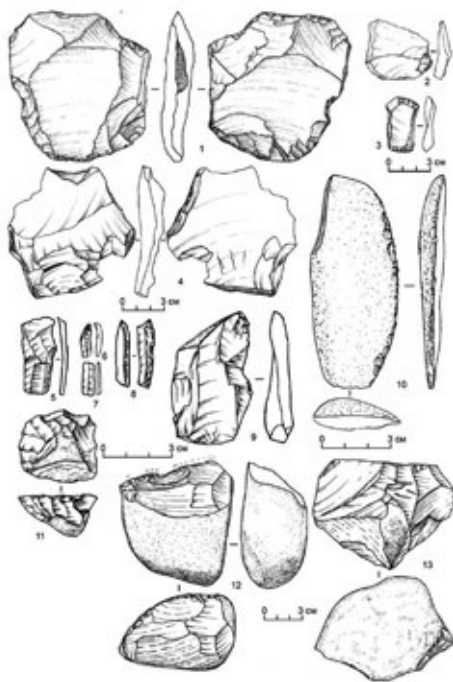


Рис. 4. Каменные артефакты: 1-4 – Усть-Базаиха 2, пункт 1; 5-11 Усть-Базаиха 2, пункт 2; 12, 13 – Усть-Лалетина 3. / Fig. 4. Lithic artifacts: 1-4 – Ust-Bazaïkha 2, locus 1; 5-11 Ust-Bazaïkha 2, locus 2; 12, 13 – Ust-Laletina 3.

песчаник, так и криптокристаллические образцы в виде разноцветных образцов кремня, кремнистого сланца.

Крупных нуклеусов не найдено, хотя имеются объёмистые колотые гальки и угловатые обломки (3 экз.). Продукты расщепления – в основном отщепы (15 экз.) имеют различную величину и форму. Максимальный размер 11 см, но основной метрический стандарт – 2-5 см. Почти половина отщепов – краевые, сохраняющие отвесную («обушковую») грань, уплощённые (сравнительно тонкие в сечении – 0,6 см). Два пластинчатых отщепа имеют параллельную огранку спинки, хотя большинство изделий сохраняют частично или полностью галечную корку и центростремительные негативы дорсального оформления. Встречены единичные отщепы с параметрами сколов оформления бифаса (сравнительно обширная площадь, тончайшая ударная площадка и изогнутый тонкий профиль). Ударные площадки гладкие (корочные) или линейные. В ряде случаев фиксируется «перебор» карниза, «губа» у вентраль-

ной кромки ударной площадки и сравнительно рельефные ударные бугорки. Выразительных крупных пластинчатых заготовок не встречено. Отдельные формы усечённые или фрагментированные имеют тщательно оформленные зоны расщепления, преимущественно нерегулярные огранки спинок, сравнительно тонкий профиль и укороченные – «уширенные» пропорции.

Фрагменты микропластин (3 экз.) тонкие и миниатюрные (до 6 мм шириной и до 2 мм в профиле) (Рис. 4–6, 7). Сохранившиеся детали указывают на использование линейных ударных площадок с тонким редуцированием и шлифовкой. Спинки правильные двух-трёхгранные, профиль прямой. Один фрагмент микропластины (1,3x0,4x0,2 см) следует отнести к технологическому браку. Этот скол с ныряющим окончанием привёл к разрушению дистальной части клиновидного нуклеуса, на которой заметны детали тонкого обоюдного латерального уплощения кия. Дебитаж скопления дополняется чешуйками (18 экз. – до 0,5–0,7 см).

К выраженным морфологическим категориям скопления также следует отнести: пластинчатый фрагмент с ретушью (4,5x3,2x0,6 см) профиль прямой, ретушь мелкая, полукрутая, чешуйчатая по одному краю дорсальная. Второй продольный край имеет ретушированную выемку, по которой, очевидно, был произведён слом изделия; отщеп с вентральной ретушью, расположенной по перпендикулярно усечённому концу (2,3x2,7x0,9 см); нож обушковый (Рис. 4–10), изготовленный на первичной пластине (9,3x4,2x1,1 см). Поверхность спинки – корочная, за исключением ретушированных участков. Зона расщепления с брюшка несёт негативы утончающей подправки. Вместе с ударным бугорком она «выпрямлена» несколькими мелкими уплощающими вентральными сколами. Обушок – отвесная грань, частично покрывающая край противоположный лезвию, изготовлен резцовым сколом. Лезвие ровное, слегка выпуклое, выполнено на всём протяжении мелко-среднечешуйчатой ретушью со спинки; резец плоский (Рис. 4–9) сделан на пластинчатом отщепе (5,8x3,6x1,3 см) с выпуклой, фасетированной ударной площадкой и нерегулярным оформлением трёхгранной спинки. На поперечно-диагональном дистале сохраняется галечная корка, выполняющая роль обушка. Она же являлась базой для мелких плоских сколов, оживляющих резцовую кромку. По рабочему участку эпизодически прослеживается ретушь утилизации; резцовый ощепок (3x0,7x 0,7 см) сохраняет мелко ретушированный со спинки участок пластинчатого края (Рис. 4–8); наконечник, овально-уплощённый



Рис. 5. Усть-Базаиха 2, пункт 2. Шурф 19. Костяной наконечник (рог оленя). / Fig. 5. Ust-Bazaikha 2, locus 2. Test pit 19 Point of bone (deer horn).

из рога (6,3x9,0x0,5см), предположительно, марала, выпукло-вогнутый в сечении, ассиметричный в профиле. Выполнен в комбинации техник резки и шлифования. Острие слегка ассиметрично в профиле. В сечении форма меняется от подтреугольной плоской в острой части к двояковыпуклой овальной в серединной и плоской суженной по фасу и маргиналам в основании. Основание прямое перпендикулярное длинной оси предмета (Рис. 5).

Каменный инвентарь соответствует общепринятым представлениям об индустриях «сартанского» палеолита Енисея. На это указывают характерные продукты микрорасщепления клиновидных нуклеусов. Средние и крупные заготовки, сколотые с крупных нуклеусов из галек в основном, представлены краевыми ассиметричным уплощёнными сколами, с одной отвесной гранью – «обушком», представленным, как правило, корочной поверхностью. Типологическое определение нуклеусов для получения подобных сколов неоднозначно. Важнейшим критерием, на наш взгляд, является использование ситуационно приспособленных подобъектных поверхностей, по большому счёту, для непластинчатого скалывания. Оформление зоны расщепления минимально. Судя по отдельным морфопризнакам можно предполагать,

что скалывание производилось ударом с помощью мягкого отбойника. Технологические линии подобного расщепления прослеживались Е.В. Акимовой на отдельных образцах из слоёв 19 и 14 стоянки Лиственка [Палеолит Енисея..., 2005. С. 99, 123–127]. Роговой беспазовый наконечник, на наш взгляд, вполне соответствует типологическим рядам подобных изделий, обнаруженных на афонтовских памятниках. Определения фаунистической коллекции ограничиваются зафиксированными фрагментами бедра крупного быка или бизона и плюсневых костей северного оленя. Высокий процент неопределимых фрагментов (78,6 %) характерен для структур культурных слоёв палеолитических стоянок и поселений.

Из шурфов № 11 и 12, расположенных в границах первого пункта Усть-Базаихи 2, были извлечены образцы кости, по которым были получены три радиоуглеродные даты:

Индекс лаборатории	Паспорт образца	Стратиграфическая ситуация	Радиоуглеродный возраст
ГИН–15600	Усть-Базаиха 2, пункт 1, Шурф 12, №4. Дистальный фрагмент правой берцовой кости бизона	Группы фаций пойменного аллювия. Глубина от поверхности 4,0 м.	15340±120
ГИН–15601	Усть-Базаиха 2, пункт 1, Шурф 12, №5. Фрагмент тазовой кости бизона	Группы фаций пойменного аллювия 4,03	15570±150
ГИН–15599	Усть-Базаиха 2, пункт 1. Шурф 11, №№ 1, 2, 3, 4, 6, 7, 9, 11, 12, 13, 16. Мелкие фрагменты кости разных животных из одного скопления	Кровля пойменного аллювия. 3,4 – 3,7 м	14740±140

Полученные данные маркируют культурные слои, включённые в горизонтально слоистые суглинки-супеси средней – верхней части пойменных отложений террасы, высота которой по современному рельефу определяется в 25–28 м. Предварительные данные предполагают двухчастное строение данной террасы. Нижняя группа фаций аллювиальных отложений, очевидно, надстроена осадком аллювия высоких паводков, возможно, образований вторичных водоёмов. Ситуация отчасти может соответствовать обоим сценариям интерпретации геолого-геоморфологической ситуации, предложенной С.А. Лаухиным и В. П. Чехой для стоянки Лиственка [Палеолит Енисея ..., 2005, с. 99, 123–127].

Усть-Базаиха – 2, пункт 3 вновь выявленный объект, так же сориентирован вдоль фронтальной бровки 25-метровой енисейской террасы, обнаружен в шестистах метрах западнее устья р. Лалетина (Рис. 1). Здесь ожидаются два уровня залегания находок, один из которых приурочен к палеопедогенному слою, деформированному солифлюкцией и второй, залегающий в кровле отложений с неясной горизонтальной слоистостью. Стратиграфическая позиция близка ситуации, обнаруженной на объекте Усть-Базаиха – 2 пункт 1. Вероятно предположить, что культуросодержащие слои объекта также могут быть приурочены к «размытому» останцу 3-ей енисейской террасы. Среди обнаруженных находок – единственный аморфный отщеп (4x2 x2 см), фрагмент верхнего коренного зуба лошади *Equus sp.* кабаллоидного облика и крупного копытного. Ввиду недостаточной информативности данный объект заслуживает лишь предварительного упоминания.

Усть-Лалетина-3 вновь выявленный объект, зафиксированный на участке протяжённостью около 170 метров. Занимает срединную – верховую части протяжённого склона, расположенного по правому борту приустьевого расширения боковой долины р. Лалетина на относительных высотах 35–40 м выше уреза Енисея. В трех из семи разведочных шурфов были обнаружены единичные каменные артефакты и образцы палеофауны. Опорный разрез получен в шурфе № 38 (Рис. 6, 7).



Рис. 6. Усть-Лалетина. Стратиграфический профиль. / Fig. 6. Ust-Laletina. Stratigraphic profile.



Рис. 7. Условие залегания артефакта в литологическом слое V. / Fig. 7. The condition of the artefact occurrence in lithological layer V.

Разрез шурфа № 38 описание сверху вниз по северному, фронтальному профилю, относительно направления склона:

ЛС №	КГ	Описание	Мощность (м)
0		Техногенный городской слой.	0,32–0,41
I		Пахотный слой чёрного цвета, сложенный лессовидными супесями. Границы слоя лежат горизонтально.	0,18–0,24
II		Слой бурой (черно-коричневой) супеси. Сложен гумусированным супесчаным мелкозёмом. Верхняя граница ровная, изрезана корнеходами сверху, затёками гумуса. Нижняя граница постепенная.	0,10–0,15
III		Слой несортированной, с разрозненными редкими включениями зёрен гравия и дресвы супеси, жёлто-коричневого цвета. Пронизан корнеходами и гумусовыми затёками сверху. На контакте с подстилающим слоем не систематически прослеживаются гумусовый прослой тёмно-серого цвета, мощностью 1–2 см. Нижняя граница отчётливая, сильно изломанная волнообразная, со следами мелкоструйного размыва.	0,16–0,50
IV		Слой лёссовидной карбонатизированной супеси светло-серого цвета. Нижняя граница горизонтальная.	0,22–0,54
V	1	Слой гравийно-щебнистых отложений расслоенных плохо сортированными супесями и разнозернистыми песками слой тёмно-коричневого цвета.	0,20–0,28
VI		Горизонт разборной скалы.	0,05 (видимая)

Очевидно, что разрезом вскрыта маломощная толща склоновых отложений, преимущественно пролювиально-делювиального генезиса. В подошве ЛС III пролегает граница плейстоцена и голоцена. Голоценовая пачка сложена несортированным мелким разнозернистым осадком с редкими включениями дресвы, гравия, с местными участками гумусового заполнения. Постилающий слой резко отличается наличием обильных включений карбонатов в виде сплошной пропитки, «белоглазки», «журавчиков». Слой IV–VI отнесены к склоновым отложениям пролювиального и делювиального генезиса.

Разрез маркирует горизонт почвообразования яркого чёрно-коричневого цвета, залегающий в нижней части ЛС IV. Допускается, что в данном случае нами обнаружен педоседимент, аналогичный «хорошо сформированной почве чернозёмного типа», которая описывалась Г.Ф. Мирчинком в красноярских предместьях в первой половине прошлого века на гипсометрических отметках 30 м и 50–60 м относительно Енисея [Громов, 1948, с. 329–330]. На левобережье горизонты почвообразования с различными хронологическими по-

казаниями фиксировались на близких высотах в границах стоянок Афонтова Гора II – склон [Мещерин и др., 2018, с. 147] и в разрезе, подстилающем культурные слои стоянки Крутая в 2017 г. В единой колонке шурфа 12.1 на стоянке Крутая по трём параллельно залегающим горизонтам гумуса, извлечённого из палеопедогенной пачки отложений с глубины более 3–4 м получена серия дат:

Индекс лаборатории	Паспорт образца	Радиоуглеродный возраст	Календарный возраст	Кол-во полученного бензола, мл
ЛУ-9514	13; Крутая, 2017, Ш. 12.1, средняя палеопочва; глубина от поверхности – 355/–340	26720±1170	31060±1300	0,416
ЛУ-9515	14; Крутая, 2017, Ш. 12.1, нижняя палеопочва; глубина от поверхности – 380/370;	14690±810	17880±1040	0,115
ЛУ-9516	15; Крутая, 2017, Ш. 12.1, верхняя палеопочва, глубина от поверхности – 330/–321;	25630±890	29830±880	0,475

Примечание: значения календарного возраста приведены на основании калибровочной программы «OxCal 4.3» (калибровочная кривая «IntCal 13»). Christopher Bronk Ramsey (<https://c14.arch.ox.ac.uk>).

Две некалиброванные даты из средней и верхней гумусированных прослоек вполне могут соотноситься с позднекаргинскими событиями. Радиоуглеродный возраст нижней палеопедогенной прослойки оказалась несогласным, очевидно, по причине недостаточного количества датирующего материала.

Вполне вероятно, что представленный на Усть-Лалетина палеопедогенный горизонт может соответствовать одной из поздних каргинских термостадий, подобной тем, что выделены в разрезе куртакского педокомплекса [Haezaerts at all, 2005, с. 5, 6; Дроздов, и др., 2005, с. 66] либо, некими интерстадиальными проявлениями на ранних этапах сартанского криохрона, отмечаемыми в том же куртакском геoarхеологическом районе на стоянке Каштанка [Haezaerts at all, 2005, с. 7].

Несколько ниже описываемого горизонта почвообразования залежали артефакты, изготовленные из среднезернистых пород в форме галек. Один из предметов – нуклеус (8,2x11,6x8,4 см) в начальной фазе расщепления (Рис. 4), выполненный на гальке пирамидальной формы, с широкой дугой

скалывания, гладкой, корочной ударной площадкой. По кромке площадки видны чешуйки прямой редукции. Фронт укороченный, сохраняет негативы однонаправленных субпараллельных снятий с заломами и сколами конвергентной боковой подправки. Углы скалывания 75° – 80° .

Другой инструмент, формально определённый как поперечный односторонний чоппер (9x9,9x5,6 см) (Рис. 4), изготовлен из уплощённой, продолговатой, поперечно усечённой гальки. Рабочая часть оформлена двумя-тремя генерациями сколов, образуя умеренно ровное, с широким желобчатым сечением, приострённое, лезвие, дополнительно подправленное мелкой ступенчатой (с заломами) ретушью. Незначительное увеличение (32-х) при осмотре кромки лезвия, показало участки заполировки, характерные для работы по мягкому материалу (обозначено на рисунке – определение Д.А. Гурулёва). Учитывая известный опыт изучения галечных индустрий Енисея [Щелинский, 1972, с. 147], данный предмет следует интерпретировать как скребло с функцией скобления-строгания. Третье орудие также галечное (9,1x5,1x3,3 см) может соответствовать категории скрёбел-строгун.

Остеологический материал непосредственно слоя с археологией и немного выше его представлен фрагментами костей *Lepus* sp. (2), *Rangifer tarandus* (4) и *Bison/Bos* sp. (1). Высокий процент неопределимых фрагментов (81,3 %) вероятнее всего характеризует процесс искусственного расщепления скелетных элементов. Состав таксонов идентичен таковому, отмеченному на предыдущих объектах.

Полученные находки с вновь выявленного объекта Усть-Лалетина – 3, на наш взгляд, обозначают возможности поиска палеолита на высоких склонах енисейского правобережья (35–60 м). Археологический материал пока не даёт однозначных оценок его культурно-хронологической атрибуции.

Итоги и выводы. Существенным результатом проведённых разведочных археологических работ в зоне реконструкции улицы Свердловская стало выделение трёх вновь выявленных объектов, приуроченных к комплексу низких террас правобережья Енисея и примыкающим к ним склонов [Мещерин, Галухин, 2016, с. 135]. Геохронологическая позиция обнаруженных памятников определяется интервалами позднего неоплейстоцена – раннего голоцена. В геологической части исследований обращается внимание на особенности строения нижнего террасового ряда красноярского правобережья в условиях формирования эрозионно-аккумулятивного типа рельефа (Рис. 8).



Рис. 8. Продольный профиль правого (южного) борта долины Енисея между устьями рек Базаиха и Лалетина. / Fig. 8. Longitudinal profile of the right (southern) side of the Yenisei valley between the mouths of the Bazaikha and Laletina rivers.

В существующей литературе нет однозначных определений нумерации последовательности и гипсометрических показаний для данных террас Енисея. В.И. Громов, описывая указанный отрезок правобережья, в числе «типично аккумулятивных», кроме «пойменных уровней» называл первую – 9–11, вторую 15–18 м. Третья ступень (30–40 м) и выше характеризовались как «террасы размыва» [Громов, 1948, с. 305–309]. Э.И. Равский отмечал, что на интересующем нас участке долины наиболее распространены II («красноярская» – 15–18 м) и IV («лагерная» – 30–40 м) надпойменные террасы над уровнем реки [Равский, 1972, с. 140]. С.М. Цейтлин, ссылаясь на работы Л.А. Рогозина, В.В. Фениксовой и С.А. Архипова, допускает уточнение в определении высоты третьей террасы в пределах 20–25 м [Цейтлин, 1979, с. 133]. Обнаружение артефактов в пойменных отложениях третьей енисейской террасы, а также находки материала на высоких склонах на Усть-Лалетина позволяют прогнозировать обнаружение в данной местности памятников раннего и среднего этапов верхнего палеолита.

Пониманию геолого-геоморфологической ситуации на пунктах Усть-Базаихи отчасти способствуют современные представления о многослойной стоянке Лиственка [Палеолит Енисея..., 2005. с. 24–25]. Очевидно, культуросо-

державшие слои Усть-Базаихи 2, так же, как и на Лиственке, расположенной в устье бокового притока в 30 километрах западнее, формировались в пойменных толщах аккумулятивных наложенных надпойменных террас реки Енисей, а также, в основании толщи субаэральных отложений, перекрывающих аллювий. «Парадоксальным» назвала несоответствие геохронологической позиции культурных слоёв в соотношении с радиоуглеродными датировками З.А. Абрамова, когда также обратила внимание на гипсометрически высокие – 18–23 м над межеью террасовые уровни пойменных отложений, наложенных на «размытую», по В.И. Громову, третью надпойменную террасу на енисейских памятниках Минусинской котловины [Абрамова, 1979 а, с. 99]. Объяснение причин высокого уровня залегания аллювиальных толщ сравнительно молодого позднесартанского возраста, позволит в будущем представить климатические обстановки природного окружения древнейшего населения Енисейского правобережья.

Малочисленная коллекция Усть-Базаихи – 2 пункт 1, КГ 3 отличается подбором сравнительно однородного сырья, отсутствием технологических проявлений микрорасщепления. Напротив, в качестве заготовок орудий встречаются крупные отщепы, полученные в традициях леваллуазского расщепления. На обнаруженных предметах отмечена интенсивная модификация заготовки при производстве орудий, которая, по морфологическим характеристикам ретуши могла бы соответствовать индустриям раннего отдела верхнего палеолита Приенисейского края в арсенале, описанном Н.Ф. Лисицыным [Лисицын, 2000, с. 87–89].

Второй пункт Усть-Базаихи 2 (КГ 3) вызывает особый интерес в связи с возможностью обнаружения полноценного культурного слоя, содержащего структуры обитания. Данный эпизод, планиграфически зафиксированный хозяйственной активностью, может пролить свет на специфику стратегии адаптации первобытного населения. Напомним, в палеогеографическом смысле речь идёт о довольно узкой цепочке разноуровневых субгоризонтальных террасовидных площадок енисейского правобережья с крутым бортом долины, оконтуривающим с севера урочище «Красноярские Столбы». Северная экспозиция территории создаёт нехарактерную ситуацию для расположения стоянок. Здесь ощутимо «темнее» и «прохладнее», особенно в зимние месяцы, в сравнении с левобережным участком Енисея – склонами Афонтовой горы. Подобная ситуация, очевидно, может быть связана с долговременной тради-

цией специализированной охотничье-промысловой деятельности в данной местности. Археологический материал пункта 2 недиагностичен, но не выпадает из общепризнанных представлений об индустриях, бытовавших в Южной Сибири в сартанское время [Васильев, 1996, с. 172–174].

Палеофаунистические материалы не противоречат выводам о составе промысловой фауны красноярского археологического района в позднем палеолите. Типовыми видами являются все найденные млекопитающие палеолита, встреченные под Красноярском: крупный донской заяц на объекте Караульный Бык [Макаров, Ямских, 1995], бизон и донской заяц с Лиственки [Оводов и др., 2007], северный олень со стоянок Афонтова Гора II [Громов, 1948] и Каштанка I [Бокарев, Мартынович, 1992], горный баран со стоянки Слизнева [Оводов и др., 2007]. Особенности сохранности также имеют палеогеографическое значение: наблюдаемая на костях третьего и четвертого литологического слоя Усть-Базаихи и Усть-Лалетина «сеточка» бороздок свидетельствует о почвообразовании и воздействии микрофауны и корней растений на компакту костей. Такие следы на юге Сибири характерны для остатков, извлекаемых из слоев с палеопочвенными дериватами [Клементьев, 2013]. Рассмотрение фаунистических сборов пунктов 1 и 2 Усть-Базаихи – 2 и Усть-Лалетина – 3 можно предварительно рассматривать как однотипные, вероятно различающиеся хронологией в пределах сартанского времени. В этой связи уместно провести коррелятивный обзор с комплексами, выявленными на Афонтовой Горе II [Громов, 1948]. В горизонтах С, D, E повсеместно обнаружены доминирующие остатки северного оленя, полученные радиоуглеродные даты подтверждают сартанский возраст этих комплексов. В зависимости от количественной насыщенности варьирует и представительность видового состава. Горизонт В классической Афонтовой Горы II отличается от нижележащих малочисленностью мамонтовых остатков, заметным присутствием лошади и крупного быка. Отличительной особенностью правобережных стоянок/комплексов является отсутствие мамонта.

Планирование дальнейших работ на правобережье предполагает проведение комплекса аналитических естественно-научных исследований. В заключении необходимо выразить благодарности геологам В.В. Карасёву и С.В. Наугольному, оказывающим регулярные консультации в вопросах стратиграфии и палинологии, а также сотрудникам лабораторий радиоуглеродного датирования Н.Е. Зарецкой, Ф.Е. Максимова, А.Ю. Петрову.

Таблица 2. Результаты определения палеонтологического материала с археологических объектов в местечке Базаиха.

Объект	Усть-Базаиха 2			Усть-Базаиха 2, п.1		Усть-Базаиха 2, п.2					Усть-Базаиха 2, п.3	Усть-Лалетина 3	
	III	IV	V	V	VII	III	IV	V	VI	VII	V	IV	V
№ Лит. слоя													
Mammalia													
Lepus sp. (Заяц)	1	1	5		3		2		5				
Equus sp. (Лошадь)											1		
Bison/Bos sp. (Крупный бизон/бык)				1	2		1	1				1	
Ovis ammon (Горный баран)		2			2								
Cervus elaphus (Марал)				1									
Rangifer tarandus (Северный олень)	9	13	4		1	1	3	2		1		1	
Cervidae indet (Олени)													
Крупное копытное	14	7	1	1	3		3	9			2	3	1
Неопределимые	5	18		1	4		34	2	1			3	
Всего:	29	41	10	4	15	1	46	14	6	1	3	8	1
Aves													
Крупная птица										1			
Мелкая птица									1				
Всего:									1	1			

СПИСОК ЛИТЕРАТУРЫ

1. Абрамова З.А. Палеолит Енисея. Афонтовская культура. Новосибирск: Наука, 1979 а. 156 с.
2. Абрамова З.А. Палеолит Енисея. Кокоревская культура. Новосибирск: Наука, 1979 б. 200 с.
3. Акимова Е. В. Поздний палеолит Красноярского археологического района (XX век: итоги и перспективы) // Древности Приенисейского края. Красноярск, 2003. Вып. 2. С. 5–17.
4. Артемьев Е.В., Дроздов Н.И. К вопросу о первоначальном заселении Красноярского археологического района на материалах исследования стоянки Афонтова Гора V в 1997 г. // Палеоэкология плейстоцена и культуры каменного века Северной Азии и сопредельных территорий (Материалы международного симпозиума). Новосибирск: Изд-во Ин-та археологии и этнографии СО РАН, 1998. С. 310–317.
5. Артемьев Е.В. Дроздов Н.И. Археологические исследования многослойной позднепалеолитической стоянки Афонтова гора – 2 в 2001 г. (г. Красноярск) // Проблемы археологии, этнографии, антропологии Сибири и сопредельных территорий. Новосибирск: Изд-во Ин-та археологии и этнографии СО РАН, 2001. Т VII. С. 15–17.
6. Артемьев Е. В., Дроздов Н.И. Археологические исследования многослойной позднепалеолитической стоянки Афонтова гора – 2 в 2002 г. (г. Красноярск) // Проблемы археологии, этнографии антропологии Сибири и сопредельных территорий (Материалы Годовой сессии Института археологии и этнографии СО РАН). Новосибирск: Изд-во Ин-та археологии и этнографии СО РАН, 2002. Т VIII. С. 22–25.
7. Артемьев Е. В., Дроздов Н.И. Археологические исследования на стоянке Афонтова гора – II в 2003 г. // Проблемы археологии, этнографии, антропологии Сибири и сопредельных территорий (Материалы годовой сессии Института археологии и этнографии СО РАН 2003 г., посвященной 95-летию со дня рождения академика А.П. Окладникова). Новосибирск: Изд-во Ин-та археологии и этнографии СО РАН, 2003. Т IX. Ч. I. С. 27–30.
8. Артемьев Е.В., Дроздов Н.И. Некоторые аспекты хозяйственной специализации в позднем палеолите (на материалах стоянки Афонтова гора – II.

г. Красноярск) // Проблемы археологии, этнографии антропологии Сибири и сопредельных территорий (Материалы Годовой сессии Института археологии и этнографии СО РАН). Новосибирск: Изд-во Ин-та археологии и этнографии СО РАН, 2004. Т.Х. Ч. I. С. 21–24.

9. Артемьев Е.В.Афонтова Гора – II. Новые данные. Дополнение к контексту // Древности Приенисейской Сибири. – Вып. 4: Сборник научных трудов. Красноярск: РИО ГОУ ВПО КГПУ им. В.П. Астафьева, 2005. С. 32–44.

10. Артемьев Е.В., Дроздов Н.И. Некоторые аспекты становления и развития индустрий в позднем палеолите Средней Сибири (на материалах стоянок Афонтовой горы) // Проблемы археологии, этнографии, антропологии Сибири и сопредельных территорий (Материалы Годовой сессии Института археологии и этнографии СО РАН). Новосибирск: Изд-во Ин-та археологии и этнографии СО РАН, 2005. Т.ХI. Ч. I. С. 12–15.

11. Артемьев Е. В., Дроздов Н. И., Макулов В. И. Основные этапы археологического изучения стоянки Афонтова гора II // Известия Иркутского государственного университета, 2013. № 2 (3). С. 58–71.

12. Артемьев Е.В. Отчет о проведении предварительного археологического обследования на территории объекта «Строительство автодороги в створе ул. Волочаевская от ул. Дубровинского до ул. Копылова в г. Красноярске в 2014 г. Красноярск, 2015 г. С. 101. Архив ООО «Красноярская Геоархеология».

13. Артемьев Е.В., Разгильдеева И.И., Прилепская Н.Е. Стоянка Крутая – новый объект в археологическом комплексе Афонтовой горы: предварительные результаты исследований 2017 года // Преодоление времени и пространства: статьи по актуальным проблемам охранно-спасательных работ на памятниках археологии Средней Сибири / гл. ред. М.В. Константинов. Иркутск: Изд-во Института географии им. В.Б. Сочавы СО РАН, 2019. С. 34–55.

14. Астахов С.Н. Палеолит Енисея. Палеолитические стоянки на Афонтовой Горе в г. Красноярске. СПб.: Европейский Дом, 1999. 207 с.

15. Ауэрбах Н.К., Сосновский Г.П. Остатки древнейшей культуры человека в Сибири и современная ему фауна // «Жизнь Сибири», 1924. №№ 5, 6. С. 199–219.

16. Ауэрбах Н. К. Палеолитическая стоянка Афонтова III // Тр. Об-ва изучения Сибири и ее производительных сил. Новосибирск, 1930. Вып. 7. 59 с.

17. Ауэрбах Н.К., Сосновский Г.П. Материалы к изучению палеолитической индустрии и условий ее нахождения на стоянке Афонтова Гора – II // Труды КПИЧП, № 1, Л.: Наука, 1932. С. 45–114.

- 18.** Бокарев А.А., Мартынович Н.В. Причинность расположения Каштанковской группы позднепалеолитических местонахождений (к стратегии освоения древним человеком Северо-Минусинской котловины) // Палеоэкология и расселение древнего человека в Северной Азии и Америке. Красноярск. 1992. С. 22–26.
- 19.** Васильев С.А. Поздний палеолит верхнего Енисея. По материалам многослойных стоянок района Майны. СПб.: Петербург. востоковедение, 1996. 220 с.
- 20.** Геолого-археологическая карта окрестностей г. Красноярска. 1886 г. // номер фонда ОФ 10704–42. Место хранения – Красноярский краевой краеведческий музей.
- 21.** Геоморфологическая схема. Лист N–46–III. Масштаб 1:500 000. [Электронный ресурс]: Каталог растров ВСЕГЕИ. <http://webmapget.vsegei.ru/index.html>. Дата обращения 29.01.2017.
- 22.** Герасимова М. М., Астахов С. Н., Величко А. А. Палеолитический человек, его материальная культура и природная среда обитания (иллюстрированный каталог палеоантропологических находок в России и на смежных территориях) / Ред. С. Н. Астахов. СПб.: Нестор-История, 2007. 240 с.
- 23.** Голубцов В.А., Опекунова М.Ю. Геоморфологические исследования объекта археологического наследия Крутая: Научный отчет от 30.09.2017. Архив ООО «Красноярская Геоархеология». 2017. 19 с.
- 24.** Государственная геологическая карта Российской Федерации [Карты]. Масштаб 1 : 1 000 000 (третье поколение). Серия Алтае-Саянская. Лист N–46 – Абакан. СПб.: Картографическая фабрика ВСЕГЕИ. 2008. 1 Лист.
- 25.** Государственная геологическая карта Российской Федерации [Текст]. Масштаб 1 : 1 000 000 (третье поколение). Серия Алтае-Саянская. Лист N–46 – Абакан. Объяснительная записка. СПб.: Картографическая фабрика ВСЕГЕИ. 2008. 500 с.
- 26.** Государственная геологическая карта Российской Федерации [Карты]. Масштаб 1 : 1 000 000 (третье поколение). Серия Ангаро-Енисейская. Лист O–46 – Красноярск. СПб.: Картографическая фабрика ВСЕГЕИ. 2009. 1 Лист.
- 27.** Государственная геологическая карта Российской Федерации [Текст]. Масштаб 1 : 1 000 000 (третье поколение). Серия Ангаро-Енисейская. Лист O–46. Красноярск. Объяснительная записка. СПб.: Картографическая фабрика ВСЕГЕИ. 2009. 500 с.

28. Громов В.И. Геология и фауна палеолитической стоянки Афонтова Гора II // Тр. Комиссии по изучению четвертичного периода, 1932. № 1. С. 145–184.
29. Громов В.И. Палеонтологическое и археологическое обоснование стратиграфии континентальных отложений четвертичного периода на территории СССР. М.: Изд-во АН СССР, 1948. 521 с.
30. Деревянко А.П., Маркин С.В., Васильев С.А. Палеолитоведение: Введение и основы. Новосибирск: ВО «Наука». Сибирская издательская фирма, 1994. 288 с.
31. Деревянко А.П., Славинский В.С., Цыбанков А.А., Лысенко Д.Н., Дроздов Н.И., Гладышев С.А., Рыбин Е.П., Стасюк И.В., Харевич В.М., Акимова Е.В., Слепченко С.М., Зольников И.Д., Клементьев А.М., Галухин Л.Л., Богданов Е.С. Археологические комплексы позднего палеолита стоянки Афонтова Гора II (по материалам раскопок 2014 года) // *Stratum plus*. 2017. № 1. С. 175–199.
32. Детлова Е.В., Буровский А.М., Кузьминых С.В. Конфликт В.А. Городцова и Геро фон Мергарта в контексте истории // *Stratum plus*. 2014. № 1. С. 211–229.
33. Дроздов Н. И., Артемьев Е. В. Новые страницы в изучении палеолита Афонтовой Горы. М.: ИНКВА, 1997. 56 с.
34. Дроздов Н.И., Артемьев Е.В., Чеха В.П., Хазартс П. Позднепалеолитическая стоянка Афонтова гора 2 – новые результаты геоархеологического исследования // Проблемы археологии и палеоэкологии Северной, Восточной и Центральной Азии. Новосибирск: Изд-во ИАЭТ СО РАН, 2003. С. 117–120.
35. Дроздов Н.И., Чеха В.П., Хазартс П. Геоморфология и четвертичные отложения Куртаковского геоархеологического района (Северо-Минусинская впадина). Ин-т археологии и этнографии СО РАН, Красноярский гос. пед. ун-т им. В.П. Астафьева, 2005. 111 с.
36. Дроздов Н.И., Артемьев Е.В. Палеолит Афонтовой горы: последние данные – новые вопросы // Археология, этнография и антропология Евразии, 2007. № 1 (26). С. 39–45.
37. Ермолова Н.М. Териофауна долины Ангары в позднем антропогене. Новосибирск: Наука, 1978. 222 с.
38. Ефименко П.П. Первобытное общество. Очерки по истории палеолитического времени. – Изд. 3. Переработанное и дополненное. Киев: Изд-во АН УССР, 1953. 664 с.
39. Зольников И.Д., Деев Е.В., Славинский В.С., Цыбанков А.А., Рыбин Е.П., Лысенко Д.Н., Стасюк И.В. Геологическое строение и постседиментационные

деформации археологического памятника Афонтова Гора–II (г. Красноярск, Сибирь) // Геология и геофизика. 2017. Т. 58, № 2. С. 231–242.

40. Карцов В.Г. Материалы к археологии Красноярского района. // Описание коллекций и материалов музея. Красноярск, 1929. 58 с.

41. Клементьев А.М. Фауны позднекаргинского времени Иркутского амфитеатра // Известия Иркутского государственного университета. Серия «Геоархеология. Этнология. Антропология», № 1(2), 2013. С. 30–43.

42. Клементьев А.М., Орешников И.А. Промысловая фауна на Афонтовой Горе – II: юго-западная группа раскопов 2014 года // Материалы X Всероссийского совещания по изучению четвертичного периода (г. Москва, 25–29 сентября 2017 г.). Москва: Геос. 2017. С.181–182.

43. Ларичев В.Е. Палеолит Северной, Центральной и Восточной Азии. Новосибирск: Наука, 1969. Ч. 1. 387 с.

44. Ларичев В.Е. Палеолит Северной, Центральной и Восточной Азии. Новосибирск: Наука, 1972. Ч. 2. 412 с.

45. Лисицын Н.Ф. Поздний палеолит Чулымо-Енисейского междуречья. СПб.: Центр «Петербургское Востоковедение», 2000. 232 с.

46. Макаров Н.П. К истории комплектования, изучения и экспонирования археологических коллекций // Век подвижничества. Красноярск: Красноярское книжное издательство, 1989. С. 131–189.

47. Макаров Н.П., Ямских А.Ф. Археология и палеогеография многослойной стоянки Караульный бык // Палеогеография Средней Сибири. Вып. 2. Красноярск: КГПИ, 1995. С. 81–112.

48. Макаров Н.П., Вдовин А.С. Археология в Красноярском краевом краеведческом музее. 125 лет истории: монография. Красноярск: Сиб. Фед. Ун-т, 2018. 207 с.

49. Мергарт Г.К. Результаты археологических исследований в Приенисейском крае: Автореферат // Известия Красноярского отдела Русского географического общества. Т.3. Вып.1. Красноярск, 1923. С.29–36.

50. Мещерин М. Н., Галухин Л. Л. Новые находки палеолита вблизи поселка Базаиха (г. Красноярск, Россия). Евразия в кайнозое. Стратиграфия, палеоэкология, культуры. Иркутск: Изд-во ИГУ, 2016. Вып. 5. С. 131–137.

51. Мещерин М.Н., Опекунова М.Ю., Голубцов А.П., Лысенко Д.Н., Клементьев А.М., Максимов Ф.Е., Филатов Е.А. Новейшие геоархеологические изыскания на Афонтовой Горе – II / Евразия в кайнозое. Стратиграфия, палеоэкология, культура. Иркутск, 2018. №7. С. 142–149.

- 52.** Мокринец К. С. Эколого-геоморфологический анализ расположения функциональных зон г. Красноярска // Вестник КГПУ им. В.П. Астафьева. 2011. №2. URL: <http://cyberleninka.ru/article/n/ekologo-geomorfologi..> (дата обращения: 30.01.2017).
- 53.** Мокринец К. С. Оценка геоморфологических условий территории г. Красноярска и его окрестностей как среды жизни человека. [Текст]: автореф. дис. канд. геогр. наук: 25.00.25 / К. С. Мокринец. Красноярск, 2012. 22 с.
- 54.** Оводов Н.Д., Васильев С.К., Мартынович Н.В., Гуляев А.А. Фауна палеолитической стоянки Лиственка на среднем Енисее (предварительное сообщение). // Проблемы археологии, этнографии, антропологии Сибири и сопредельных территорий. Новосибирск: Изд-во Ин-та археологии и этнографии СО РАН, 2007. Т. XIII. С. 141–145.
- 55.** Палеолит СССР / Отв. ред. П.И. Борисковский; авт. З.А. Абрамова, М.В. Аникович, Н.О. Бадер и др. М.: Наука, 1984. 383 с.
- 56.** Палеолит Енисея / Абрамова З.А., Астахов С.Н., Васильев С.А., Ермолова Н.М., Лисицин Н.Ф. Л.: Наука, 1991. 159 с.
- 57.** Палеолит Енисея. Лиственка / под общей редакцией А.П. Деревянко; авт. Акимова Е.В., Дроздов Н.И., Чеха В.П., Лаухин С.А., Орлова Л.А., Санько А.Ф., Шпакова Е.А. Красноярск – Новосибирск: Универс – Наука, 2005. 184 с.
- 58.** Питулько В.В., Павлова Е.Ю., Никольский П.А., Иванова В.В. Янская стоянка: материальная культура и символическая деятельность верхнепалеолитического населения Сибирской Арктики // Российский археологический ежегодник. № 2. 2012. С. 33–102.
- 59.** РГАДА. Ф. 214. Оп. 1. Кн. 1504. Л. 43 – 47. «Писцовая книга» Красноярского уезда 1700 года.
- 60.** Равский Э.И. Осадконакопление и климаты внутренней Азии в антропогене. М.: Наука, 1972. 336 с.
- 61.** Рысин И. И. Пространственные и временные закономерности развития овражной эрозии на востоке Русской равнины: автореферат дис. ... доктора географических наук: 11.00.11, 11.00.04. Москва, 1999. 56 с.
- 62.** Савенков И.Т. Предварительный геологический очерк долины Енисея и ближайших окрестностей г. Красноярска. Приложение к отчету Общества врачей Енисейской губернии за 1891–92 г. Красноярск: Типогр. Жилина, 1892 а. 77 с.
- 63.** Савенков И.Т. О палеолитической эпохе в окрестностях г. Красноярска, Енисейской губернии. Красноярск: Типография А.Д. Жилина, 1892б. 21 с.

- 64.** Савенков И.Т. Каменный век в Минусинском крае. Материалы по археологии восточных губерний // Известия Московского археологического общества. 1896. Т. II. С. 1 – 87.
- 65.** Савенков И.Т. О памятниках, оставленных на р. Енисей человеком – современником мамонта // Сибирская летопись. Иркутск: Типография товарищества «М.П. Окунев и Ко», 1916. С. 247–256.
- 66.** Седименты каргинских почв в разрезах геоархеологических объектов Южного Прибайкалья // Г.А.Воробьева, Х.А. Арсланов, Н.Е. Бердникова, Н.В. Вашукевич, Ю.В. Рыжов, Н.В. Чайка / Древние культуры Монголии и Байкальской Сибири / Материалы международной научной конференции. Редактор А.В. Харинский. Иркутск: Изд-во Иркутского национального технического университета, 2011. С. 49–57.
- 67.** Славинский В.С., Акимова Е.А., Лысенко Д.Н., Томилова Е.А., Кукса Е.Н., Дроздов Н.И., Анойкин А.А., Артемьев Е.В., Галухин Л.Л., Богданов Е.С., Степанов Н.С., Гревцов Ю.А., Ломов П.К., Дудко А.А. Костяная индустрия стоянки Афонтова гора II: по результатам раскопок 2014 года // Проблемы археологии, этнографии, антропологии Сибири и сопредельных территорий: Мат-лы Годовой сессии Ин-та археологии и этнографии СО РАН, 2014 г. Новосибирск: Изд-во Ин-та археологии и этнографии СО РАН, 2014. Т. XX. С. 435–437.
- 68.** Славинский В. С., Цыбанков А. А., Лысенко Д. Н., Дроздов Н. И., Зольников И. Д., Клементьев А. М., Мещерин М. Н., Гладышев С. А., Богданов Е. С., Нетета А. В., Барков А. В., Леонтьев В. П., Макулов В. И. Исследования памятника Афонтова Гора II в 2016 году // Проблемы археологии, этнографии, антропологии Сибири и сопредельных территорий. 2016. № 22. С. 565–568.
- 69.** Сосновский Г. П. Поселение на Афонтовой горе // Палеолит СССР. материалы по истории дородового общества. М.-Л.: Изд. во ОГИЗ, 1935. С. 125–150.
- 70.** Сукачев В.Н., Громов В. И., Бадер О. Н. Верхнепалеолитическая стоянка Сунгирь. М.: Наука, 1966. 140 с.
- 71.** Томилова Е. А., Стасюк И. В. Археологический материал нижних слоев Афонтовой горы II // Археология и этнография Сибири и Дальнего Востока. Барнаул, 1994. С.23–24;
- 72.** Томилова Е.А. Критерии развития каменной индустрии Афонтовой горы II // Археология, палеоэкология и этнология Сибири и Дальнего Востока. Иркутск, 1996. С. 63–65.

- 73.** Цейтлин С.М. Верхнепалеолитическая стоянка Афонтова Гора II (результаты новых геологических исследований) // Четвертичная геология и геоморфология Сибири / Сб. статей. Ч. 1. Новосибирск: Наука, 1969. С. 135–146.
- 74.** Цейтлин С.М. Геология палеолита Северной Азии. М.: Наука, 1979. 286 с.
- 75.** Четырехязычный (русско-англо-франко-немецкий) словарь-справочник по археологии палеолита. Васильев С. А., Бозински Г., Бредли Б. А., Вишняцкий Л. Б., Гиря Е. Ю., Грибченко Ю. Н., Желтова М. Н., Тихонов А. Н. СПб.: Петербургское Востоковедение, 2007. 264 с.
- 76.** Шанцер Е. В. Очерки учения о генетических типах континентальных осадочных образований. Тр. ГИН АН СССР, вып. 161. М.: Наука, 1966. 239 с.
- 77.** Щелинский В.Е. Изучение производственных функций галечных орудий из позднпалеолитических стоянок Енисея. МИА, № 185. Л.: Наука ЛО, 1972. С. 142–149.
- 78.** Bordes F. The Old Stone Age. New York–Toronto: Toronto University Press, 1968. 255 p.
- 79.** Haesaerts P., Chekha V.P., Damblon F., Drozdov N.I., Orlova L.A., Van Der Plicht J. The loess-papeosol succession of Kurtak (Yenisei basin, Siberia): a reference record for the karga stage (MIS 3) – Quaternary, 16. (1). 2005, pp. 3–24.
- 80.** Merhart G. The Paleolithic period in Siberia. Contribution to prehistory of the Jenissei region // American Anthropologist, vol. 25, 1923, № 1, pp. 21–55.
- 81.** Savenkov I.T. Rapport sur les decouvertes faites par m. Savenkov dans la Siberie orientale: Lecture faite a l'Academie des sciences 27 fevrier 1893 Savenkov, M. Paris: «Nilsson», 1894, 17 p.
- 82.** Zandera A., Frechen M., Zykina V., Boenigk W. Luminescence chronology of the Upper Pleistocene loess record at Kurtak in Middle Siberia // Quaternary Science Reviews 22 (2003) 999–1010.

СПИСОК СОКРАЩЕНИЙ

ГИН РАН	Геологический институт Российской академии наук, Москва
ИА РАН	Институт археологии Российской академии наук, Москва
ИАЭТ СО РАН	Институт археологии и этнографии Сибирского отделения Российской академии наук, Новосибирск
ИГ им. В.Б. Сочавы СО РАН	Институт географии им. В.Б. Сочавы Сибирского отделения Российской академии наук, Иркутск
ИГ РАН	Институт географии Российской академии наук, Москва
ИИМК РАН	Институт истории материальной культуры Российской академии наук, Санкт-Петербург
ИЗК СО РАН	Институт земной коры Сибирского отделения Российской академии наук, Иркутск
КГПУ им. В.П. Астафьева	Красноярский государственный педагогический университет им. В.П. Астафьева, Красноярск
СФУ	Сибирский федеральный университет, Красноярск
СПбГУ	Санкт-Петербургский государственный университет, Санкт-Петербург
МГУ	Московский государственный университет им. М.В. Ломоносова, Москва
ГИМ	Государственный исторический музей, Москва
НГУ	Новосибирский государственный университет, Новосибирск
ЗабГУ	Забайкальский государственный университет, Чита
КККМ	Красноярский краевой краеведческий музей, Красноярск
НПО «АПИ»	Научно производственное объединение «Археологическое проектирование и изыскания», Красноярск
ОКН	Объект культурного наследия

Отпечатано в типографии ООО «Ситалл»
Подписано в печать 06.11.2020
Формат 600x900/16
Усл. печ. л. 6,75
Тираж 100 экз. Заказ №67721
Макет подготовлен в ООО «Ситалл»
Тел.: (391) 218-05-15
E-mail: sitall@sitall.com



АРХЕОЛОГИЧЕСКОЕ
ИССЛЕДОВАНИЕ
СИБИРИ